

ระบบปฏิบัติการรถโฟร์คลิฟท์อัจฉริยะ
INTELLIGENT FORKLIFT OPERATION SYSTEM



กำพล เกตุโรจน์
ศิวิล ตามสมิ์คร
ไทกิ นาคามูระ
สิทธิชัย ก้ายาน

ปริญญานิพนธ์นี้เป็นส่วนหนึ่งของการศึกษาตามหลักสูตรปริญญาวิศวกรรมศาสตรบัณฑิต
สาขาวิชาวิศวกรรมแมคคาทรอนิกส์
คณะวิศวกรรมศาสตร์
สถาบันเทคโนโลยีพระจอมเกล้าเจ้าคุณทหารลาดกระบัง
ปีการศึกษา 2556

ระบบปฏิบัติการรถฟอร์คลิฟท์อัจฉริยะ

INTELLIGENT FORKLIFT OPERATION SYSTEM



กำเนิด
ดวิษ
ไทย
สิทธิชัย

เกตุโรจน์
ตามสมัคร
นาคามูระ
กำยาน

ปริญญานิพนธ์นี้เป็นส่วนหนึ่งของการศึกษาตามหลักสูตรปริญญาวิศวกรรมศาสตรบัณฑิต
สาขาวิชาวิศวกรรมแมคคาทรอนิกส์

คณะวิศวกรรมศาสตร์

เอกสารนี้เป็นเอกสารที่สงวนไว้สำหรับการใช้งานเพื่อการศึกษาเท่านั้น ไม่อนุญาตให้นำไปใช้ประโยชน์ด้านการค้า
ไม่ว่ากรณีใดๆทั้งสิ้น อีกทั้งห้ามมิให้คัดลอกสิ่งนี้ไปและต้องขออนุญาตจากเจ้าของเอกสารทุกครั้งที่มีการนำไปใช้

ปีการศึกษา 2556

INTELLIGENT FORKLIFT OPERATION SYSTEM



Kamphon Gaterojn
David Tamsamak
Taiki Nakamura
Sittichai Kamyran

THIS THESIS IS SUBMITTED IN PARTIAL FULFILLMENT
OF THE REQUIREMENTS FOR THE DEGREE OF
BACHELOR OF ENGINEERING IN MECHATRONICS ENGINEERING
FACULTY OF ENGINEERING

เอกสารนี้เป็นเอกสารที่สงวนไว้สำหรับการใช้งานเพื่อการศึกษาเท่านั้น มิควรนำออกไปใช้ประโยชน์ด้านการค้า
ไม่ว่ากรณีใดๆทั้งสิ้น KING MONGKUT'S INSTITUTE OF TECHNOLOGY LADKRABANG

ACADEMIC YEAR 2013


ปริญญาานิพนธ์ปีการศึกษา 2556

สาขาวิชาวิศวกรรมการวัดและควบคุม คณะวิศวกรรมศาสตร์

สถาบันเทคโนโลยีพระจอมเกล้าเจ้าคุณทหารลาดกระบัง

เรื่อง ระบบปฏิบัติการรถฟอร์คลิฟท์อัจฉริยะ
INTELLIGENT FORKLIFT OPERATION SYSTEM

ผู้จัดทำ นายกำพล เกตุโรจน์ 53010099
นายดิษ ตามสมัคร 53010542
นายไทกิ นาคามูระ 53010604
นายสิทธิชัย กายาน 53011678


.....อาจารย์ที่ปรึกษา
(ผู้ช่วยศาสตราจารย์สุมิตร พนาอุดมทรัพย์)


.....อาจารย์ที่ปรึกษา
(รองศาสตราจารย์ ดร.เกียรติศักดิ์ คมวัชระ)

เอกสารนี้เป็นเอกสารที่สงวนไว้สำหรับการใช้งานเพื่อการศึกษาเท่านั้น ไม่อนุญาตให้นำไปใช้ประโยชน์ด้านการค้า
ไม่ว่ากรณีใดๆทั้งสิ้น อีกทั้งห้ามมิให้คัดแปลงเนื้อหา และต้องอ้างอิงถึงเจ้าของเอกสารทุกครั้งที่มีการนำไปใช้

ระบบปฏิบัติการรถโฟร์คลิฟท์อัจฉริยะ

โดย

นายกำพล	เกตุโรจน์	53010099
นายดิวิษ	ตามสมัคร	53010542
นายไทกิ	นาคามูระ	53010604
นายสิทธิชัย	กำยาน	53011678

อาจารย์ที่ปรึกษา

ผู้ช่วยศาสตราจารย์สุมิตร พนาอุดมทรัพย์
รองศาสตราจารย์ ดร.เกียรติศักดิ์ คมวัชระ

ปีการศึกษา 2556

บทคัดย่อ

เนื่องจากในปัจจุบันการทำงานในโรงงานอุตสาหกรรม มีความจำเป็นต้องขนส่งสินค้าอยู่ตลอดเวลา เพื่อการขนย้ายสินค้าต่างๆต้องใช้รถยกในการช่วยขนย้าย ซึ่งการขับรถยกนั้นคนขับมีความสำคัญ โดยคนขับต้องมีทักษะในการควบคุมรถ มีความละเอียดรอบคอบในการทำงานสภาวะจิตต้องพร้อม ดังนั้นการใช้คนมีปัจจัยเสี่ยงหลายอย่าง ยกตัวอย่างเช่น ความประมาททำให้เกิดอุบัติเหตุ ความชำนาญในการขับที่ไม่เท่ากันทำให้ยากต่อการบริหารจัดการ และสิ้นเปลืองค่าใช้จ่ายในระยะยาว

จากการสำรวจรวบรวมข้อมูล ทำให้เห็นปัญหาต่างๆ จากการทำงาน ดังนั้นทางคณะผู้จัดทำปริญญาโทจึงเล็งเห็นว่าสามารถสร้างระบบปฏิบัติการรถยกอัจฉริยะขึ้นมา ซึ่งเป็นไปตามความต้องการของตลาดในปัจจุบัน โดยระบบนี้จะช่วยลดเวลาลดค่าใช้จ่ายและมีความปลอดภัย ซึ่งทำให้การทำงานมีประสิทธิภาพสูงขึ้น มีความต่อเนื่องในการทำงานและลดความเสี่ยงต่างๆ ที่เกิดจากความผิดพลาดของ

เอกสารนี้เป็นคนขับ ทางคณะผู้จัดทำหวังเป็นอย่างยิ่งว่าการใช้ระบบรถยกอัจฉริยะจะมีความแพร่หลายในอนาคตและมี
ไม่ว่ากรณีใด ประโยชน์ต่อบุคคลที่สนใจไม่มากนักน้อย และต้องอ้างอิงถึงเจ้าของเอกสารทุกครั้งที่มีการนำไปใช้

INTELLIGENT FORKLIFT OPERATION SYSTEM

By

Mr. Kamphon Gaterojn 53010099

Mr. Dravid Tamsamak 53010542

Mr. Taiki Nakamura 53010604

Mr. Sittichai Kamyam 53011678

Advisors

Asst. Prof. Sumit Panaudomsup

Assoc. Prof. Kiattisak Kumwachasa

Academic Year 2013

ABSTRACT

Nowadays working in the industry is necessary to transport all the time. To transport goods must to use the forklift help to transport. For driving, the driver is important. The driver must have the skills and experienced to control the forklift, mind is in a good conditions. So the people are several risk factors. Example, negligence caused the accident, expertise in driving inequality makes it difficult to manage and wasteful spending in the long-term. The survey data showed issues from work. So the author of a thesis believe that the system can perform an intelligent forklift, which meets the demands of industry. This system will reduce time and costs. Moreover, this system is secure. That makes the operation more efficient and continuity in performance and reduce risks caused by driver faulty. The author of a thesis sincerely hope that the use of intelligent forklift systems are widespread in the future and benefit the interested more or less.

กิตติกรรมประกาศ

การจัดทำปริญญานิพนธ์ฉบับนี้ สำเร็จลุล่วงไปได้ด้วยดี เพราะด้วยความช่วยเหลือ คำแนะนำ คำปรึกษา และการดูแลจากหลายฝ่ายด้วยกัน โดยเฉพาะอย่างยิ่งจากอาจารย์ที่ปรึกษา ผู้ช่วยศาสตราจารย์สุมิตร พนาอุดมทรัพย์ และรองศาสตราจารย์ ดร.เกียรติศักดิ์ คมวัชระ ที่ให้คำแนะนำเสมอมา รวมทั้งเอื้อเฟื้ออุปกรณ์ที่จำเป็นและยังคอยสอนประสบการณ์ในเรื่องการศึกษา การทำงาน และการใช้ชีวิตประจำวัน

อีกทั้งอาจารย์ในสถานศึกษา และอาจารย์ในสาขาวิชาวิศวกรรมการวัดและควบคุมทุกๆ ท่าน ที่อบรมสั่งสอนข้าพเจ้ามาโดยตลอด

ขอบคุณเพื่อนๆ ทุกคนที่ให้กำลังใจ สนับสนุนอุปกรณ์ที่ขาดเหลือ กระตุ้นเตือน รวมทั้งคอยถามไถ่ความคืบหน้าของโครงการอยู่เสมอ

ขอขอบคุณบุคคลที่สำคัญที่สุดในชีวิตของข้าพเจ้า คือบิดามารดา ที่ช่วยเลี้ยงดูอบรมสั่งสอน ส่งเสียให้ข้าพเจ้าได้มีโอกาสศึกษาเล่าเรียน และยังคงคอยให้กำลังใจ ทำให้ข้าพเจ้ามีทุกวันนี้ ข้าพเจ้าขอขอบคุณมา ณ ที่นี้ด้วย

ผู้จัดทำ

นายกำพล

เกตุโรจน์

นายดิวิษ

ตามสมัคร

นายไทกิ

นาคามูระ

นายสิทธิชัย

กำยาน

เอกสารนี้เป็นเอกสารที่สงวนไว้สำหรับการใช้งานเพื่อการศึกษาเท่านั้น ไม่อนุญาตให้นำไปใช้ประโยชน์ด้านการค้า ไม่ว่ากรณีใดๆทั้งสิ้น อีกทั้งห้ามมิให้คัดแปลงเนื้อหา และต้องอ้างอิงถึงเจ้าของเอกสารทุกครั้งที่มีการนำไปใช้

สารบัญ

	หน้า
บทคัดย่อ	I
บทคัดย่อภาษาอังกฤษ	II
กิตติกรรมประกาศ	III
สารบัญ	IV
สารบัญรูป	VI
สารบัญตาราง	VIII
บทที่ 1 บทนำ	1
1.1 กล่าวนำ	1
1.2 ความมุ่งหมาย	1
1.3 วัตถุประสงค์ในการทำปริญญานิพนธ์	2
1.4 ขอบเขตการศึกษา	2
1.5 รายละเอียดของปริญญานิพนธ์	3
บทที่ 2 ทฤษฎีและความรู้ที่เกี่ยวข้อง	4
2.1 ทฤษฎีระบบการเคลื่อนที่ของรถ	4
2.2 ทฤษฎี Four-bar Linkage	6
2.3 ทฤษฎี Center of Mass	8
2.4 ทฤษฎีตรวจจับแบบใช้แสง	9
2.5 ทฤษฎี H-Bridge Switching	10
2.6 ทฤษฎี DC Motor	11
บทที่ 3 การคำนวณและการสร้าง	12
3.1 ระบบชักลิ้นของรถ	12
3.2 ระบบ Differential	14
3.3 ความแข็งแรงของงา	15
3.4 ขั้นตอนการประกอบ	16
3.5 ตัวแปลงสัญญาณจากอนาล็อกเป็นดิจิตอล Analog to Digital Converter (ADC)	18
3.6 การควบคุมความเร็วของมอเตอร์กระแสตรงหรือดีซีมอเตอร์ (DC Motor)	19
3.7 หลักการทำงานของเซอร์โวมอเตอร์	20

เอกสารนี้เป็นเอกสารที่จัดทำขึ้นเพื่อการศึกษาเท่านั้น ไม่อนุญาตให้นำไปใช้ประโยชน์ด้านการค้า
ไม่ว่ากรณีใดๆทั้งสิ้น อีกทั้งห้ามมิให้คัดลอกเนื้อหา และต้องอ้างอิงถึงเจ้าของเอกสารทุกครั้งที่มีการนำไปใช้

สารบัญ(ต่อ)

	หน้า
บทที่ 4 การทดลองและผลการทดลอง	26
4.1 ผลการทดลองการออกแบบ	26
4.1.1 ระบบดีฟเฟอร์เรนเซีย	26
4.1.2 ความแข็งแรงของงา	27
4.2 โปรแกรมทดสอบการรับส่งข้อมูลผ่าน Uart	28
4.3 โปรแกรมบังคับด้วยมือ (Manual Control)	29
4.4 โปรแกรมเดินตามเส้น (Tracking)	32
4.5 โปรแกรมรับข้อมูลผ่าน Uart และการใช้ข้อมูล	34
4.6 โปรแกรมเมื่อรถเลี้ยวเข้ามาเก็บของ	37
4.7 โปรแกรมการทำงานโดยรวม	39
บทที่ 5 บทวิจารณ์และสรุป	43
5.1 สรุปผลการทดลอง	43
5.2 ปัญหาที่พบและแนวทางแก้ไข	43
5.3 ข้อเสนอแนะและแนวทางในการค้นคว้าพัฒนา	44
เอกสารอ้างอิง	45
ภาคผนวก	46

เอกสารนี้เป็นเอกสารที่สงวนไว้สำหรับการใช้งานเพื่อการศึกษาเท่านั้น ไม่อนุญาตให้นำไปใช้ประโยชน์ด้านการค้า
ไม่ว่ากรณีใดๆทั้งสิ้น อีกทั้งห้ามมิให้ดัดแปลงเนื้อหา และต้องอ้างอิงถึงเจ้าของเอกสารทุกครั้งที่มีการนำไปใช้

สารบัญรูป

รูปที่	หน้า
2.1 แสดงระบบการเคลื่อนที่ของรอก	4
2.2 แสดงสมมูลแรงของโซ่ในระบบ	5
2.3 แสดงรูปภาพของระบบเอียง	6
2.4 แสดง Diagram ของระบบเอียง	6
2.5 แสดงรูปภาพที่วาดจากโปรแกรม CAD	7
2.6 แสดง Diagram ของระบบเลี้ยวล้อ	7
2.7 แสดง Center of Mass ในมุมมองต่างๆ	8
2.8 แสดง Center of Mass ในมุมมองต่างๆ	8
2.9 แสดง Center of Mass ในมุมมองต่างๆ	8
2.10 แสดงอุปกรณ์ตรวจจับแสงแบบต่างๆ	9
2.11 แสดงเซนเซอร์ตรวจจับเส้น	9
2.12 แสดงเซนเซอร์ตรวจวัดการหมุน	9
2.13 H-Bridge Switching	10
2.14 กราฟแสดงความสัมพันธ์ของ V , ω และ T	11
2.15 แสดง PWM ในแต่ละ Duty Cycle	11
3.1 แสดงการเกิดจุดหมุนของรถขณะเลี้ยว	12
3.2 แสดงระบบชกเลี้ยวของตัวรถ	13
3.3 แสดงจุดหมุนของรถ	13
3.4 แสดงจุดหมุนของรถขณะเลี้ยว	13
3.5 แสดงการประกอบของชิ้นส่วนต่างๆ ของระบบ Differential	14
3.6 การคำนวณแรงโดยใช้โปรแกรม Solidworks	15
3.7 ประกอบเซอร์โวและเซนเซอร์	16
3.8 ประกอบระบบชกเลี้ยว	16
3.9 ประกอบมอเตอร์และ पुलเล่	16
3.10 ประกอบชุด Differential	16
3.11 ประกอบชุดยกและมอเตอร์	17
3.12 ประกอบแผ่นวงจรและแบตเตอรี่	17

เอกสารนี้ที่ 3.13 เชื่อมต่อสายไฟมอเตอร์และเซนเซอร์ การศึกษาเท่านั้น ไม่อนุญาตให้นำไปใช้ประโยชน์ค่า 17 การค้า

ไม่ว่ากรณีใดๆทั้งสิ้น อีกทั้งห้ามมิให้คัดแปลงเนื้อหา และต้องอ้างอิงถึงเจ้าของเอกสารทุกครั้งที่มีการนำไปใช้

สารบัญรูป (ต่อ)

รูปที่	หน้า
3.14 แสดงสัญญาณชนิดต่างๆ	18
3.15 การเลือกเซตค่า Register สำหรับ ADC โดยใช้โปรแกรม CodeVisionAVR	18
3.16 การเลือกเซตค่า Register เริ่มต้นของ Timer1 โดยใช้โปรแกรม CodeVisionAVR	19
3.17 อธิบายการทำงานของเซอร์โวมอเตอร์ตามพัลส์ที่ได้รับ	20
3.18 อธิบายการเปรียบเทียบสัญญาณ	21
3.19 การเลือกเซตค่า Register เริ่มต้นของ Timer0 โดยใช้โปรแกรม CodeVisionAVR	22
4.20 แสดงระบบดีเฟอเรนเชียล	26
4.21 งานสแตนด์เลสตีล	27
4.22 งานอะคริลิก	27



เอกสารนี้เป็นเอกสารที่สงวนไว้สำหรับการใช้งานเพื่อการศึกษาเท่านั้น ไม่อนุญาตให้นำไปใช้ประโยชน์ด้านการค้า
ไม่ว่ากรณีใดๆทั้งสิ้น อีกทั้งห้ามมิให้คัดแปลงเนื้อหา และต้องอ้างอิงถึงเจ้าของเอกสารทุกครั้งที่มีการนำไปใช้

สารบัญตาราง

ตารางที่	หน้า
3.1 แสดงการคำนวณค่าของ Register	24
3.2 แสดงค่าของ Register ต่างๆ	25



เอกสารนี้เป็นเอกสารที่สงวนไว้สำหรับการใช้งานเพื่อการศึกษาเท่านั้น ไม่อนุญาตให้นำไปใช้ประโยชน์ด้านการค้า
ไม่ว่ากรณีใดๆทั้งสิ้น อีกทั้งห้ามมิให้คัดแปลงเนื้อหา และต้องอ้างอิงถึงเจ้าของเอกสารทุกครั้งที่มีการนำไปใช้

บทที่ 1

บทนำ

1.1 กล่าวนำ

ในโรงงานอุตสาหกรรมมีการเคลื่อนย้ายสินค้าจำเป็นต้องใช้รถยกในการเคลื่อนย้าย ซึ่งต้องใช้คนในการควบคุมรถยก ในบางครั้งมีอุบัติเหตุจากการทำงานโดยคนขับมีความประมาท อาจก่อให้เกิดอันตรายต่อชีวิตและทรัพย์สิน รวมไปถึงการบริหารจัดการเวลาที่ไม่แน่นอน เนื่องจากคนไม่สามารถทำงานต่อเนื่องได้ตลอดเวลา ส่งผลให้การควบคุมโดยใช้คนนั้นไม่มีเสถียรภาพ ดังนั้นทางคณะผู้จัดทำโครงการจึงเล็งเห็นว่าสามารถสร้างระบบปฏิบัติการรถยกอัจฉริยะขึ้นมาได้ เพื่อตอบสนองตามความต้องการในการทำงาน ในปัจจุบันที่ต้องการความสะดวกความรวดเร็วมีความแม่นยำสูงสามารถบริหารจัดการเวลาได้ถูกต้อง ยังสามารถลดค่าใช้จ่ายในการฝึกอบรมพนักงานที่ขับรถได้ นอกจากนี้ยังลดโอกาสการเกิดอุบัติเหตุ ลดการสูญเสียชีวิตและทรัพย์สิน

1.2 ความมุ่งหมาย

1. ศึกษาการทำงานของระบบเครือข่ายไร้สาย (Wifi) ให้สามารถรับและส่งข้อมูลเพื่อส่งให้รถยกทำงานได้
2. ศึกษาการควบคุมอุปกรณ์อิเล็กทรอนิกส์โดยไมโครคอนโทรลเลอร์ ATmega32 ผ่านระบบเครือข่ายไร้สาย (Wifi)
3. ศึกษาการทำงานของระบบเลี้ยว
4. ศึกษาเซนเซอร์แสงที่ใช้ในการควบคุมทิศทางของรถ

เอกสารนี้เป็นเอกสารที่สงวนไว้สำหรับการใช้งานเพื่อการศึกษาเท่านั้น ไม่อนุญาตให้นำไปใช้ประโยชน์ด้านการค้าไม่ว่ากรณีใดๆทั้งสิ้น อีกทั้งห้ามมิให้คัดแปลงเนื้อหา และต้องอ้างอิงถึงเจ้าของเอกสารทุกครั้งที่มีการนำไปใช้

1.3 วัตถุประสงค์ในการทำปริญญานิพนธ์

1. เพื่อให้เราสามารถควบคุมระบบจัดเก็บและขนส่งได้อย่างเที่ยงตรง
2. เพื่อลดค่าใช้จ่ายในการฝึกอบรมบุคลากร
3. เพื่อลดเวลาในการทำงาน
4. เพื่อลดแรงงานคน
5. เพื่อเพิ่มประสิทธิภาพในการทำงาน
6. เพื่อลดค่าใช้จ่ายจากการใช้พลังงาน
7. เพื่อลดอุบัติเหตุในการทำงาน

1.4 ขอบเขตการศึกษา

1. ศึกษาการทำงานของระบบเครือข่ายไร้สาย (Wifi) ให้สามารถรับและส่งข้อมูลเพื่อส่งให้รถยกทำงานได้
2. ศึกษาการควบคุมอุปกรณ์อิเล็กทรอนิกส์โดยไมโครคอนโทรลเลอร์ ATmega32 ผ่านระบบเครือข่ายไร้สาย (Wifi)
3. ศึกษาการทำงานของระบบเลี้ยง
4. ศึกษาเซนเซอร์แสงที่ใช้ในการควบคุมทิศทางของรถ

เอกสารนี้เป็นเอกสารที่สงวนไว้สำหรับการใช้งานเพื่อการศึกษาเท่านั้น ไม่อนุญาตให้นำไปใช้ประโยชน์ด้านการค้าไม่ว่ากรณีใดๆทั้งสิ้น อีกทั้งห้ามมิให้คัดแปลงเนื้อหา และต้องอ้างอิงถึงเจ้าของเอกสารทุกครั้งที่มีการนำไปใช้

1.5 รายละเอียดของปฏิญญานิพนธ์

เนื้อหาที่จะกล่าวในปฏิญญานิพนธ์ฉบับนี้ประกอบด้วย

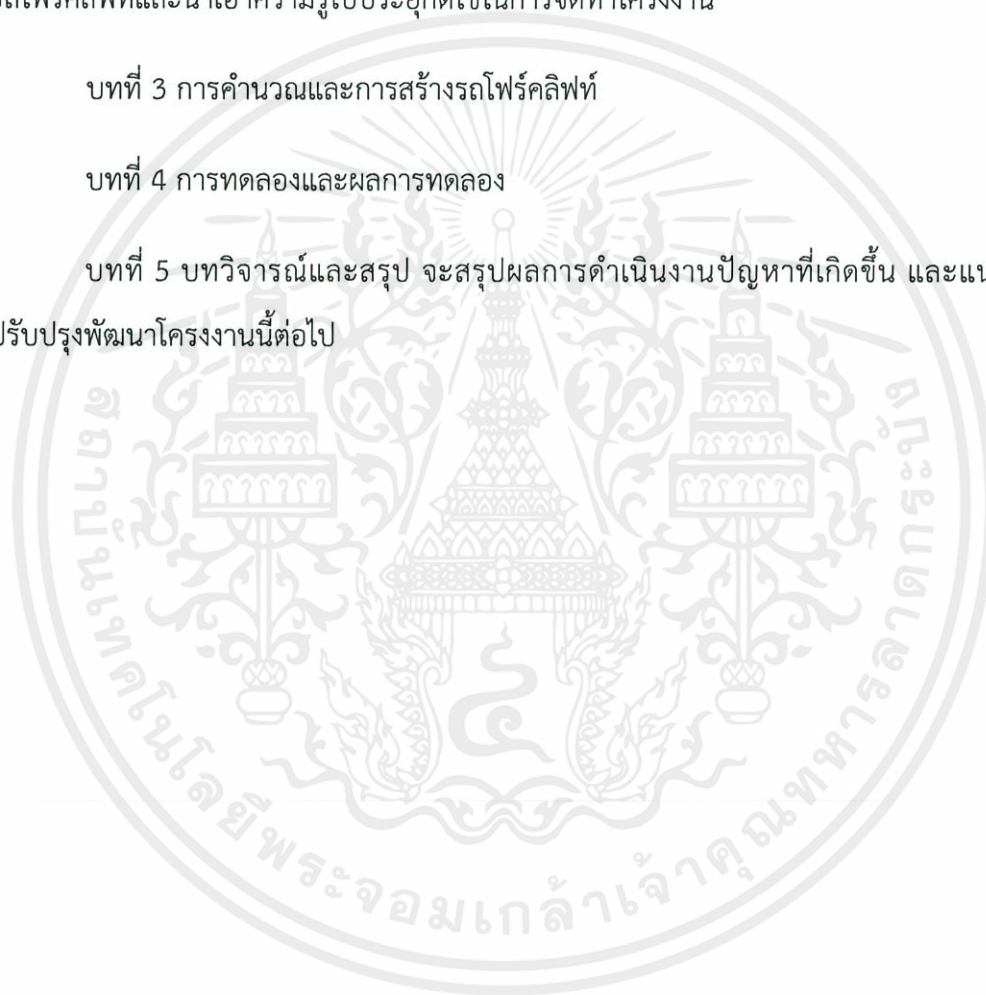
บทที่ 1 บทนำ กล่าวถึงวัตถุประสงค์ ขั้นตอนการศึกษา และการจัดทำโครงการ พร้อมทั้งรายละเอียดของปฏิญญานิพนธ์

บทที่ 2 ทฤษฎีและความรู้ที่เกี่ยวข้อง กล่าวถึงหลักการและทฤษฎีที่เกี่ยวข้องในการออกแบบรถโฟร์คลิฟท์และนำเอาความรู้ไปประยุกต์ใช้ในการจัดทำโครงการ

บทที่ 3 การคำนวณและการสร้างรถโฟร์คลิฟท์

บทที่ 4 การทดลองและผลการทดลอง

บทที่ 5 บทวิจารณ์และสรุป จะสรุปผลการดำเนินงานปัญหาที่เกิดขึ้น และแนวทางการปรับปรุงพัฒนาโครงการนี้ต่อไป

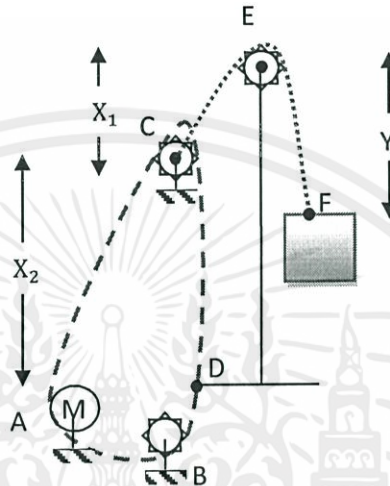


เอกสารนี้เป็นเอกสารที่สงวนไว้สำหรับการใช้งานเพื่อการศึกษาเท่านั้น ไม่อนุญาตให้นำไปใช้ประโยชน์ด้านการค้า
ไม่ว่ากรณีใดๆทั้งสิ้น อีกทั้งห้ามมิให้คัดแปลงเนื้อหา และต้องอ้างอิงถึงเจ้าของเอกสารทุกครั้งที่มีการนำไปใช้

บทที่ 2

ทฤษฎีและความรู้ที่เกี่ยวข้อง

2.1 ทฤษฎีระบบการเคลื่อนที่ของรอก



รูปที่ 2.1 แสดงระบบการเคลื่อนที่ของรอก

จากรูปที่ 2.1 สามารถสังเกตได้ว่า ระยะที่เปลี่ยนไปของ $CE + DC + EF$ เท่ากับค่าคงที่ค่าหนึ่ง เนื่องจากเส้นตรงเดียวกัน และระยะที่เปลี่ยนไปของ $CE = DC$ จึงทำให้ได้สมการที่ 1 ซึ่งนำมาหาอนุพันธ์จะได้ สมการความเร็วและสมการความเร่ง ดังสมการที่ 2 และสมการที่ 3 ระยะในแนวแกนตั้ง;

$$CE + DC + EF = \text{constant}$$

$$X_1 + X_2 + Y = \text{constant}$$

พิจารณาระยะที่เปลี่ยนไป $2X + Y = \text{constant}$ (2.1)

อนุพันธ์ลำดับที่ 1 $2v_x + v_y = 0$ (2.2)

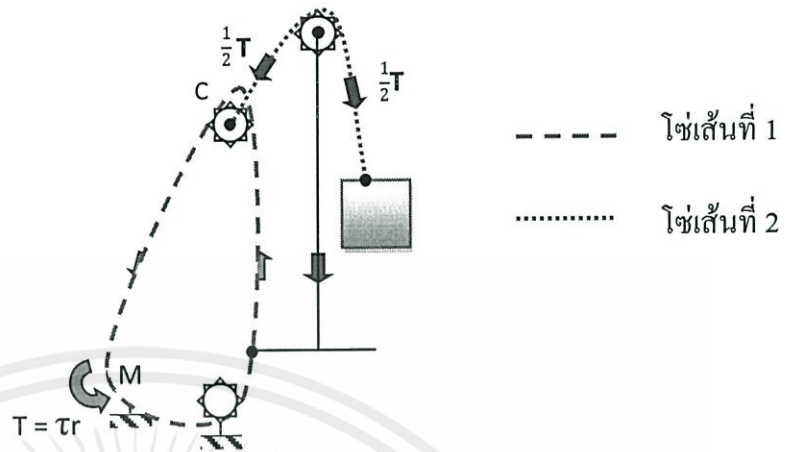
อนุพันธ์ลำดับที่ 2 $2a_x + a_y = 0$ (2.3)

ดังนั้น Input คือระยะที่เปลี่ยนไป, ความเร็ว, ความเร่งของ $CE + DC$ มีค่าเท่ากับ

$$2X, 2v_x, 2a_x$$

เอกสารนี้เป็นเอกสารที่สงวนไว้สำหรับการใช้งานเพื่อการศึกษาเท่านั้น ไม่อนุญาตให้นำไปใช้ประโยชน์ด้านการค้า
Output คือระยะที่เปลี่ยนไป, ความเร็ว, ความเร่งของ EF มีค่าเท่ากับ Y, v_y, a_y
ไม่ว่ากรณีใดๆทั้งสิ้น อีกทั้งห้ามมีเหตุดัดแปลงเนื้อหา และต้องอ้างอิงถึงเจ้าของเอกสารทุกครั้งที่มีการนำไปใช้

จะได้อัตราส่วนระหว่าง Input และ Output คือ 1 : 2



รูปที่ 2.2 แสดงสมดุลแรงของไช่ในระบบ

จากรูปที่ 2.2 กำหนดให้มอเตอร์ขับทอร์ก (T) มีแรงดึงเชือกในไช่เส้นที่ 1 เท่ากับ $T = \tau r$ ในทิศขึ้น จะได้แรงปฏิกิริยาที่แกนยกเท่ากับ T ในทิศลง และเมื่อพิจารณาที่แกนยกจะเกิดแรงปฏิกิริยาในไช่เส้นที่ 2 ที่จุด C และวัตถุจะมีแรงดึงเชือกเท่ากับ $\frac{1}{2}T$ ในทิศลง ส่งผลให้เกิดผลรวมระหว่างแรงที่จุด C และแรงรวมวัตถุเท่ากับ T เพื่อนำไปต้านแรงดึงเชือกจากเส้นที่ 1 ดังนั้นจึงสรุปได้ว่า เมื่อมอเตอร์ขับทอร์กด้วยแรงดึงเชือกเส้นที่ 1 ทั้งหมด $1T$ จะทำให้สามารถยกวัตถุที่แรงดึงเชือกเส้นที่ 2 ได้เท่ากับ $\frac{1}{2}T$

จากผลรวมแรง ;

$$\sum F_y = 0$$

แรงมอเตอร์ - แรงวัตถุ - แรงที่จุด

$$C = 0$$

$$T - \frac{1}{2}T - \frac{1}{2}T = 0$$

$$T = \frac{1}{2}T + \frac{1}{2}T$$

ดังนั้น

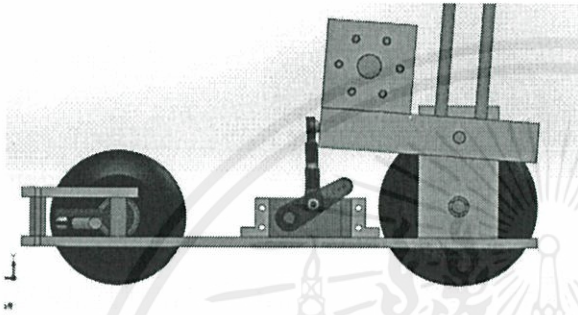
Input คือแรงมอเตอร์ มีค่าเท่ากับ T

เอกสารนี้เป็นเอกสารที่สงวนไว้สำหรับครูบาอาจารย์เพื่อการศึกษาเท่านั้น ไม่อนุญาตให้นำไปใช้ประโยชน์ด้านการค้า
 Output คือแรงวัตถุ มีค่าเท่ากับ $\frac{1}{2}T$
 ไม่ว่าจะกรณีใดๆทั้งสิ้น อีกทั้งห้ามมิให้คัดลอกเนื้อหา และต้องอ้างอิงถึงเจ้าของเอกสารทุกครั้งที่มีการนำไปใช้

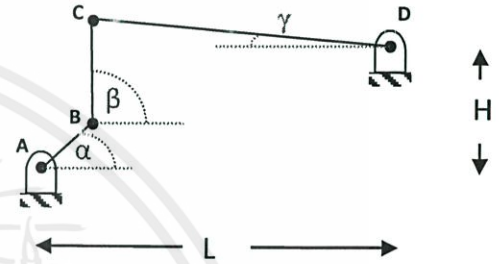
จะได้อัตราส่วนระหว่าง Input และ Output คือ 2 : 1

2.2 ทฤษฎี Four-bar linkage

ในการใช้งานโพร์คลิฟท์นั้นเราจะต้องเอียงแกนยกไปข้างหน้าและข้างหลังเพื่อช่วยให้การยกของและวางของในที่สูงมีประสิทธิภาพ ในการเอียงแกนยกนั้นเราจะใช้เซอร์โวมอเตอร์ในการควบคุมองศาเอียง ซึ่งการควบคุมองศาเอียงอย่างมีประสิทธิภาพ เราจะต้องรู้ความสัมพันธ์ขององศาระหว่างองศาเซอร์โวมอเตอร์ที่เปลี่ยนไปกับองศาแกนยกที่เปลี่ยนไปและนำความสัมพันธ์นั้นไปใช้ในการคำนวณองศาการเอียงในโปรแกรมอย่างถูกต้อง



รูปที่ 2.3 แสดงรูปภาพของระบบเอียง



รูปที่ 2.4 แสดง Diagram ของระบบเอียง

แนวตั้ง $BC \cos(\beta) = L - AB \cos(\alpha) - CD \cos(\gamma)$ (2.4)

แนวระนาบ $BC \sin(\beta) = H - AB \sin(\alpha) + CD \sin(\gamma)$ (2.5)

สมการที่ 2.5 ทหารด้วย สมการที่ 2.4

$$\frac{BC \sin(\beta)}{BC \cos(\beta)} = \tan(\beta) = \frac{L - AB \cos(\alpha) - CD \cos(\gamma)}{H - AB \sin(\alpha) + CD \sin(\gamma)} = X$$

จะได้ $\beta = \tan^{-1} \left(\frac{L - AB \cos(\alpha) - CD \cos(\gamma)}{H - AB \sin(\alpha) - CD \sin(\gamma)} \right)$ (2.6)

สมการที่ 2.6 แทนใน สมการที่ 2.5

$$\sin(\tan^{-1}(X)) = \frac{H - AB \sin(\alpha) + CD \sin(\gamma)}{BC}$$

เอกสารนี้เป็นเอกสารที่สงวนไว้สำหรับใช้งานเพื่อการศึกษาเท่านั้น ไม่อนุญาตให้นำไปเผยแพร่โดยไม่ได้รับอนุญาต
 ไม่ว่ากรณีใดๆทั้งสิ้น อีกทั้งห้ามมิให้คัดลอกไปใช้
 $\sin(\sin^{-1}(\frac{X}{\sqrt{X^2+1}})) = \frac{H - AB \sin(\alpha) + CD \sin(\gamma)}{BC}$ $\tan^{-1} X = \sin^{-1} \frac{X}{\sqrt{X^2+1}}$
 ไม่ว่ากรณีใดๆทั้งสิ้น อีกทั้งห้ามมิให้คัดลอกไปใช้
 $\frac{X}{\sqrt{X^2+1}} = \frac{H - AB \sin(\alpha) + CD \sin(\gamma)}{BC}$ เอกสารทุกครั้งที่มีการนำไปใช้

$$\frac{BCX}{\sqrt{X^2+1}} - H + AB \sin(\alpha) = CD \sin(\gamma)$$

$$\frac{BCX}{CD\sqrt{X^2+1}} - \frac{H}{CD} + \frac{AB \sin(\alpha)}{CD} = \sin(\gamma)$$

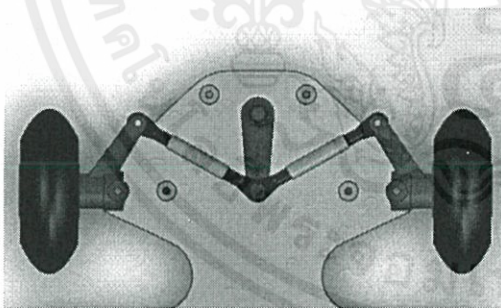
$$\gamma = \sin^{-1}\left(\frac{BCX}{CD\sqrt{X^2+1}} - \frac{H}{CD} + \frac{AB \sin(\alpha)}{CD}\right)$$

$$\gamma = \sin^{-1}\left(\frac{BC \left(\frac{L - AB \cos(\alpha) - CD \cos(\gamma)}{H - AB \sin(\alpha) + CD \sin(\gamma)}\right) - \frac{H}{CD} + \frac{AB \sin(\alpha)}{CD}}{CD \sqrt{\left(\frac{L - AB \cos(\alpha) - CD \cos(\gamma)}{H - AB \sin(\alpha) + CD \sin(\gamma)}\right)^2 + 1}}\right) \quad (2.7)$$

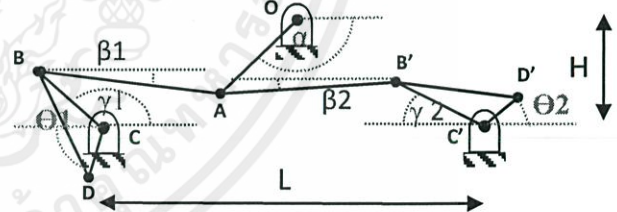
จากทฤษฎีของ Four-bar linkage สามารถหาความสัมพันธ์ระหว่างมุม α และ γ โดยใช้วิธีคณิตวิเคราะห์ (Analytical method) จะได้สมการที่ 2.4 และสมการที่ 2.5 จากระยะในแนวดิ่งและแนวระนาบตามลำดับ หลังจากนั้นนำสมการที่ 2.5 หาดด้วย สมการที่ 2.4 จะได้ β ในเทอมของ α และ γ คือสมการที่ 2.6 จากนั้นนำมาแทนในสมการที่ 2.5 จัดรูปสมการจนได้ γ ในเทอมของ α คือสมการที่ 2.7

เมื่อนำสมการที่ 2.7 มาหาอนุพันธ์ลำดับที่ 1 จะได้ความเร็วเชิงมุมของชิ้นส่วน CD เมื่อเทียบกับเชิงมุมของชิ้นส่วน AB และถ้านำมาหาอนุพันธ์ลำดับที่ 2.5 ก็จะได้ความเร่งเชิงมุมของชิ้นส่วน CD เมื่อเทียบกับความเร่งเชิงมุมของชิ้นส่วน AB

ในการออกแบบระบบเลี้ยงของล้อหลังดังในรูปที่ 2.5 ก็ใช้ทฤษฎีเดียวกันในการคำนวณหาความสัมพันธ์ของมุม ซึ่งจะต้องแยกคิดทีละล้อ



รูปที่ 2.5 แสดงรูปภาพที่วาดจากโปรแกรม CAD



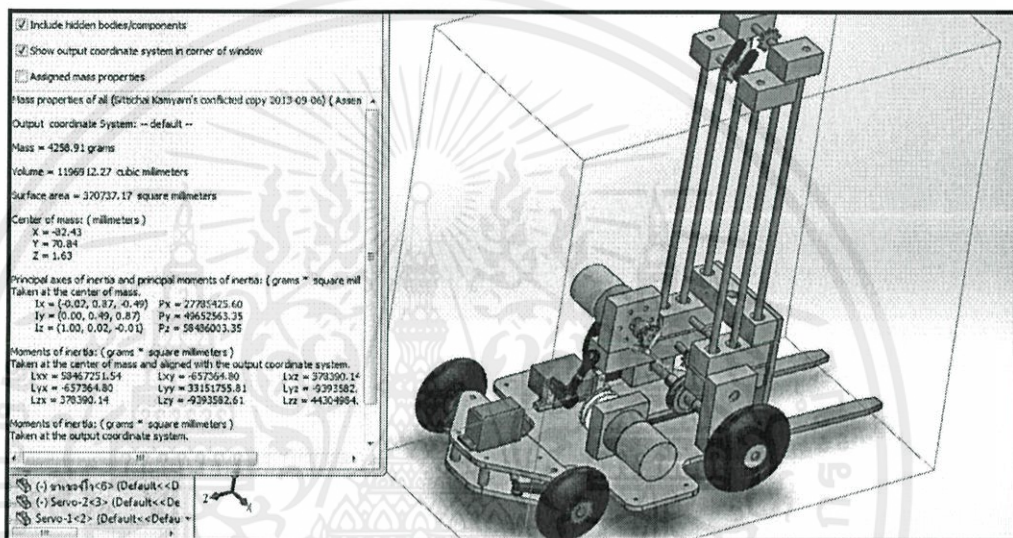
รูปที่ 2.6 แสดง Diagram ของระบบเลี้ยงล้อ

เอกสารนี้เป็นเอกสารที่สงวนไว้สำหรับการใช้งานเพื่อการศึกษาเท่านั้น ไม่อนุญาตให้นำไปใช้ประโยชน์ด้านการค้าไม่ว่ากรณีใดๆทั้งสิ้น อีกทั้งห้ามมิให้คัดแปลงเนื้อหา และต้องอ้างอิงถึงเจ้าของเอกสารทุกครั้งที่มีการนำไปใช้

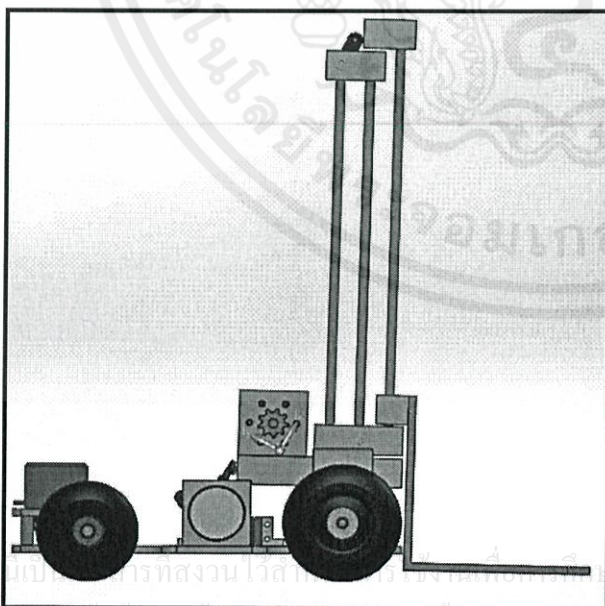
2.3 ทฤษฎี Center of Mass

ในการออกแบบตัวรถจำเป็นต้องคำนึงถึงเรื่องจุดศูนย์กลางมวล เพื่อให้ตัวรถยกนั้นสามารถยกของและเคลื่อนที่โดยที่ตัวรถอยู่ในสภาพสมดุลไม่พลิกคว่ำ มิเช่นนั้นอาจจะก่อให้เกิดความเสียหายแก่ทรัพย์สินและอันตรายต่อบุคคลในการคำนวณจุดศูนย์กลางมวลนั้น เราจะใช้ทฤษฎี Center of Mass ดังนี้

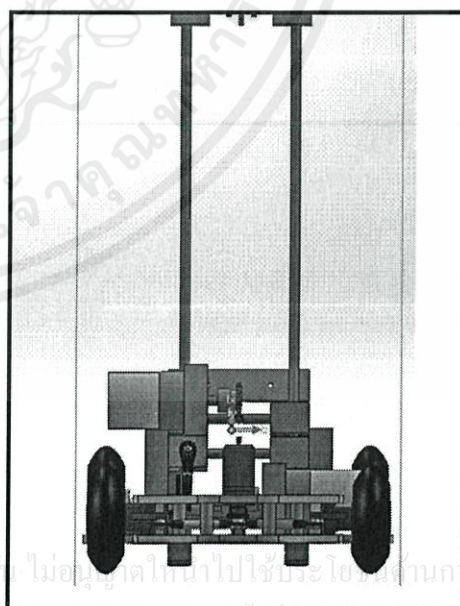
$$X_{cm} = \frac{\sum_{i=1}^N m_i x_i}{M}, Y_{cm} = \frac{\sum_{i=1}^N m_i y_i}{M}, Z_{cm} = \frac{\sum_{i=1}^N m_i z_i}{M}$$



รูปที่ 2.7 แสดง Center of Mass ในมุมมองต่างๆ



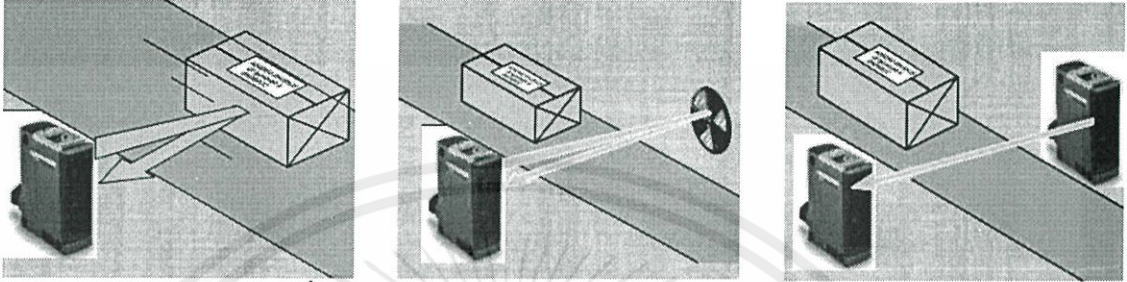
รูปที่ 2.8 แสดง Center of Mass ในมุมมองต่างๆ



รูปที่ 2.9 แสดง Center of Mass ในมุมมองต่างๆ

2.4 ทฤษฎีตรวจจับแบบใช้แสง

ใช้ตรวจจับวัตถุโดยสามารถทำงานได้ 3 ลักษณะคือ อุปกรณ์ตรวจจับแสงแบบใช้การสะท้อนแสงของวัตถุ อุปกรณ์ตรวจจับแสงแบบใช้ตัวสะท้อนแสงและอุปกรณ์ตรวจจับแสงแบบใช้การกั้นแสงของวัตถุ



รูปที่ 2.10 ภาพแสดงอุปกรณ์ตรวจจับแสงแบบต่างๆ

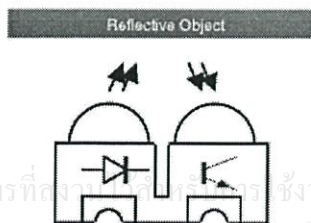
ตัวเซนเซอร์ประกอบด้วย 2 ส่วน คือ

1. ตัวกระจายแสง (Emitting component) ใช้ไดโอดเปล่งแสง (LED: Light Emitting Diode) ทำหน้าที่เปลี่ยนสัญญาณทางไฟฟ้าเป็นแสงส่วนใหญ่มักใช้คลื่นแสงที่ตาเราไม่สามารถมองเห็นได้ เช่น แสงอินฟราเรด

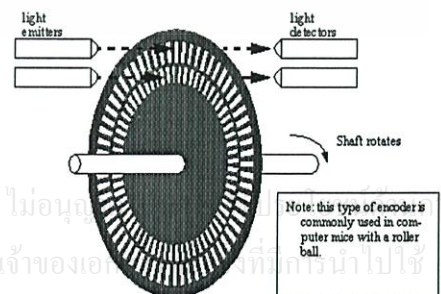
2. ตัวรับแสง (Receiving component) ใช้อุปกรณ์จำพวก Phototransistor หรือ Photodiode

โดยสามารถเปลี่ยนค่าความเข้มแสง เป็นสัญญาณทางไฟฟ้าได้

โดยเซนเซอร์แสงที่เรานำมาใช้ตรวจจับเส้นเพื่อเป็นทางเดินของตัวรถจะเป็นแบบใช้การสะท้อนแสงของวัตถุเนื่องจากเราไม่สามารถนำตัวสะท้อนแสงหรือตัวเซนเซอร์ไปติดที่พื้นถนนได้ และเซนเซอร์ตัวนี้จะทำหน้าที่ตรวจจับวัตถุที่สามารถสะท้อนแสง และไม่สะท้อนแสงได้ ในที่นี้เราใช้ สีขาวที่สามารถสะท้อนแสงได้ดีและสีดำที่สะท้อนแสงได้น้อย และเซนเซอร์แสงที่เรานำมาใช้ตรวจจับการหมุนของมอเตอร์จะเป็นแบบการกั้นแสงของวัตถุ โดยจะมีจานหมุนที่ต่อกับมอเตอร์อยู่ระหว่างตัวเซนเซอร์ซึ่งทำหน้าที่บังแสงจากตัวกระจายแสง



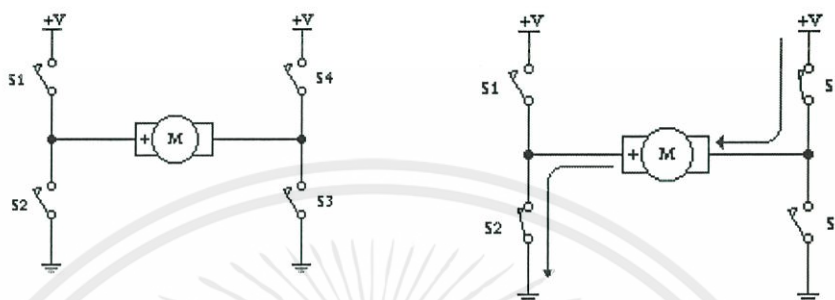
รูปที่ 2.11 แสดงเซนเซอร์ตรวจจับเส้น



รูปที่ 2.12 แสดงเซนเซอร์ตรวจจับการหมุน

2.5 ทฤษฎี H-Bridge Switching

หลักการของวงจรนี้จะประกอบไปด้วยสวิตช์ 4 ตัว นั่นก็คือ S1, S2, S3 และ S4 นั่นเอง ซึ่งในรูปแบบตัวอย่างจะใช้ดีซีมอเตอร์ (DC-Motor) เป็นโหลด (Load) ของวงจร



รูปที่ 2.13 H-Bridge Switching

ในสถานะเริ่มต้นสวิตช์ทุกตัวปิด (Off) อยู่จะไม่มีอะไรเกิดขึ้นทั้งเส้นเพราะไม่มีกระแสไฟฟ้าไหลเข้าสู่มอเตอร์ และเมื่อเราทำการเปิด (On) สวิตช์ S1 และ S3 พร้อมกัน จะเป็นการเชื่อมวงจรทำให้มีกระแสไฟฟ้าไหลผ่านมอเตอร์จากขั้วบวกของมอเตอร์ไปยังขั้วลบของมอเตอร์จึงทำให้มอเตอร์สามารถหมุนได้ในทิศทางฟอร์เวิร์ด (Forward) (จะหมุนแบบตามเข็มนาฬิกา หรือทวนเข็มนาฬิกานั้นขึ้นอยู่กับลักษณะของการพันขดลวดภายในมอเตอร์) และในทางกลับกันถ้าหากเราทำการเปิด (On) สวิตช์ S2 และ S4 พร้อมกัน ก็จะเป็นการเชื่อมวงจร และทำให้เกิดกระแสไฟฟ้าไหลผ่านมอเตอร์ จากขั้วลบของมอเตอร์ไปยังขั้วบวกของมอเตอร์ จึงทำให้มอเตอร์สามารถหมุนได้และเป็นการหมุนในทิศทางรีเวิร์ด (Reverse) (กลับทิศทางกับกรณีแรก) ถ้าเกิดเราทำการเปิด (On) สวิตช์ S1 และ S4 หรือ S2 และ S3 คู่ใดคู่หนึ่งพร้อมกัน ก็จะเป็นการเชื่อมวงจร ทำให้มอเตอร์ทำตัวเป็นเจนเนอเรเตอร์ (Generator) จึงทำให้หยุดหมุนทันที

*** จากทฤษฎีข้างต้นจึงสามารถนำไปใช้ในการในวงจรควบคุมมอเตอร์เพื่อควบคุมทิศ

ทางการหมุนของมอเตอร์ โดยผู้จัดทำได้เลือกทรานซิสเตอร์ (Transistor) มาเป็นสวิตช์ในการควบคุมทิศทางของการหมุนของมอเตอร์โดยเลือกใช้ IC L298N ซึ่งสามารถควบคุมมอเตอร์ได้ทั้งทิศทางและความเร็วของมอเตอร์

เอกสารนี้เป็นเอกสารสงวนไว้สำหรับทำรายงานเพื่อการศึกษาเท่านั้น ไม่อนุญาตให้นำไปใช้ประโยชน์ด้านการค้า
ไม่ว่ากรณีใดๆทั้งสิ้น อีกทั้งห้ามมีเหตุผลเปลี่ยนแปลงเนื้อหา และต้องอ้างอิงถึงเจ้าของเอกสารทุกครั้งหากมีการนำไปใช้

2.6 ทฤษฎี DC Motor

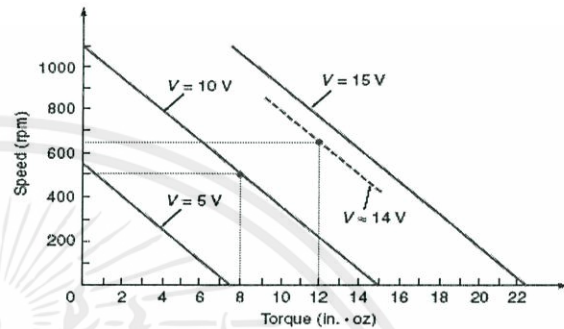
ในการควบคุมมอเตอร์กระแสตรง มีตัวแปรที่สำคัญที่ทำให้มอเตอร์หมุนไปตามที่เราต้องการ คือแรงดันไฟฟ้า (V) ความเร็วเชิงมุม (ω) และแรงบิดของมอเตอร์ (τ) ซึ่งมีความสัมพันธ์เป็นไปตามสมการข้างล่างนี้

$$V_t = I_a R_a + k\phi\omega$$

$$I_a = \frac{\tau}{k\phi}$$

$$V_t = \frac{R_a}{k\phi} \tau + k\phi\omega$$

$$\omega = -\frac{R_a}{(k\phi)^2} \tau + \frac{V_t}{k\phi}$$

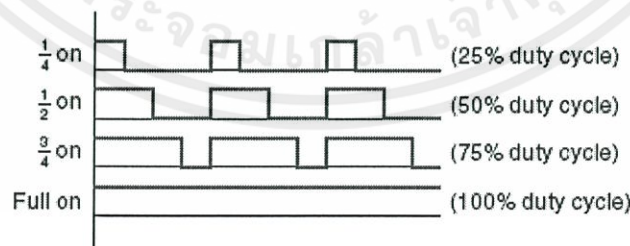


รูปที่ 2.14 กราฟแสดงความสัมพันธ์ของ V , ω และ τ

จะได้สมการเส้นตรง ที่มีแกนตั้งคือ ω แกนนอนคือ τ มีความชันคงที่คือ $-\frac{R_a}{(k\phi)^2}$ โดย k , ϕ และ R_a เป็นค่าคงที่

ในรูปที่ 2.14 แสดงให้เห็น V ที่ค่าต่างๆ ทำให้นำไปใช้ในการคำนวณหาความเร็วเชิงมุมและแรงบิดมอเตอร์ได้เช่น มอเตอร์ขนาด 10V สามารถให้ความเร็วเชิงมุม 500 rpm เมื่อแรงบิดมีค่า 8 Nm ทั้งนี้เรายังสามารถควบคุมความเร็วเชิงมุมมอเตอร์ได้จากสัญญาณพัลส์ เรียกว่า PWM (Pulse-Wide Modulated) เพื่อใช้สั่งทรานซิสเตอร์ให้ทำงานเหมือนเป็นสวิตช์เปิด-ปิดมอเตอร์ ดัง

รูปที่ 2.15



รูปที่ 2.15 แสดง PWM ในแต่ละ Duty Cycle

เอกสารนี้เป็นเอกสารที่สงวนไว้สำหรับการใช้งานเพื่อการศึกษาเท่านั้น ไม่อนุญาตให้นำไปใช้ประโยชน์ทางการค้า เราสามารถคำนวณความเร็วเชิงมุมสุทธิได้จาก % ของ Duty Cycle เป็น % ของความเร็วเชิงมุมสูงสุดได้เลย

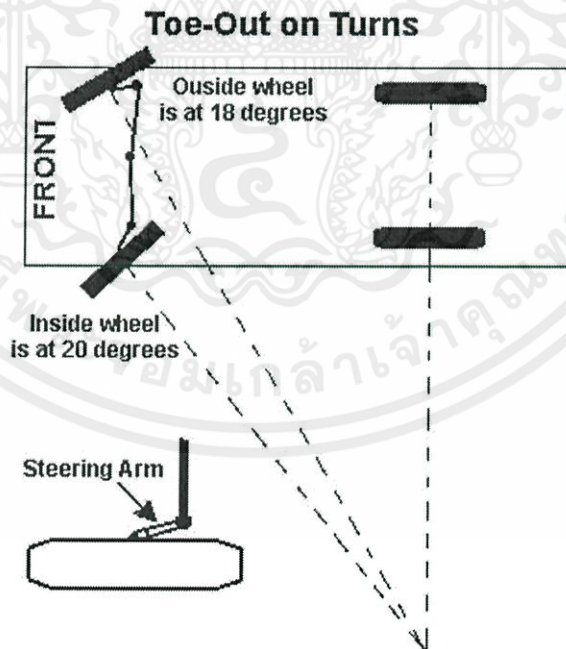
บทที่ 3

การคำนวณและการสร้าง

การออกแบบรถโฟร์คลิฟท์เพื่อขนส่งสินค้าเพื่อให้ได้ตามต้องการจำเป็นต้องคำนึงถึงประสิทธิภาพในการขับเคลื่อนและความสามารถในการยกสินค้า เพื่อให้การเคลื่อนย้ายสินค้าเป็นไปอย่างมีประสิทธิภาพสูงสุด และต้องคำนึงถึงความแข็งแรงของชิ้นส่วนต่างๆ หลักการออกแบบชิ้นส่วนต่างๆ มีหลักการดังนี้

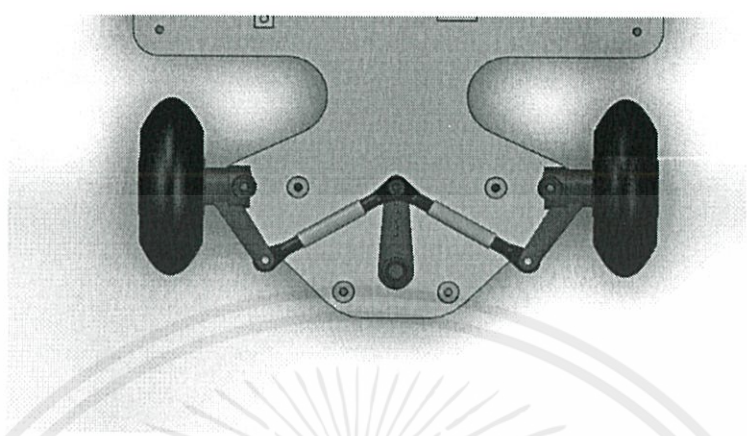
3.1 ระบบชักเลี้ยวของรถ

ในการออกแบบระบบเลี้ยวของรถสิ่งที่ต้องคำนึงคือวงเลี้ยวของรถ ดังนั้นเราจึงควรออกแบบระบบเลี้ยวล้อหน้าและล้อหลังให้มีองศาการเลี้ยวที่สัมพันธ์กันทั้ง 4 ล้อเพื่อให้เกิดจุดหมุนขณะเลี้ยวร่วมกันทั้ง 4 ล้อ ซึ่งจะทำให้ยางหมุนรอบจุดหมุนได้โดยไม่เกิดการไถล มิฉะนั้นจะทำให้ยางเกิดการสึกหลอและเกิดแรงเสียดทานระหว่างล้อกับพื้นถนน ที่เป็นเหตุให้สิ้นเปลืองกำลังโดยไม่จำเป็น ดังนั้นเราจึงต้องทำการออกแบบระบบให้ให้เกิด “Toe-Out on Turns” ดังรูปที่ 3.1

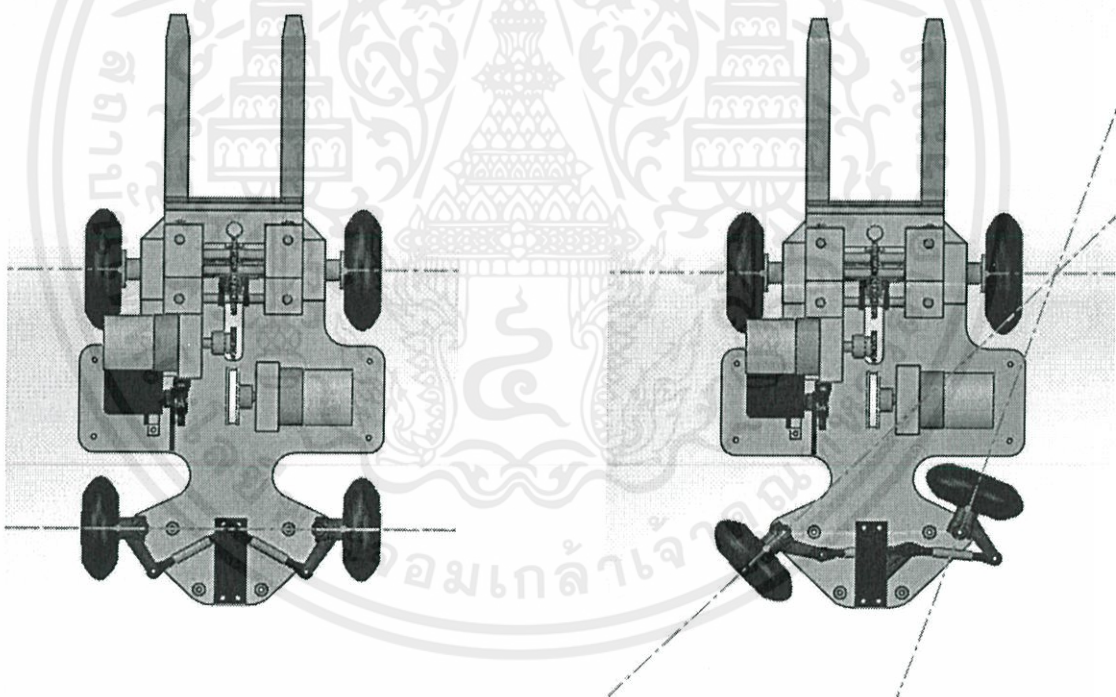


เอกสารนี้เป็นเอกสารที่สงวนไว้สำหรับการใช้งานเพื่อการศึกษาเท่านั้น ไม่อนุญาตให้นำไปใช้ประโยชน์ด้านการค้า
รูปที่ 3.1 แสดงการเกิดจุดหมุนของรถขณะเลี้ยว
ไม่ว่ากรณีใดๆทั้งสิ้น อีกทั้งห้ามมิให้คัดลอกเนื้อหา และต้องอ้างอิงถึงเจ้าของเอกสารทุกครั้งที่มีการนำไปใช้

จากหลักการดังกล่าวทางคณะผู้จัดโครงการทำจึงใช้โปรแกรม SolidWorksเพื่อจำลองดูการเคลื่อนที่ของล้อที่ทำให้เกิดจุดตัดร่วมกันทั้ง 4 ล้อขณะเลี้ยวดังรูปที่ 3.2



รูปที่ 3.2 แสดงระบบชักเลี้ยวของตัวรถ



รูปที่ 3.3 แสดงจุดหมุนของรถ

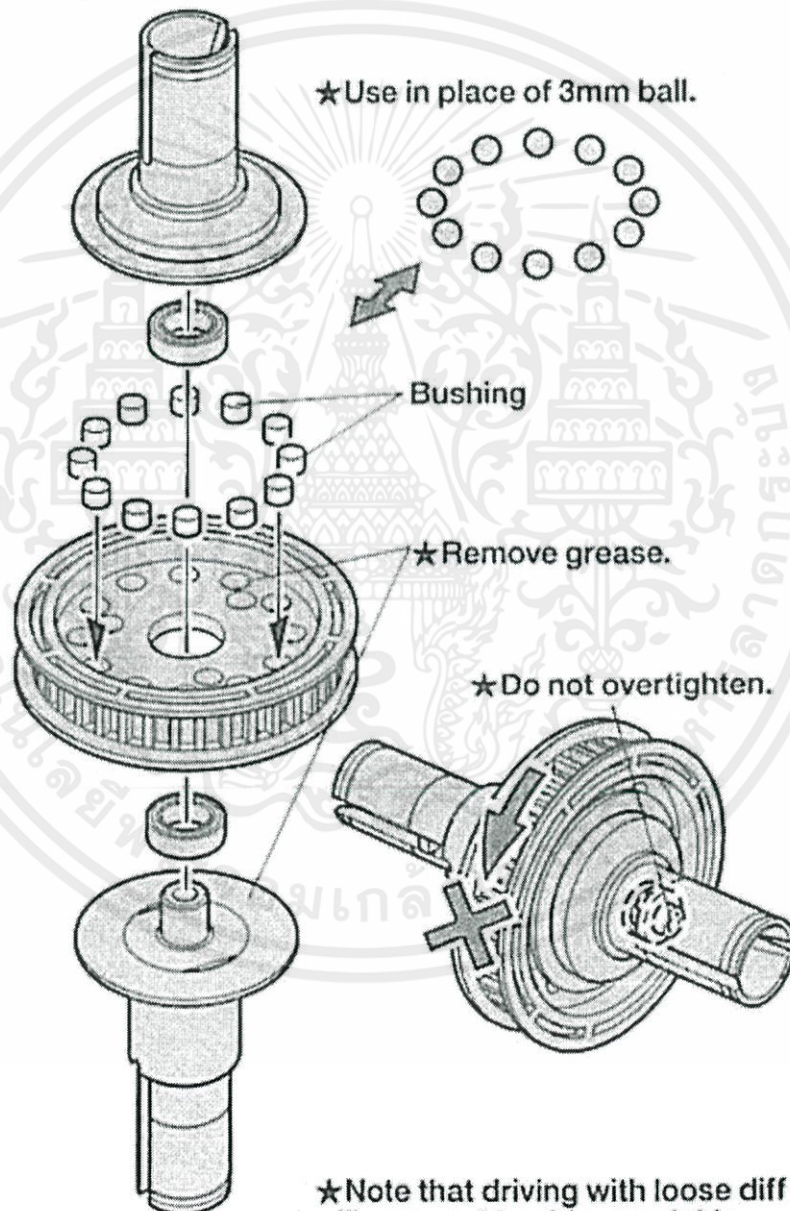
รูปที่ 3.4 แสดงจุดหมุนของรถขณะเลี้ยว

เอกสารนี้เป็นเอกสารที่สงวนไว้สำหรับการใช้งานเพื่อการศึกษาเท่านั้น ไม่อนุญาตให้นำไปใช้ประโยชน์ด้านการค้าไม่ว่ากรณีใดๆทั้งสิ้น อีกทั้งห้ามมิให้คัดแปลงเนื้อหา และต้องอ้างอิงถึงเจ้าของเอกสารทุกครั้งที่มีการนำไปใช้

3.2 ระบบ Differential

ในการออกแบบระบบ Differential สิ่งที่ต้องคำนึงขณะเลี้ยวคือ ล้อหน้าซึ่งไม่ได้มีการชักเลี้ยว ความเร็วของทั้ง2ล้อจะมีความเร็วที่ไม่เท่ากันเพื่อที่จะป้องกันไม่ให้เกิดการไถลของยาง อันเป็นสาเหตุที่ทำให้รถเกิดอาการสะดุดขณะทำการเลี้ยว ดังนั้นเรามีความจำเป็นต้องต้องใช้ระบบ Differential ในการส่งกำลังจากมอเตอร์มายังล้อทั้งสองที่มีความเร็วในการเคลื่อนที่ที่ไม่เท่ากันได้

★ Shaded parts are not included in set.



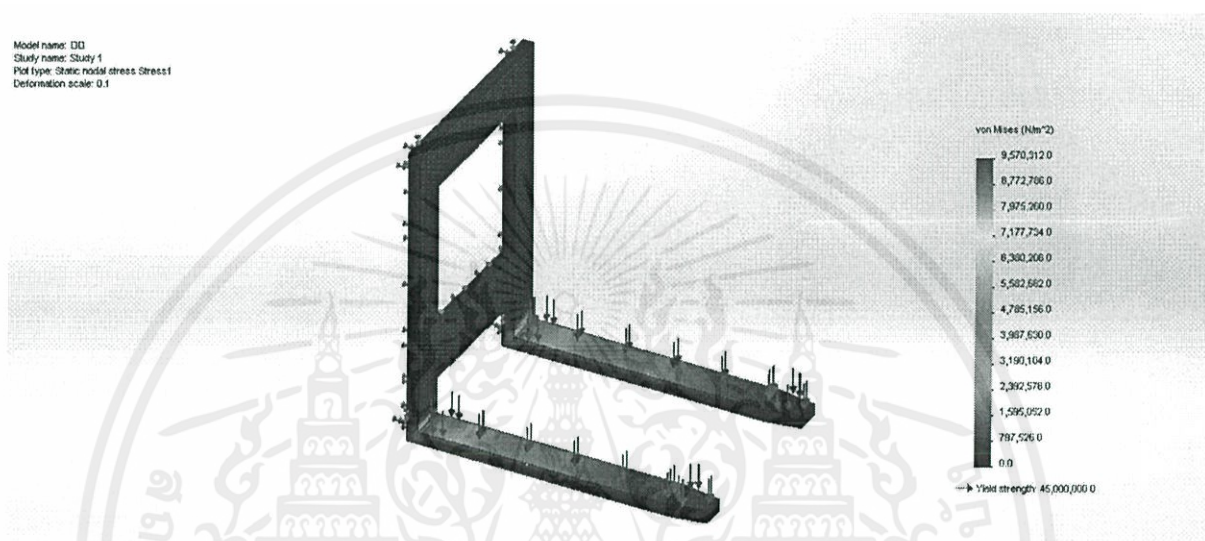
เอกสารนี้เป็นเอกสารที่สงวนไว้สำหรับการใช้งานเพื่อการศึกษานี้ ไม่อนุญาตให้เผยแพร่ไปใช้ประโยชน์ด้านการค้า

ไม่ว่ากรณีใดๆทั้งสิ้น อีกทั้งห้ามมิให้ดัดแปลงเนื้อหา และต้องอ้างอิงถึงเจ้าของเอกสารทุกครั้งที่มีการนำไปใช้

รูปที่ 3.5 แสดงการประกอบของชิ้นส่วนต่างๆของ ระบบ Differential

3.3 ความแข็งแรงของงา

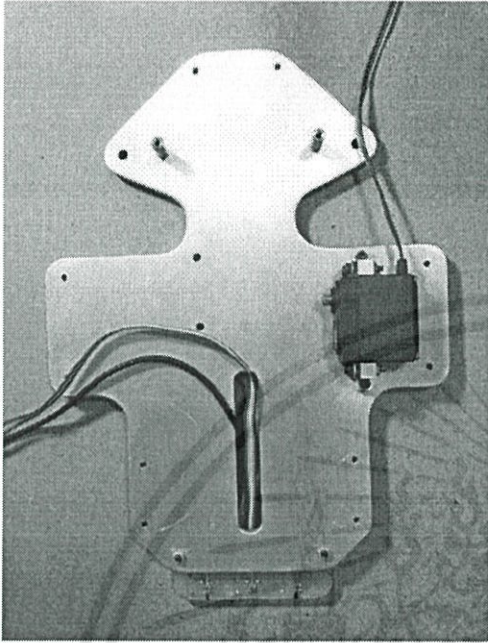
ในการออกแบบงาสิ่งที่ต้องคำนึงถึงเป็นอันดับแรกคือความแข็งแรงของตัวงาเนื่องจากสินค้าที่เราต้องการจะยกนั้นอาจมีน้ำหนักมาก ดังนั้นเราจำเป็นต้องใช้โปรแกรม Solidworks ในการคำนวณความแข็งแรงดังรูปที่ 3.6



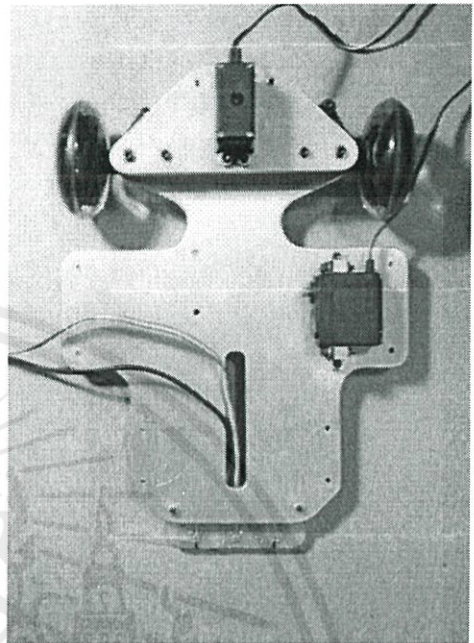
รูปที่ 3.6 การคำนวณแรงโดยใช้โปรแกรม Solidworks

เอกสารนี้เป็นเอกสารที่สงวนไว้สำหรับการใช้งานเพื่อการศึกษาเท่านั้น ไม่อนุญาตให้นำไปใช้ประโยชน์ด้านการค้า
ไม่ว่ากรณีใดๆทั้งสิ้น อีกทั้งห้ามมิให้คัดแปลงเนื้อหา และต้องอ้างอิงถึงเจ้าของเอกสารทุกครั้งที่มีการนำไปใช้

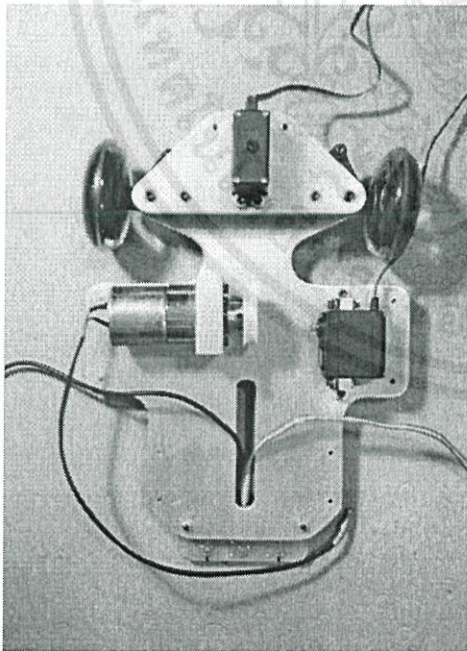
3.4 ขั้นตอนการประกอบ



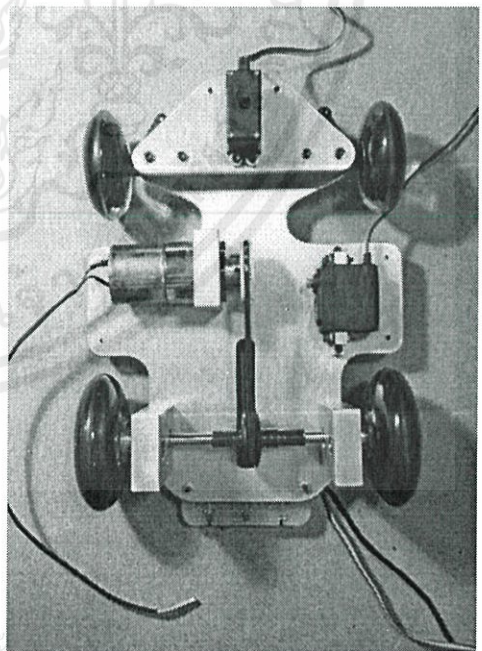
รูปที่ 3.7 ประกอบเซอร์ไวและเซนเซอร์



รูปที่ 3.8 ประกอบระบบขับเคลื่อน

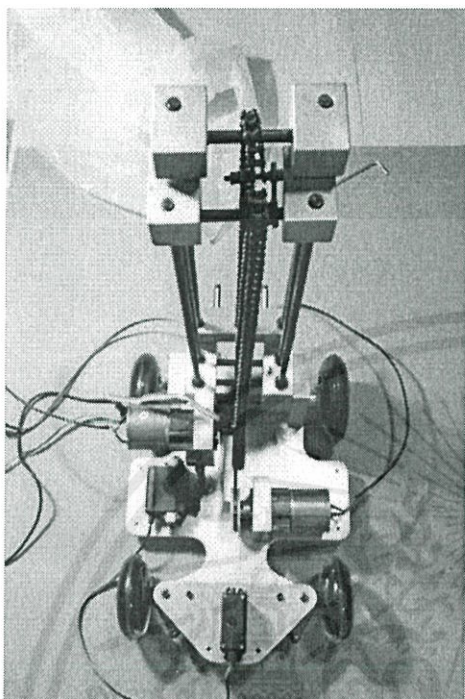


รูปที่ 3.9 ประกอบมอเตอร์และพูลเลย์

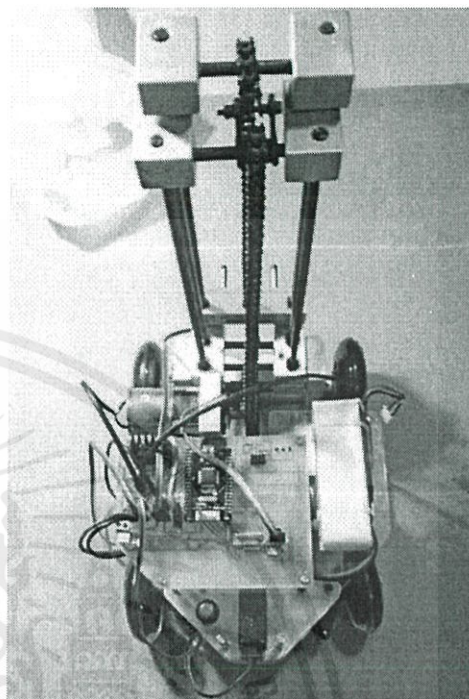


รูปที่ 3.10 ประกอบชุด Differential

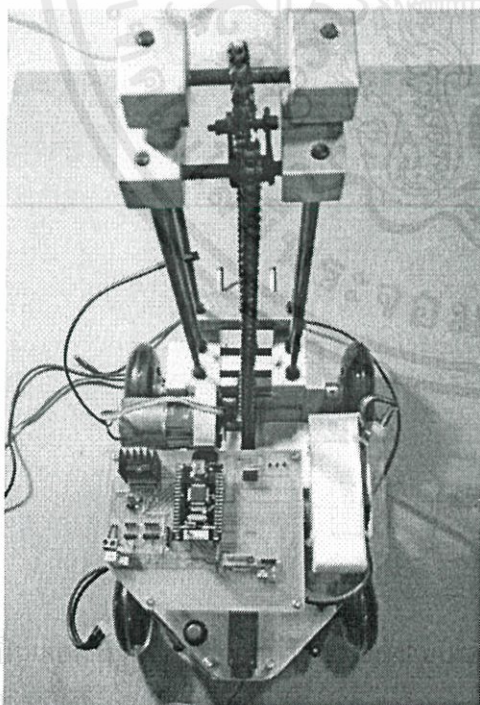
เอกสารนี้เป็นเอกสารสงวนลิขสิทธิ์เพื่อการศึกษาเท่านั้น เมื่อผู้ใดเห็นว่ามีประโยชน์ควรแจ้งให้ทราบ
ไม่ว่ากรณีรูปที่ 3.9 ประกอบมอเตอร์และพูลเลย์ และต้องอ้างอิงถึงรูปที่ 3.10 ประกอบชุด Differential



รูปที่ 3.11 ประกอบชุดยกและมอเตอร์



รูปที่ 3.12 ประกอบแผ่นวงจรและแบตเตอรี่

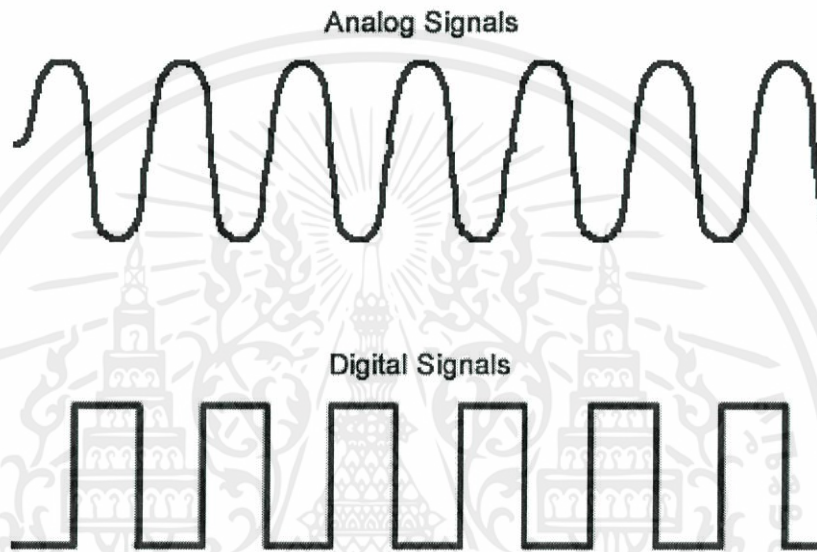


รูปที่ 3.13 เชื่อมต่อสายไฟมอเตอร์และเซนเซอร์

เอกสารนี้เป็นเอกสารที่จัดทำขึ้นเพื่อใช้ในการศึกษาเท่านั้น ไม่อนุญาตให้นำไปใช้ประโยชน์ด้านการค้า
ไม่ว่ากรณีใดๆ หากมีข้อสงสัยหรือต้องการข้อมูลเพิ่มเติมต้องอ้างอิงถึงเจ้าของเอกสารทุกครั้งที่มีการนำไปใช้

3.5 ตัวแปลงสัญญาณจากอนาล็อกเป็นดิจิตอล Analog to Digital Converter (ADC)

เนื่องจากการรับ Input จากอุปกรณ์บางชนิดที่ให้สัญญาณอนาล็อก จำเป็นต้องผ่าน Converter เพื่อเปลี่ยนให้เป็นสัญญาณแบบดิจิตอลซึ่งอุปกรณ์อนาล็อกที่ใช้ในโครงงานนี้มีทั้ง Optical Sensor, Encoder และ Variable Resistance ใน Microcontroller ตัวนี้ มีพอร์ตที่รองรับ ADC อยู่ คือพอร์ต A0 - A7



รูปที่ 3.14 แสดงสัญญาณชนิดต่างๆ

Group	Units	Extended Unit	Initials
USART	Analog Comparator	ADC	
<input checked="" type="checkbox"/>	ADC Enabled	<input checked="" type="checkbox"/>	Use 8 bits
<input type="checkbox"/>	Interrupt		
Volt. Ref:		AVCC pin	
Clock:		1000.000 kHz	

```

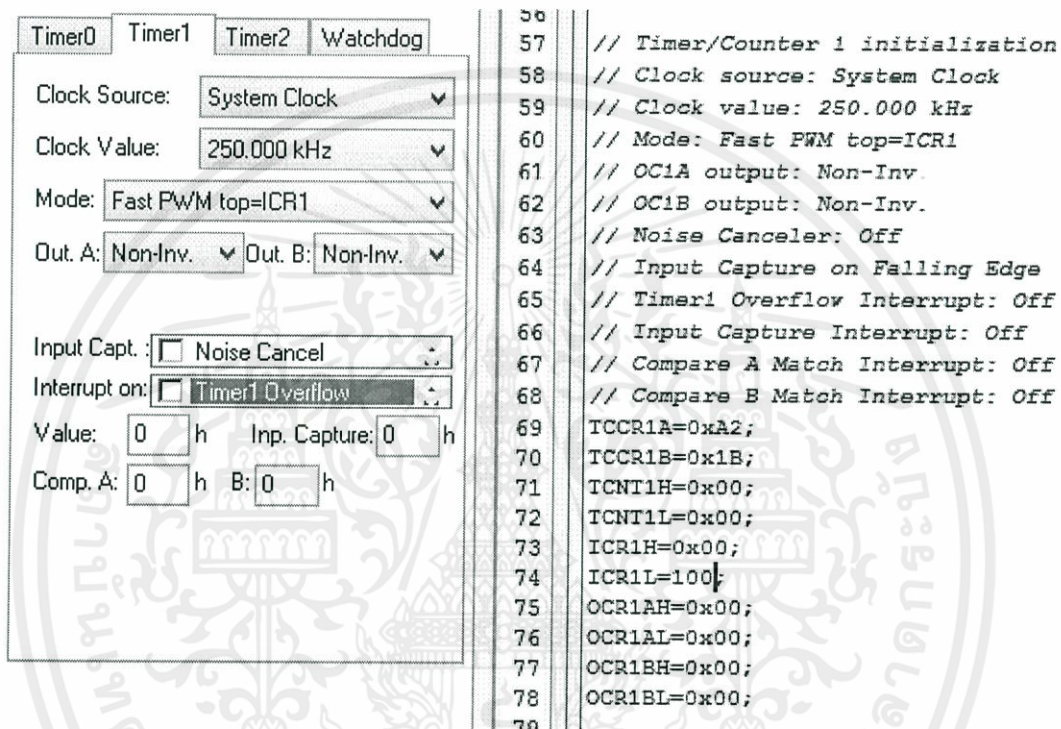
21
22 #define ADC_VREF_TYPE 0x60
23
24 // Read the 8 most significant bits
25 // of the AD conversion result
26 unsigned char read_adc(unsigned char adc_input)
27 {
28     ADMUX=adc_input | (ADC_VREF_TYPE & 0xff);
29     // Delay needed for the stabilization of the ADC input voltage
30     delay_us(10);
31     // Start the AD conversion
32     ADCSRA|=0x40;
33     // Wait for the AD conversion to complete
34     while ((ADCSRA & 0x10)==0);
35     ADCSRA|=0x10;
36     return ADCH;
37 }
38
    
```

รูปที่ 3.15 การเลือกเซตค่า Register สำหรับ ADC โดยใช้โปรแกรม CodeVisionAVR

เอกสารนี้เป็นเอกสารที่สงวนไว้สำหรับการใช้งานเพื่อการศึกษาเท่านั้น ไม่อนุญาตให้นำไปใช้ประโยชน์ด้านการค้า ไม่ว่าจะกรณีใดๆทั้งสิ้น อีกทั้งห้ามมิให้ดัดแปลงเนื้อหา และต้องอ้างอิงถึงเจ้าของเอกสารทุกครั้งที่มีการนำไปใช้

3.6 การควบคุมความเร็วของมอเตอร์กระแสตรงหรือดีซีมอเตอร์ (DC Motor)

การเขียนโปรแกรมการจ่ายพัลส์ (Pulse) ให้แก่มอเตอร์กระแสตรงหรือดีซีมอเตอร์ (DC Motor) นั้น จะต้องมีไทม์เมอร์ (Timer) เข้ามาเกี่ยวข้องด้วย ซึ่งเราเลือกใช้ Timer/Counter1 เนื่องจาก Timer1 มี 2 ช่อง คือ ช่อง A และ ช่อง B นั่นคือเราสามารถขับมอเตอร์กระแสตรงทั้ง 2 ตัวได้ในเวลาเดียวกัน



The image shows the configuration window for Timer1 in AVR Studio. The settings are as follows:

- Timer: Timer1
- Clock Source: System Clock
- Clock Value: 250.000 kHz
- Mode: Fast PWM top=ICR1
- Out. A: Non-Inv.
- Out. B: Non-Inv.
- Input Capt.: Noise Cancel
- Interrupt on: Timer1 Overflow
- Value: 0 h
- Inp. Capture: 0 h
- Comp. A: 0 h
- Comp. B: 0 h

The corresponding C code for initialization is shown on the right:

```

56
57 // Timer/Counter 1 initialization
58 // Clock source: System Clock
59 // Clock value: 250.000 kHz
60 // Mode: Fast PWM top=ICR1
61 // OC1A output: Non-Inv.
62 // OC1B output: Non-Inv.
63 // Noise Canceler: Off
64 // Input Capture on Falling Edge
65 // Timer1 Overflow Interrupt: Off
66 // Input Capture Interrupt: Off
67 // Compare A Match Interrupt: Off
68 // Compare B Match Interrupt: Off
69 TCCR1A=0xA2;
70 TCCR1B=0x1B;
71 TCNT1H=0x00;
72 TCNT1L=0x00;
73 ICR1H=0x00;
74 ICR1L=100;
75 OCR1AH=0x00;
76 OCR1AL=0x00;
77 OCR1BH=0x00;
78 OCR1BL=0x00;
79

```

รูปที่ 3.16 การเลือกเซตค่า Register เริ่มต้นของ Timer1 โดยใช้โปรแกรม CodeVisionAVR

หลักการเขียนโปรแกรมควบคุมสัญญาณ Pulse Width Modulation (PWM) นี้มี Register มีความเกี่ยวข้อง ได้แก่ ICR1L, OCR1AL และ OCR1BL โดยที่เราจะตั้งค่า ICR1L เท่ากับ 100 ซึ่งเป็นเกณฑ์เอาไว้เทียบกับ OCR1AL และ OCR1BL เพื่อที่จะเอาไว้กำหนดความเร็วของมอเตอร์ เพราะฉะนั้นเราจึงสามารถปรับค่า OCR1AL และ OCR1BL ได้ตั้งแต่ 0 ถึง 100 เป็นสัญญาณ PWM จ่ายให้กับมอเตอร์ต่อไป

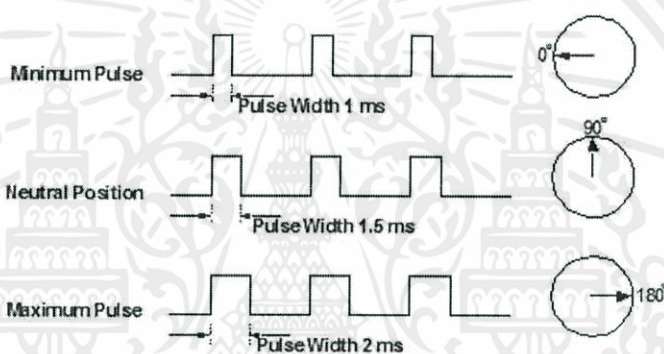
เอกสารนี้เป็นเอกสารที่สงวนไว้สำหรับการใช้งานเพื่อการศึกษาเท่านั้น ไม่อนุญาตให้นำไปใช้ประโยชน์ด้านการค้า
ไม่ว่ากรณีใดๆทั้งสิ้น อีกทั้งห้ามมิให้คัดแปลงเนื้อหา และต้องอ้างอิงถึงเจ้าของเอกสารทุกครั้งที่มีการนำไปใช้

3.7 หลักการทำงานของเซอร์โวมอเตอร์

การหมุนของเซอร์โวมอเตอร์จะถูกควบคุมด้วยพัลส์หรือลอจิก 1 (5v) เป็นระยะเวลาที่กำหนด และช่วงเวลาหรือส่งลอจิก 0 เป็นระยะเวลาคงที่ 20 มิลลิวินาทีสลับกันไป ส่งผลให้สามารถควบคุมการหมุนของเซอร์โวมอเตอร์ได้โดยทิศทางการหมุนเป็นดังนี้

เซอร์โวมอเตอร์จะหมุนไปทางขวา (ตามเข็มนาฬิกา) เมื่อพัลส์บวกมีความกว้าง 1 มิลลิวินาที (1 ms) และพัลส์ลบ 20 มิลลิวินาที

เซอร์โวมอเตอร์จะหมุนไปทางซ้าย (ทวนเข็มนาฬิกา) เมื่อพัลส์บวกมีความกว้าง 2 มิลลิวินาที และพัลส์ลบ 20 มิลลิวินาที



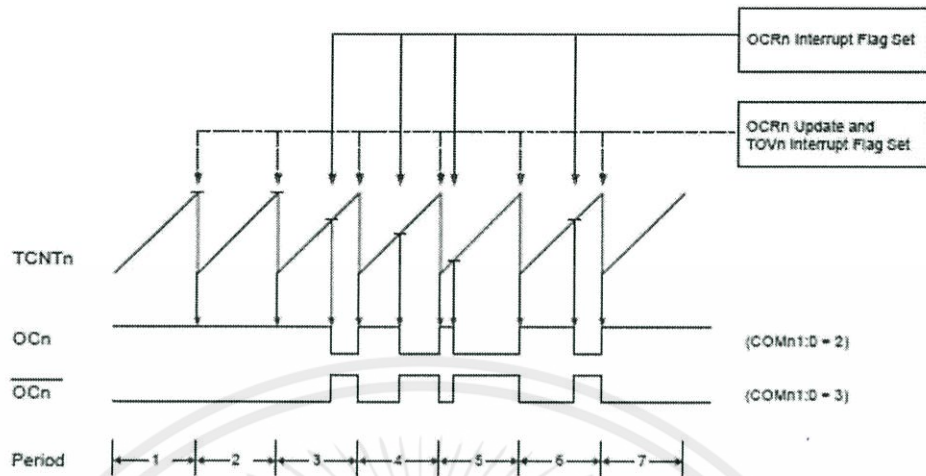
รูปที่ 3.17 อธิบายการทำงานของเซอร์โวมอเตอร์ตามพัลส์ที่ได้รับ

หลักการในการขับเซอร์โวมอเตอร์ คือ มีคาบการทำงาน 20 ms ช่วงเวลาที่อ่านค่าคือ 1-2 ms แรก

- โดยที่
- 1.0 ms เป็นมุมที่เซอร์โวมอเตอร์บิดซ้ายสุด
 - 1.5 ms เป็นมุมที่เซอร์โวมอเตอร์บิดตำแหน่งกลาง
 - 2.0 ms เป็นมุมที่เซอร์โวมอเตอร์บิดขวาสุด

เอกสารนี้เป็นเอกสารที่สงวนไว้สำหรับการใช้งานเพื่อการศึกษาเท่านั้น ไม่อนุญาตให้นำไปใช้ประโยชน์ด้านการค้า ไม่ว่ากรณีใดๆทั้งสิ้น อีกทั้งห้ามมิให้คัดแปลงเนื้อหา และต้องอ้างอิงถึงเจ้าของเอกสารทุกครั้งที่มีการนำไปใช้

Fast PWM mode



รูปที่ 3.18 อธิบายการเปรียบเทียบสัญญาณ

เป็นการเปรียบเทียบกันระหว่างสัญญาณ The Timer/Counter (TCNTn) ซึ่งเป็นสัญญาณรูปฟันเลื่อยกับ Output Compare Register (OCRn) ได้เป็น Output Compare (OCn) ค่า OCn จะเกิดการเปลี่ยนแปลงในช่วงเวลาที่ TCNTn และ OCRn มีการแตะกัน และจะกลับมาอยู่ในสถานะแรกเริ่มอีกครั้ง เมื่อถึงช่วงเวลาที่ TCNTn อยู่ในตำแหน่งสูงสุดในโครงงานนี้

เราใช้ Timer/Counter 0 ทำหน้าที่ในการขับเซอร์โวมอเตอร์ 2 ตัว เพื่อแยกโหมดการทำงานระหว่างเซอร์โวมอเตอร์ และ DC มอเตอร์ เนื่องจาก Timer/Counter 0 จำกัด MAX ของ TCNT0 ที่ 256 ซึ่งยากต่อการเขียนโปรแกรมและการคำนวณ เพื่อให้ง่ายต่อการคำนวณ เราจึงสร้างฟังก์ชันการเปรียบเทียบสัญญาณใหม่ โดยตั้งค่า MAX ไว้ที่ 2000 และ OCR อยู่ในช่วง 100 – 200

เพื่อให้ได้คาบ 20 ms ที่ Servo สามารถทำงานได้ เราจึงใช้สูตรการคำนวณ เพื่อใช้ในการเขียนโปรแกรม

จากสูตรซึ่งดัดแปลงจากในดาต้าชีท $f_{OCOPWM} = \frac{f_{clk_I/O}}{N \cdot Max}$; N = Prescale Factor

ค่า N เท่ากับ 8 จากตาราง 42 ในดาต้าชีทและ ความถี่ Clock 16 MHz

$$f_{OCOPWM} = \frac{f_{clk_I/O}}{N \cdot 2000} = \frac{16,000,000}{8 \cdot 2000} = 1 \text{ kHz}$$

เอกสารนี้เป็นเอกสารที่สงวนไว้สำหรับการใช้งาน ไม่อนุญาตให้นำไปใช้ประโยชน์ด้านการค้า ไม่ว่าจะกรณีใดๆทั้งสิ้น อีกทั้งห้ามมิให้ดัดแปลงเนื้อหา และต้องอ้างอิงถึงเจ้าของเอกสารทุกครั้งที่มีการนำไปใช้

Clock Value ที่ใช้คือ 2,000 kHz และ Max ของสัญญาณ TCNT0 เท่ากับ 2,000

ดังนั้นความถี่ใน 1 Cycle คือ $f = 2 \text{ MHz}/2000 = 1 \text{ kHz}$ ซึ่งจะต้องตรงกับ f_{OCOPWM}

The image shows the CodeVisionAVR IDE interface. On the left, the 'Timer0' configuration window is active. It shows the following settings:

- Timer: Timer0
- Clock Source: System Clock
- Clock Value: 2000.000 kHz
- Mode: Fast PWM top=FFh
- Output: Non-Inverted PWM
- Interrupts: Overflow Interrupt, Compare Match Interrupt
- Timer Value: 0 h
- Compare: 0

On the right, the C code for the timer initialization is shown, enclosed in a dashed box:

```

36 // Func7=In Func6=In Func5=In Func4=In Fu
37 // State7=T State6=T State5=T State4=T St
38 PORTD=0x00;
39 DDRD=0x00;
40
41 // Timer/Counter 0 initialization
42 // Clock source: System Clock
43 // Clock value: 2000.000 kHz
44 // Mode: Fast PWM top=FFh
45 // OCO output: Non-Inverted PWM
46 TCCR0=0x6A;
47 TCNT0=0x00;
48 OCR0=0x00;
49
50 // Timer/Counter 1 initialization
51 // Clock source: System Clock
52 // Clock value: Timer1 Stopped
53 // Mode: Normal top=FFFFh
54 // OC1A output: Di-----

```

รูปที่ 3.19 การเลือกเซตค่า Register เริ่มต้นของ Timer0 โดยใช้โปรแกรม CodeVisionAVR

เอกสารนี้เป็นเอกสารที่สงวนไว้สำหรับการใช้งานเพื่อการศึกษาเท่านั้น ไม่อนุญาตให้นำไปใช้ประโยชน์ด้านการค้า
ไม่ว่ากรณีใดๆทั้งสิ้น อีกทั้งห้ามมิให้คัดแปลงเนื้อหา และต้องอ้างอิงถึงเจ้าของเอกสารทุกครั้งที่มีการนำไปใช้

3.8 วิธีการส่งข้อมูลผ่าน Uart

การส่งข้อมูลเชื่อมต่อกันระหว่างไมโครคอนโทรลเลอร์ (Microcontroller) กับคอมพิวเตอร์ (Computer) เราใช้วิธีส่งข้อมูล Serial Frame ผ่านสาย USB

ซึ่งเราสามารถ Set Register ได้ตามตัวอย่างในตารางต่อไปนี้

```

void USART_Init( unsigned int baud )
{
    /* Set baud rate */
    UBRRH = (unsigned char) (baud>>8);
    UBRRL = (unsigned char)baud;
    /* Enable receiver and transmitter */
    UCSRB = (1<<RXEN) | (1<<TXEN);
    /* Set frame format: 8data, 2stop bit */
    UCSRC = (1<<URSEL) | (1<<USBS) | (3<<UCSZ0);
}

unsigned char USART_Receive( void )
{
    /* Wait for data to be received */
    while ( !(UCSRA & (1<<RXC)) )
        ;
    /* Get and return received data from buffer */
    return UDR;
}

void USART_Transmit( unsigned char data )
{
    /* Wait for empty transmit buffer */
    while ( !( UCSRA & (1<<UDRE)) )
        ;
    /* Put data into buffer, sends the data */
    UDR = data;
}

```

จากโปรแกรมด้านบน จะเห็นว่า ฟังก์ชันที่ใช้รับค่าคือ USART_Receive() เมื่อเราเรียกใช้งานฟังก์ชันนี้ โปรแกรมจะทำการรอรับค่า จนกว่าจะมีข้อมูล Serial Frame ที่มีเงื่อนไขตรงตามที่กำหนดเท่านั้น จึงจะดำเนินโปรแกรมต่อไป

เอกสารนี้เป็นเอกสารที่สงวนไว้สำหรับการใช้งานเพื่อการศึกษาเท่านั้น ไม่อนุญาตให้นำไปใช้ประโยชน์ด้านการค้า ไม่ว่าจะกรณีใดๆทั้งสิ้น สำหรับการส่งข้อมูล เราจะใช้ฟังก์ชัน USART_Transmit(____) ซึ่งข้อมูลที่ถูกส่งคือตัวแปรที่อยู่ในวงเล็บ

การเซ็ค่า Usart_Init (Baud) จะต้องใส่ไว้ใน Loop Main และ มีพารามิเตอร์คือ Baud ซึ่ง แทน Register UBRR เราสามารถคำนวณค่า UBRR จากสูตรที่มีอยู่ในดาต้าชีท

ตาราง 3.1 แสดงการคำนวณค่าของ Register

Operating Mode	Equation for Calculating Baud Rate ⁽¹⁾	Equation for Calculating UBRR Value
Asynchronous Normal Mode (U2X = 0)	$BAUD = \frac{f_{osc}}{16(UBRR + 1)}$	$UBRR = \frac{f_{osc}}{16BAUD} - 1$
Asynchronous Double Speed Mode (U2X = 1)	$BAUD = \frac{f_{osc}}{8(UBRR + 1)}$	$UBRR = \frac{f_{osc}}{8BAUD} - 1$
Synchronous Master Mode	$BAUD = \frac{f_{osc}}{2(UBRR + 1)}$	$UBRR = \frac{f_{osc}}{2BAUD} - 1$

จากสูตรในตารางที่ 3.1 สามารถเอาไปใช้คำนวณ Baud หรือ UBRR ได้

เนื่องจากเรา เลือก Baud Rate 9600 bps เราสามารถหา UBRR ได้จากสูตร เพื่อเอาไปใช้ในโปรแกรม

$$UBRR = \frac{f_{osc}}{16 \text{ Baud}} = \frac{16,000,000}{16 \cdot 9600} = 103$$

หรือสามารถเทียบกับตาราง 3.2

เอกสารนี้เป็นเอกสารที่สงวนไว้สำหรับการใช้งานเพื่อการศึกษาเท่านั้น ไม่อนุญาตให้นำไปใช้ประโยชน์ด้านการค้า ไม่ว่ากรณีใดๆทั้งสิ้น อีกทั้งห้ามมิให้ดัดแปลงเนื้อหา และต้องอ้างอิงถึงเจ้าของเอกสารทุกครั้งที่มีการนำไปใช้

ตาราง 3.2 แสดงค่าของ Register ต่างๆ

Baud Rate (bps)	$f_{osc} = 16.0000 \text{ MHz}$			
	U2X = 0		U2X = 1	
	UBRR	Error	UBRR	Error
2400	416	-0.1%	832	0.0%
4800	207	0.2%	416	-0.1%
9600	103	0.2%	207	0.2%
14.4k	68	0.6%	138	-0.1%
19.2k	51	0.2%	103	0.2%
28.8k	34	-0.8%	68	0.6%
38.4k	25	0.2%	51	0.2%
57.6k	16	2.1%	34	-0.8%
76.8k	12	0.2%	25	0.2%
115.2k	8	-3.5%	16	2.1%
230.4k	3	8.5%	8	-3.5%
250k	3	0.0%	7	0.0%
0.5M	1	0.0%	3	0.0%
1M	0	0.0%	1	0.0%

เอกสารนี้เป็นเอกสารที่สงวนไว้สำหรับการใช้งานเพื่อการศึกษาเท่านั้น ไม่อนุญาตให้นำไปใช้ประโยชน์ด้านการค้า
ไม่ว่ากรณีใดๆทั้งสิ้น อีกทั้งห้ามมิให้คัดแปลงเนื้อหา และต้องอ้างอิงถึงเจ้าของเอกสารทุกครั้งที่มีการนำไปใช้

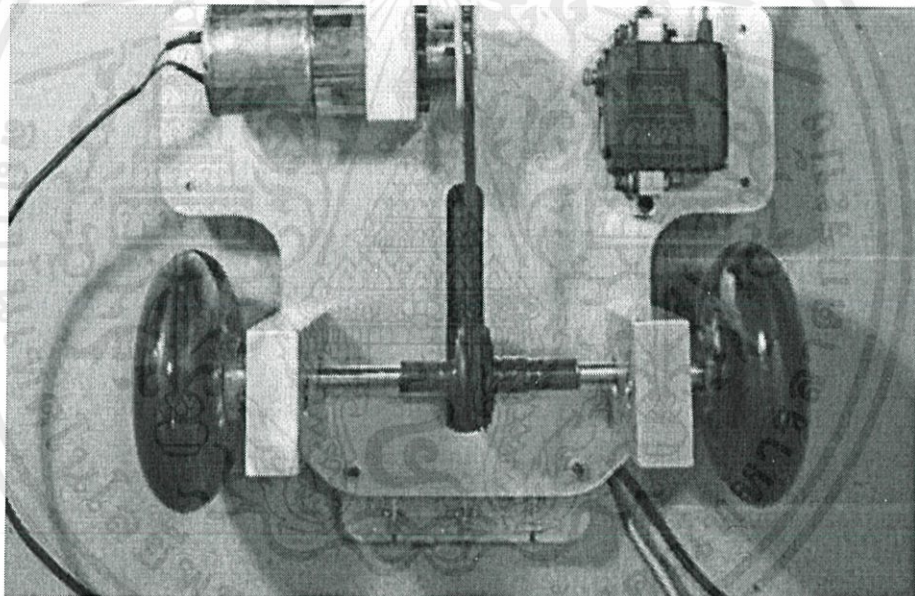
บทที่ 4

การทดลองและผลการทดลอง

4.1 ผลการทดลองการออกแบบ

4.1.1 ระบบดิฟเฟอเรนเชียล

จากการเลือกใช้ระบบดิฟเฟอเรนเชียล (Differential) พบว่าสามารถทำให้รถเข้าโค้งได้อย่างนุ่มนวล ไม่เกิดการสั่นไถลของล้อจะทำให้การเข้าโค้งมีประสิทธิภาพสูงสุด แต่อย่างไรก็ตามก็ยังพบปัญหาที่เกิดจากตัวดิฟเฟอเรนเชียลเอง ถ้าเราทำการขันน็อตที่ยึดดิฟเฟอเรนเชียลแน่นมากเกินไป จะทำให้การหมุนของตัวดิฟเฟอเรนเชียลเกิดการสะดุดไม่ต่อเนื่อง แต่ถ้าขันหลวมมากเกินไปจะทำให้ระบบดิฟเฟอเรนเชียลไม่สามารถทำงานได้ ฉะนั้นเราควรที่จะขันให้พอดีไม่แน่นหรือหลวมจนเกินไป

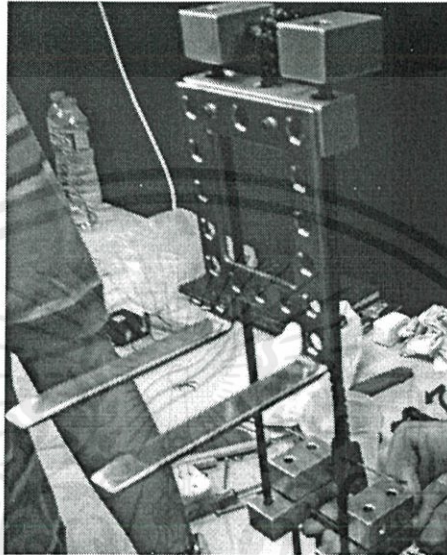


รูปที่ 4.1 แสดงระบบดิฟเฟอเรนเชียล

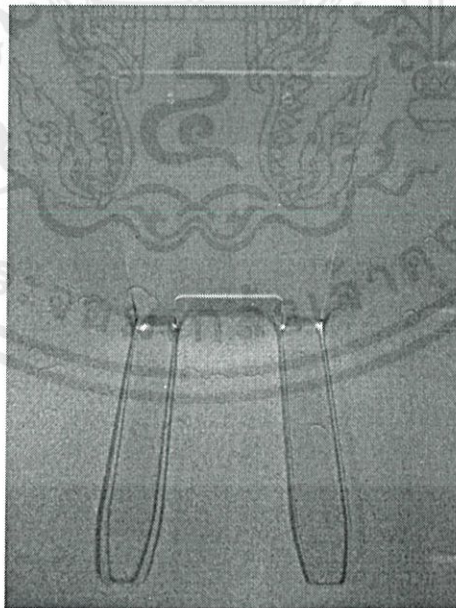
เอกสารนี้เป็นเอกสารที่สงวนไว้สำหรับการใช้งานเพื่อการศึกษาเท่านั้น ไม่อนุญาตให้นำไปใช้ประโยชน์ด้านการค้า
ไม่ว่ากรณีใดๆทั้งสิ้น อีกทั้งห้ามมิให้คัดแปลงเนื้อหา และต้องอ้างอิงถึงเจ้าของเอกสารทุกครั้งที่มีการนำไปใช้

4.1.2 ความแข็งแรงของงา

จากที่ได้ใช้โปรแกรม Solidwork ในการออกแบบงาทางทีมงานได้เลือกใช้สแตนเลสสตีลซึ่งมีความแข็งแรงและคงทนสูง แต่ก็พบปัญหาในเรื่องของน้ำหนัก ทำให้การยกงาเกิดการสะดุด ดังนั้นทีมงานจึงเปลี่ยนวัสดุเป็นอะคริลิกซึ่งมีน้ำหนักที่เบากว่า

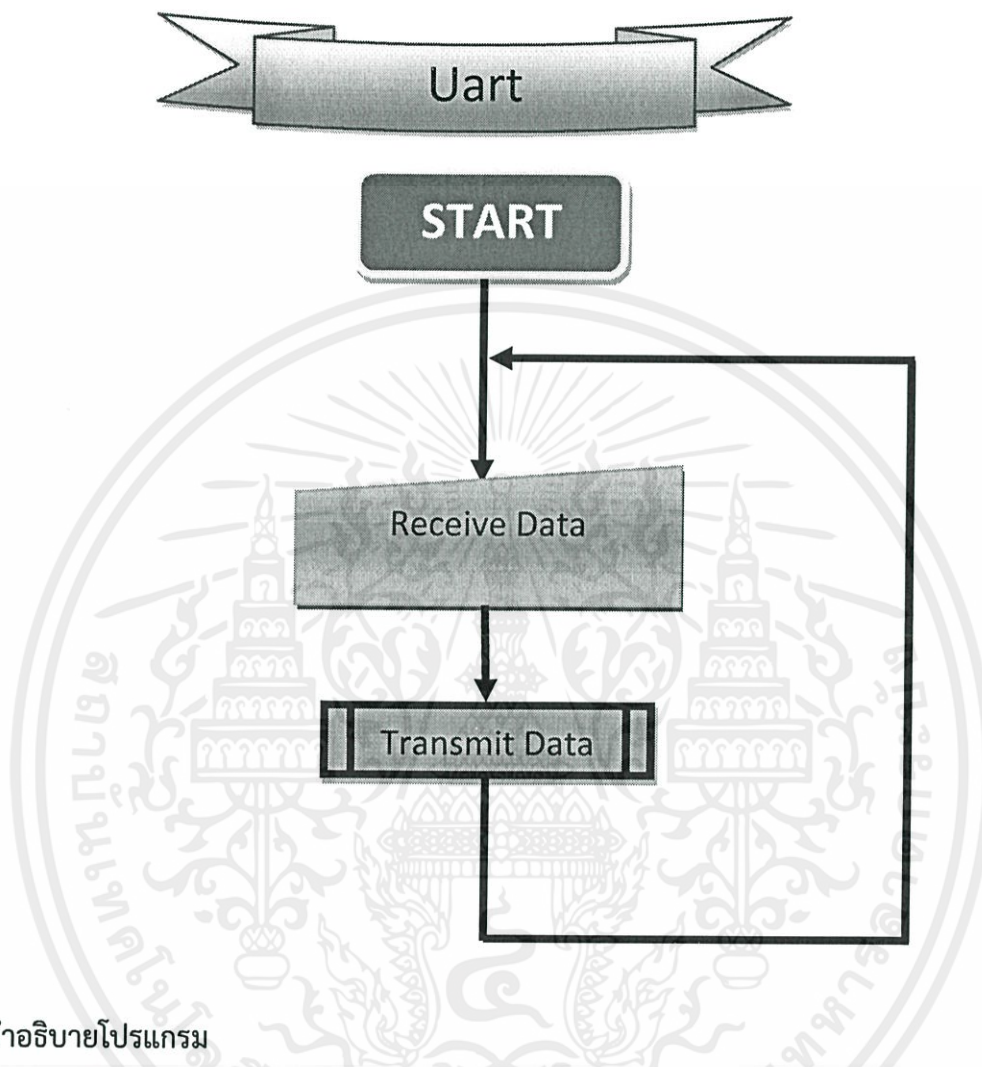


รูปที่ 4.2 งาสแตนเลสสตีล



เอกสารนี้เป็นเอกสารที่สงวนไว้สำหรับการใช้งานรูปที่ 4.3 งาอะคริลิกไม่อนุญาตให้นำไปใช้ประโยชน์ด้านการค้าไม่ว่ากรณีใดๆทั้งสิ้น อีกทั้งห้ามมิให้คัดแปลงเนื้อหา และต้องอ้างอิงถึงเจ้าของเอกสารทุกครั้งที่มีการนำไปใช้

4.2 โปรแกรมทดสอบการรับส่งข้อมูลผ่าน Uart

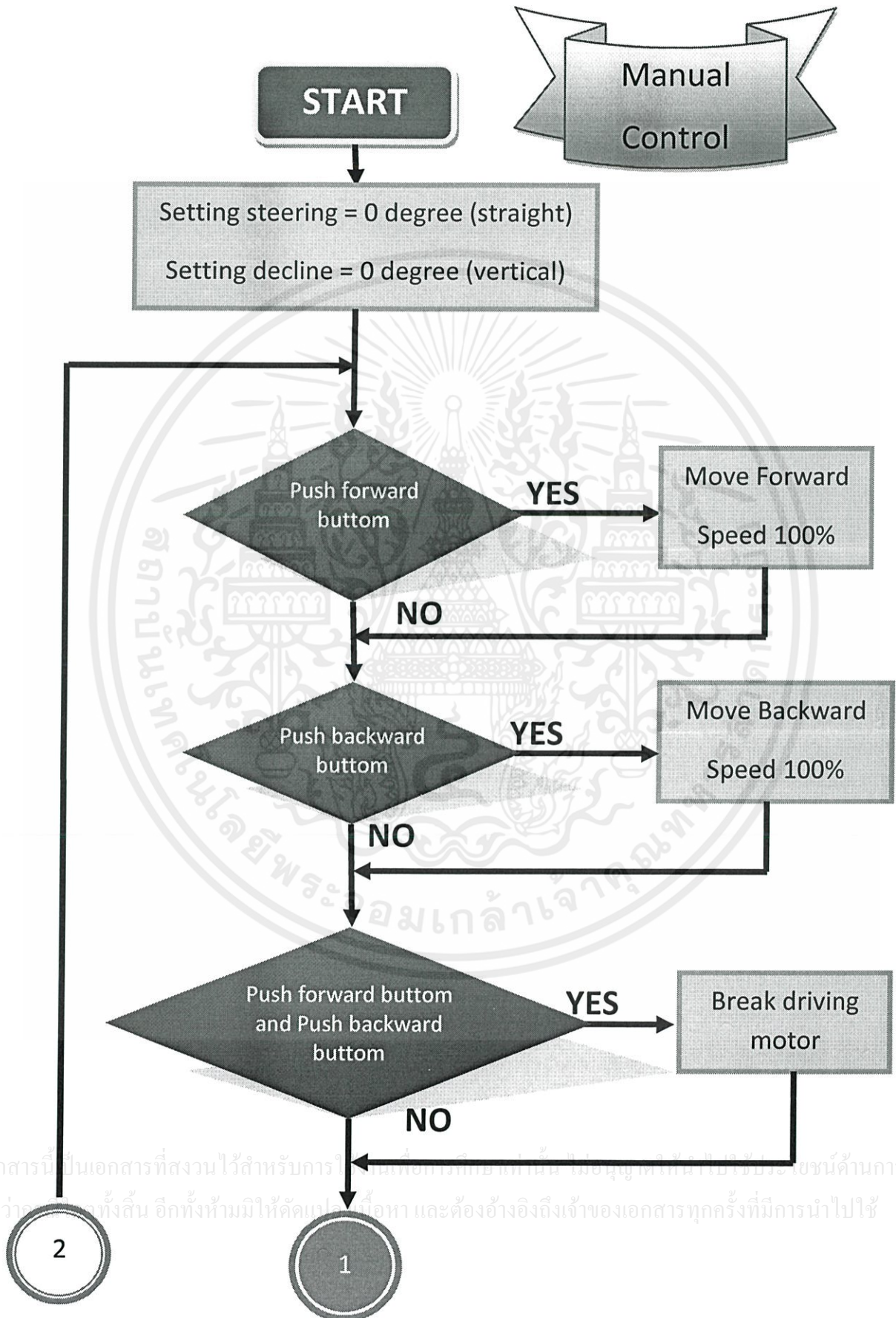


คำอธิบายโปรแกรม

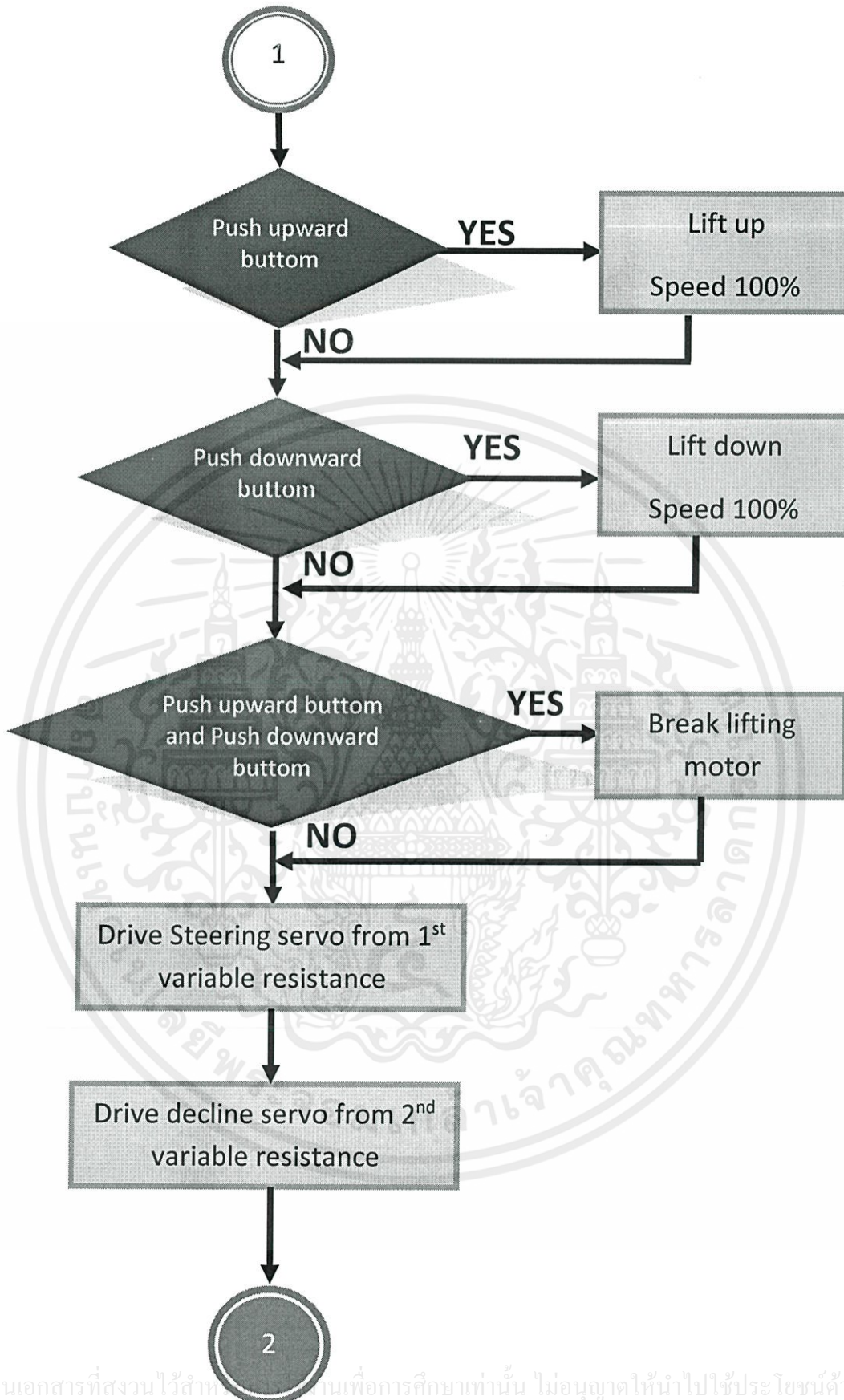
จากโปรแกรมข้างต้น เมื่อรันโปรแกรมและเปิดซอฟต์แวร์ Interface เช่น X-CTU, Hercules ฯลฯ ขึ้นมา โปรแกรมจะรอรับข้อมูลจนกว่าเราจะป้อนอักขระหรือตัวเลขเข้าไป โปรแกรมจะทำการบันทึกค่าไว้ในตัวแปร Data หลังจากนั้นก็จะส่งข้อมูลเดิมกลับมาในหน้าต่างซอฟต์แวร์ Interface

เอกสารนี้เป็นเอกสารที่สงวนไว้สำหรับการใช้งานเพื่อการศึกษาเท่านั้น ไม่อนุญาตให้นำไปใช้ประโยชน์ด้านการค้า ไม่ว่าจะกรณีใดๆทั้งสิ้น อีกทั้งห้ามมิให้คัดแปลงเนื้อหา และต้องอ้างอิงถึงเจ้าของเอกสารทุกครั้งที่มีการนำไปใช้

4.3 โปรแกรมบังคับด้วยมือ (Manual Control)



เอกสารนี้เป็นเอกสารที่สงวนไว้สำหรับการใช้ภายในเท่านั้น ไม่อนุญาตให้ทำซ้ำหรือเผยแพร่โดยไม่ได้รับอนุญาต
ไม่ว่าในรูปแบบใดก็ตาม หากมีข้อผิดพลาด กรุณาแจ้งให้ทราบเพื่อแก้ไข และต้องอ้างอิงถึงเจ้าของเอกสารทุกครั้งที่มีการนำไปใช้



เอกสารนี้เป็นเอกสารที่สงวนไว้สำหรับใช้ภายในเพื่อการศึกษาเท่านั้น ไม่อนุญาตให้นำไปใช้ประโยชน์ด้านการค้า
ไม่ว่ากรณีใดๆทั้งสิ้น อีกทั้งห้ามมิให้คัดแปลงเนื้อหา และต้องอ้างอิงถึงเจ้าของเอกสารทุกครั้งที่มีการนำไปใช้

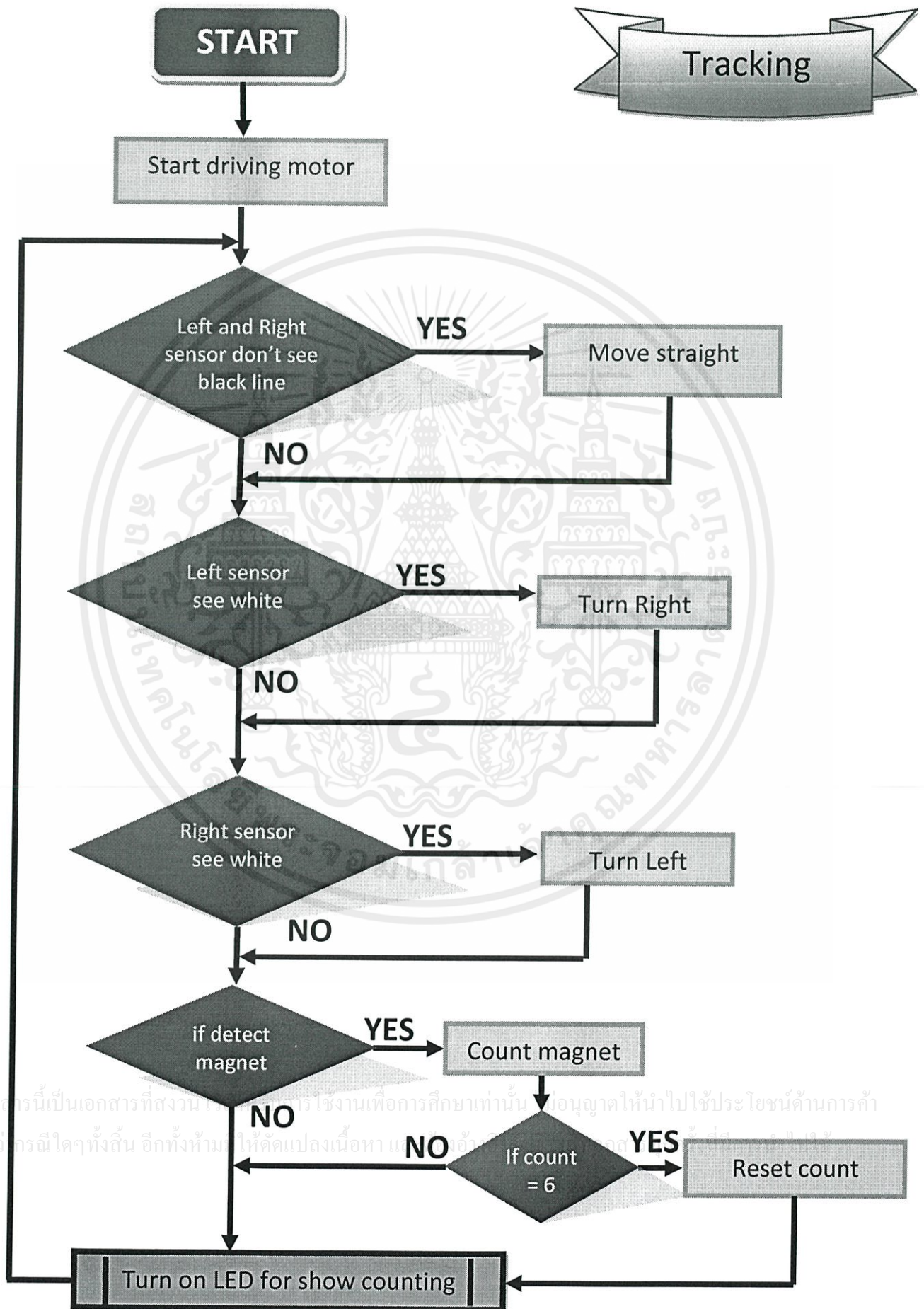
คำอธิบายโปรแกรม

โปรแกรมนี้ทำขึ้นเพื่อให้คนสามารถบังคับและควบคุมรถได้โดยตรง เมื่อเกิดเหตุฉุกเฉินจากการทำงานแบบอัตโนมัติ โดยใช้อุปกรณ์ที่มีปุ่มที่เป็นสวิทช์ซึ่งให้สัญญาณแบบดิจิตอลและปุ่มที่เป็น VR ซึ่งให้สัญญาณแบบอนาล็อก ฟังก์ชันการทำงานมีดังนี้ คือ เมื่อกดปุ่ม B3 รถจะเคลื่อนที่ไปข้างหน้า กดปุ่ม B4 รถจะถอยหลัง แต่เมื่อกดทั้ง B3 และ B4 ในเวลาเดียวกัน รถจะเบรกโดยการลือคมอเตอร์ เช่นเดียวกันเมื่อกดปุ่ม B5 งามรถจะเลื่อนขึ้น กดปุ่ม B6 งามรถจะเลื่อนลง และเมื่อกดทั้ง B3 และ B4 ในเวลาเดียวกัน ส่วนปุ่ม VR จะไปบังคับเซอร์โวมอเตอร์ให้หมุนตามที่เรากด ซึ่งต้องผ่านการแปลงสัญญาณจากอนาล็อกเป็นดิจิตอล (ADC) จากนั้น Microcontroller จะประมวลผลแปลงเป็นสัญญาณ Pulse จ่ายให้เซอร์โวมอเตอร์ต่อไป



เอกสารนี้เป็นเอกสารที่สงวนไว้สำหรับการใช้งานเพื่อการศึกษาเท่านั้น ไม่อนุญาตให้นำไปใช้ประโยชน์ด้านการค้า ไม่ว่าจะกรณีใดๆทั้งสิ้น อีกทั้งห้ามมิให้คัดแปลงเนื้อหา และต้องอ้างอิงถึงเจ้าของเอกสารทุกครั้งที่มีการนำไปใช้

4.4 โปรแกรมเดินตามเส้น (Tracking)



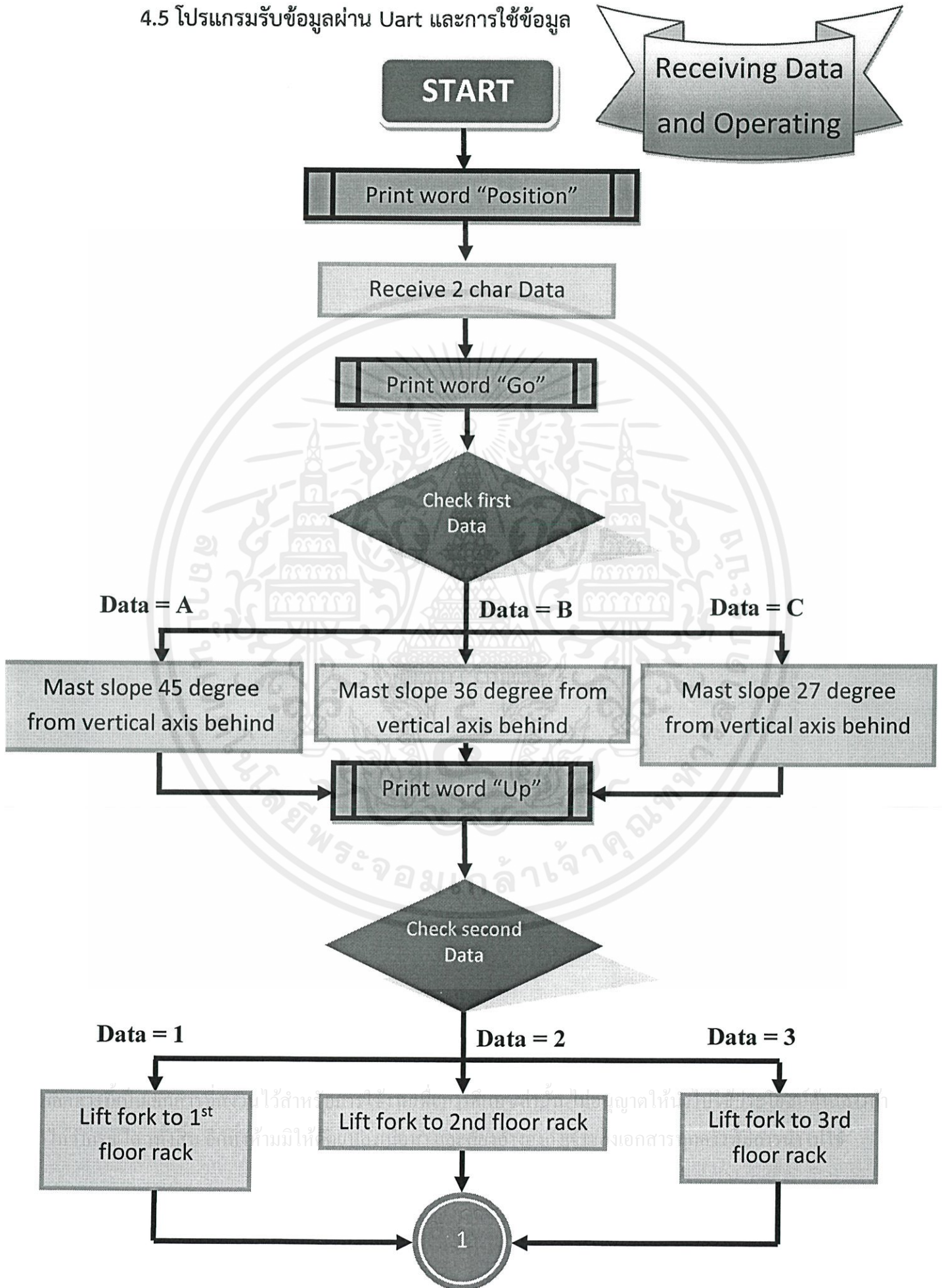
คำอธิบายโปรแกรม

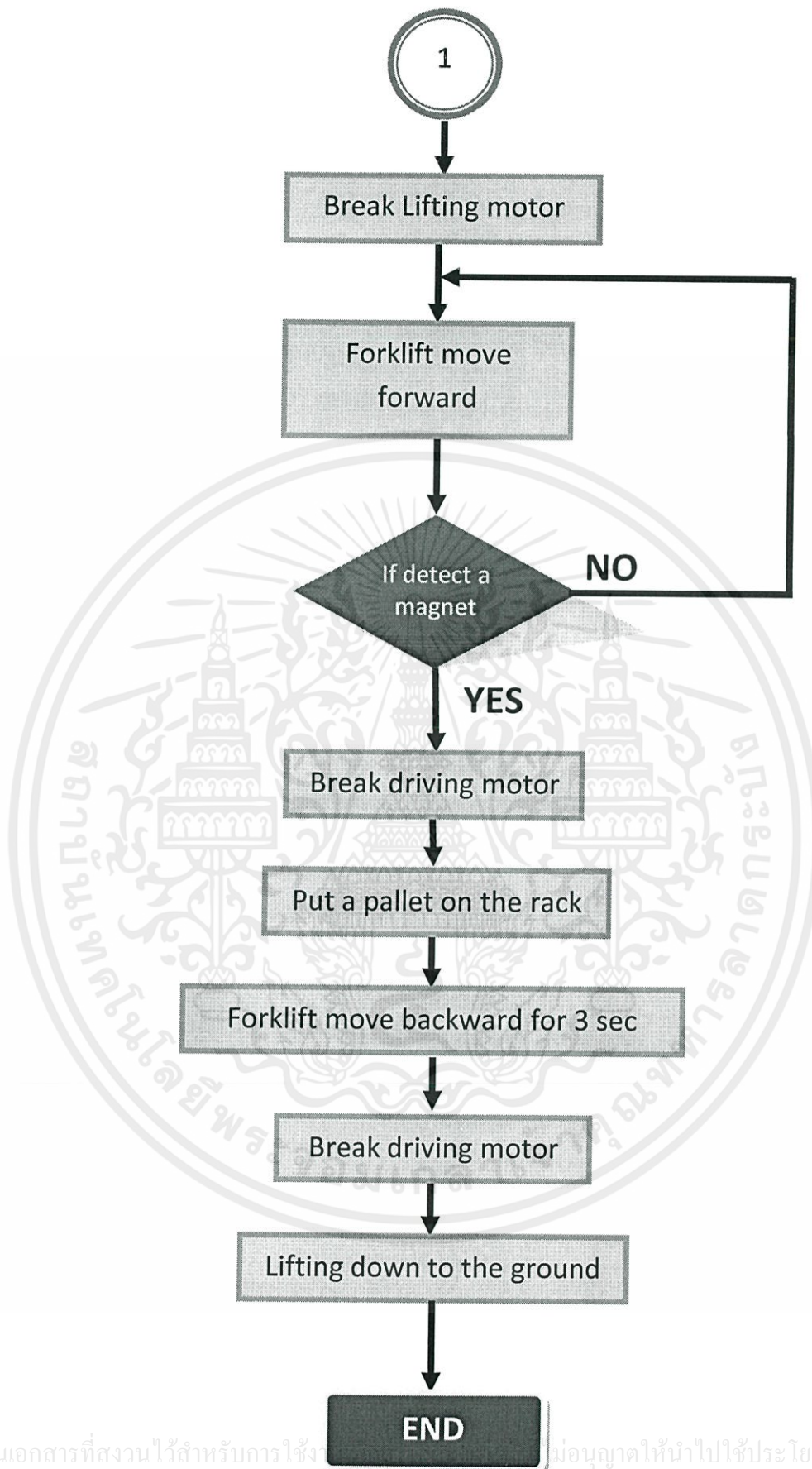
โปรแกรมนี้จะเกี่ยวกับการเคลื่อนที่ของรถ โดยมีเส้นสีดำเป็นตัวกำหนดเส้นทางการเคลื่อนที่ ในการตรวจจับเส้นสีดำ เราใช้เซนเซอร์แสง (Optical Sensor) ทั้งหมด 3 ตัว โดยมีเงื่อนไขว่าเซนเซอร์ทั้งหมดต้องอยู่ในตำแหน่งเส้นสีดำเสมอ เมื่อมีเซนเซอร์ตัวซ้ายหรือตัวขวาตัวใดตัวหนึ่งหลุดเส้น Microcontroller จะไปสั่งเซอร์โวมอเตอร์ซ้กเลี้ยว ให้ห้ก้ล้อกกลับเป็นมุมใกล้เคียง 80 องศา เพื่อให้รถคงอยู่ในเส้นทางได้ นอกจากนี้โปรแกรมนี้ได้มีการตรวจจับเซนเซอร์แถบแม่เหล็กอยู่ด้วย เพื่อระบุตำแหน่งของรถ โดยมีการนับว่าได้ผ่านแม่เหล็กไปที่จุดแล้ว



เอกสารนี้เป็นเอกสารที่สงวนไว้สำหรับการใช้งานเพื่อการศึกษาเท่านั้น ไม่อนุญาตให้นำไปใช้ประโยชน์ด้านการค้าไม่ว่ากรณีใดๆทั้งสิ้น อีกทั้งห้ามมิให้คัดแปลงเนื้อหา และต้องอ้างอิงถึงเจ้าของเอกสารทุกครั้งที่มีการนำไปใช้

4.5 โปรแกรมรับข้อมูลผ่าน Uart และการใช้ข้อมูล





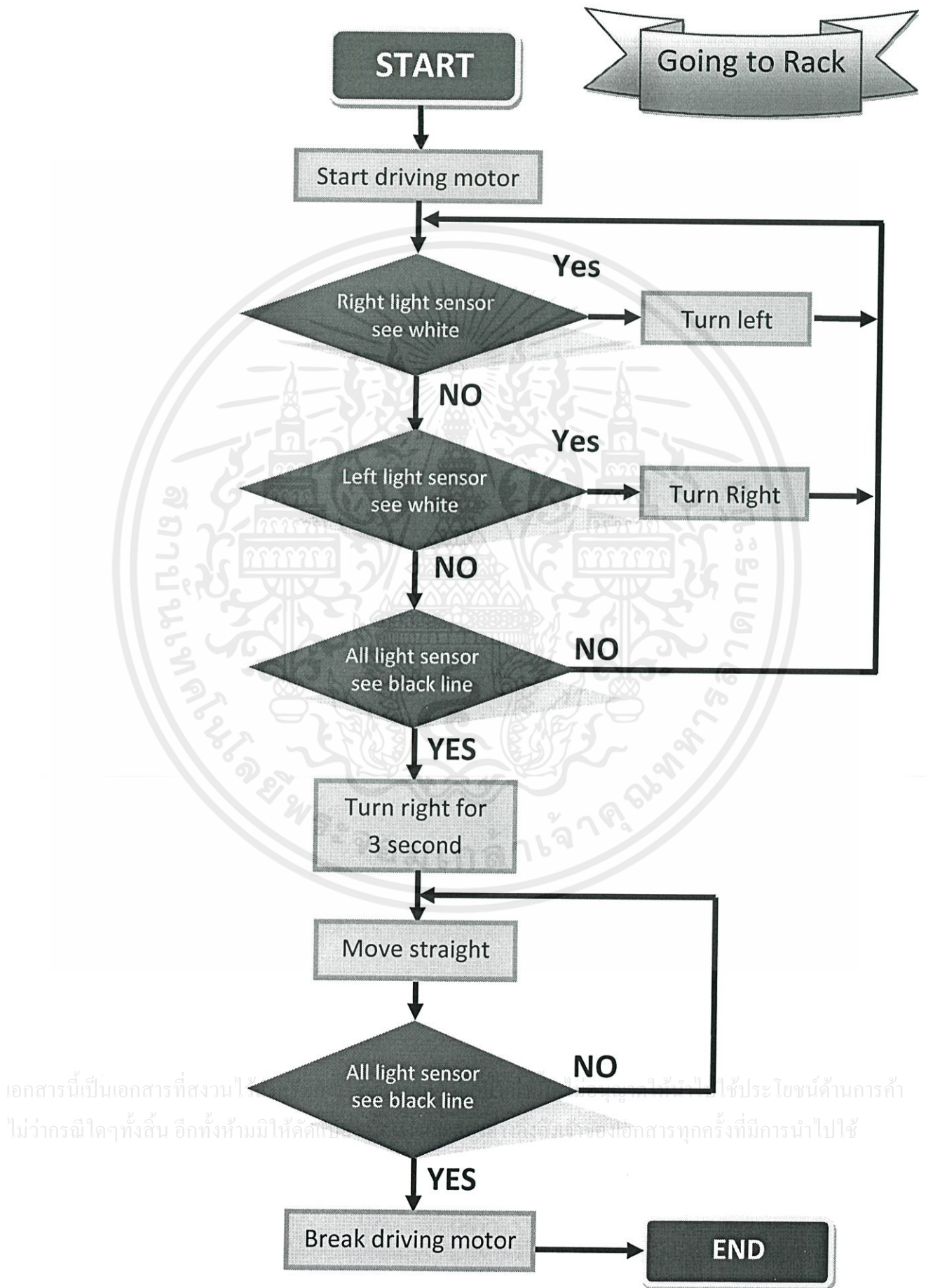
เอกสารนี้เป็นเอกสารที่สงวนไว้สำหรับการใช้
 อนุญาตให้นำไปใช้ประโยชน์ด้านการค้า
 ไม่ว่ากรณีใดๆทั้งสิ้น อีกทั้งห้ามมิให้คัดแปลงเนื้อหา และต้องอ้างอิงถึงเจ้าของเอกสารทุกครั้งที่มีการนำไปใช้

คำอธิบายโปรแกรม

โปรแกรมนี้เป็นการทดสอบการใช้ข้อมูลอักขระที่ได้จากคอมพิวเตอร์ผ่าน Uart โดยเริ่มโปรแกรมเชื่อมต่อกับซอฟต์แวร์อินเตอร์เฟซไมโครคอนโทรลเลอร์จะส่งอักขระ P, o, s, i, t, i, o, n หลังจากนั้นจะรอรับอักขระ 2 ตัว จากคอมพิวเตอร์ไปเก็บไว้ในตัวแปร data[0] และ data[1] ตามลำดับ เมื่อได้รับข้อมูลที่ตรงตามเงื่อนไข ไมโครคอนโทรลเลอร์จะประมวลผลและส่งข้อความว่า Go และตามได้ค่าที่อยู่ในตัวแปร data[0] ตามด้วย Up และตามได้ค่าที่อยู่ในตัวแปร data[1] จากนั้นไมโครคอนโทรลเลอร์จะทำการเช็คตัวแปร ที่อยู่ใน data[0] และ data[1] ว่าตรงตามเงื่อนไขที่ได้ตั้งโปรแกรมไว้หรือเปล่า คือ ถ้า data[0] เป็นอักขระ A เซอร์โวที่ควบคุมการเอียงของเสาจะบิดไป ค่าๆ หนึ่ง ตาม Pulse ของเซอร์โว อย่างที่ได้เคยอธิบายไว้ก่อนแล้ว อักขระ B และ C ก็เป็นไปตามเงื่อนไขของมันเช่นเดียวกัน นอกเหนือจากนี้ถือว่าเซอร์โวไม่มีการเปลี่ยนแปลง จากนั้นพิจารณา data[0] จะเกี่ยวกับการยกขาขึ้นไปในระดับชั้นต่างๆ ถ้าอักขระเป็น 1, 2 และ 3 จะถูกยกขึ้นไปชั้น 1 ชั้น 2 และชั้น 3 ตามลำดับ หลังจากนั้นรถจะเคลื่อนที่ไปข้างหน้าช้าๆ เมื่อเจอแถบแม่เหล็กก็จะหยุดช่วงขณะเพื่อวางพาเลท (Pallet) และถอยหลังกลับเป็นเวลา $48,000/16 = 3,000\text{ms}$ หรือ 3 วินาที จากนั้นงารถก็จะถูกเลื่อนลงเรื่อยๆ จนกว่าฐานของเสาจะไปแตะลิมิตสวิตช์ เพื่อสั่งให้มอเตอร์หยุด

เอกสารนี้เป็นเอกสารที่สงวนไว้สำหรับการใช้งานเพื่อการศึกษาเท่านั้น ไม่อนุญาตให้นำไปใช้ประโยชน์ด้านการค้า ไม่ว่าจะกรณีใดๆทั้งสิ้น อีกทั้งห้ามมิให้คัดแปลงเนื้อหา และต้องอ้างอิงถึงเจ้าของเอกสารทุกครั้งที่มีการนำไปใช้

4.6 โปรแกรมเมื่อรถเลี้ยวเข้ามาเก็บของ



คำอธิบายโปรแกรม

เริ่มต้นรถจะวิ่งตามเส้นเหมือนโปรแกรมเดินตามเส้นเช่นที่ได้เสนอไปแล้วนั้น แต่เมื่อเซนเซอร์แถบแม่เหล็กตรวจจับแม่เหล็กได้ โปรแกรมจะถูกเปลี่ยนให้รถเลี้ยวขวาจนกว่าเซนเซอร์แสงจะเจอเส้นสีดำพร้อมกันทั้ง 3 ตัว และมอเตอร์จะถูกสั่งให้หยุด

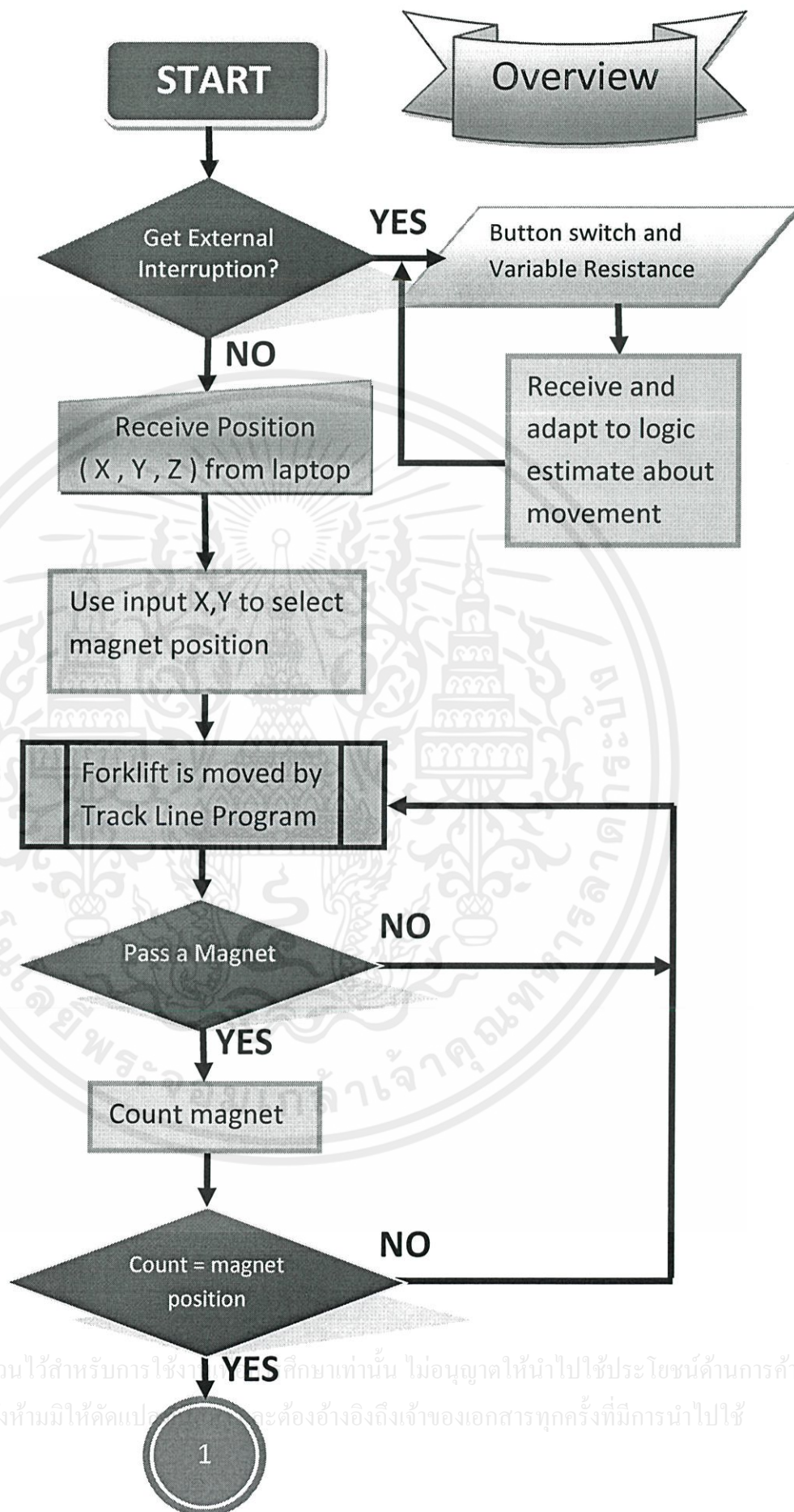


เอกสารนี้เป็นเอกสารที่สงวนไว้สำหรับการใช้งานเพื่อการศึกษาเท่านั้น ไม่อนุญาตให้นำไปใช้ประโยชน์ด้านการค้า ไม่ว่าจะกรณีใดๆทั้งสิ้น อีกทั้งห้ามมิให้คัดแปลงเนื้อหา และต้องอ้างอิงถึงเจ้าของเอกสารทุกครั้งที่มีการนำไปใช้

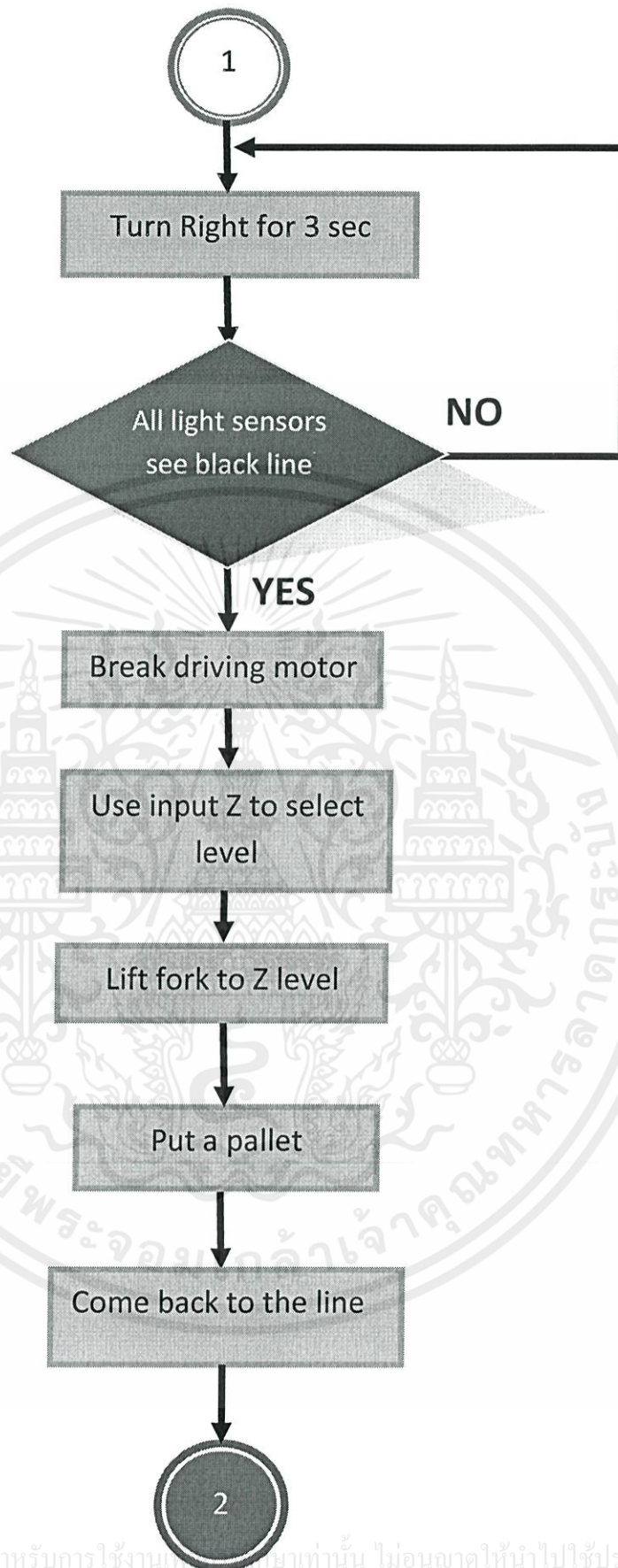
4.7 การทำงานโดยรวม

โหมดการทำงานของรถโฟล์คคลิฟท์อัจฉริยะนี้ มีทั้งโหมดอัตโนมัติและโหมดบังคับด้วยมือ เราสามารถเลือกโหมดได้โดยการเสียบสายรีโมทคอนโทรลที่เราได้ทำขึ้นเองโดยเฉพาะ เพื่อเลือกเป็นโหมดบังคับด้วยมือ ซึ่งสามารถควบคุมรถได้อย่างอิสระ แต่ถ้าไม่เสียบหลังจากกดสวิทช์เปิดเครื่อง โปรแกรมจะถือว่าเป็นโหมดอัตโนมัติทันที ซึ่งในโหมดนี้ไมโครคอนโทรลเลอร์จะรอรับพารามิเตอร์ตำแหน่ง 3 ตัว นั่นคือ X, Y และ Z ตามลำดับ เมื่อเราใส่อักขระพารามิเตอร์ทั้ง 3 ตัว เรียบร้อยแล้ว เราสามารถถอดสาย USB ที่ใช้เชื่อมต่อกันระหว่างคอมพิวเตอร์กับไมโครคอนโทรลเลอร์ได้เลย เนื่องจากข้อมูลได้ถูกส่งและบันทึกแล้ว พร้อมกันนี้ไมโครคอนโทรลเลอร์ประมวลผลข้อมูลที่ได้รับมา ออกมาเป็นจำนวนแม่เหล็กที่รถต้องวิ่งผ่านและขั้นที่จะไปเก็บของ เริ่มต้นจากรถตั้งสินค้าจากสถานีแล้วเข้าสู่เส้นทางเดินหลัก จากนั้นจะเคลื่อนผ่านแถบแม่เหล็กไปเรื่อยๆ จนกว่าจะถึงตำแหน่งแม่เหล็กที่ถูกเลือกไว้ จากนั้นรถก็จะเลี้ยวเข้าไปหาชั้นวางของ ก่อนถึงชั้นวางของจะมีแถบเส้นสีดำตะตามขวางอยู่ ถ้าเซนเซอร์แสงทั้ง 3 ตัว จับเส้นสีดำได้พร้อมกัน โปรแกรมจะสั่งให้รถหยุด เพื่อที่จะทำการยกงาให้ขึ้นไปยังตำแหน่งที่ถูกเก็บค่าไว้ในตอนแรก ในขณะที่ยกงาขึ้นนั้น จะมีเอ็นโค้ดเดอร์ (Encoder) เป็นเสมือนตัวเช็คความสูงของงาในเวลานั้นๆ เมื่อถึงความสูงที่กำหนด มอเตอร์ที่ยกงาก็จะหยุด จากนั้นรถก็จะเดินหน้าเข้าไปวางของแล้วก็ถอยกลับมาตำแหน่งเดิม จากนั้นงาก็จะเลื่อนลงเรื่อยๆ จนกว่าจะไปแตะลิมิตสวิทช์ (Limit Switch) ที่อยู่ข้างล่างของเสา หลังจากที่ยกหยุดรถก็จะถอยกลับมายังเส้นทางเดินรถตำแหน่งเดิมก่อนที่จะเลี้ยวเข้าชั้นวางของ จากนั้นรถจะวิ่งตามเส้นไปเรื่อยๆ ผ่านแถบแม่เหล็กเพื่อกลับไปยังสถานีเริ่มต้น จำนวนแม่เหล็กที่รถจะต้องผ่านในขากลับคำนวณได้จากการเอาจำนวนแม่เหล็กทั้งหมด (2X) ลบด้วยจำนวนแม่เหล็กที่ได้ผ่านมาก่อนแล้ว เมื่อถึงสถานีรถก็จะหยุดการทำงานชั่วคราว เพื่อรอรับคำสั่งต่อไป

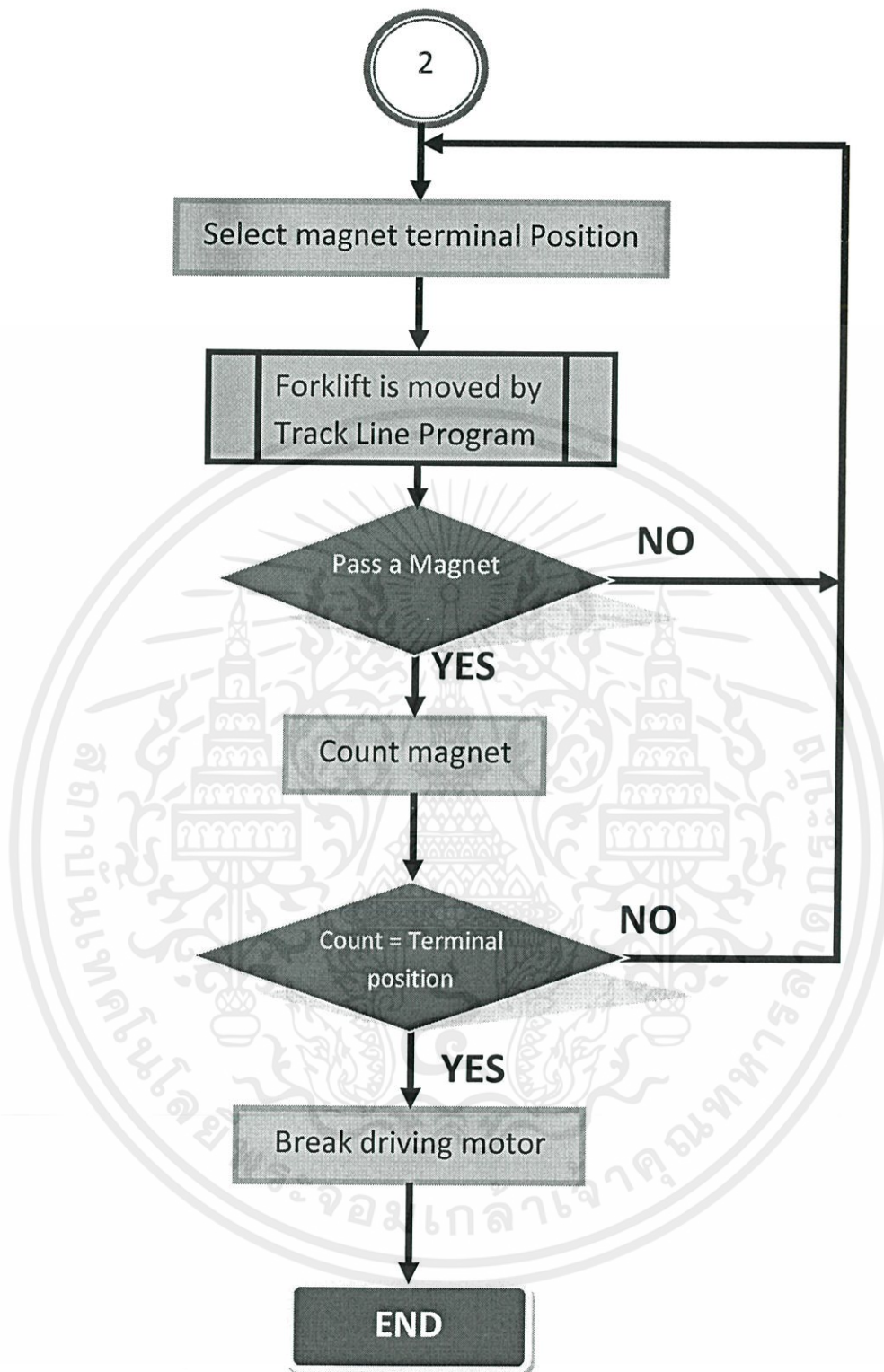
เอกสารนี้เป็นเอกสารที่สงวนไว้สำหรับการใช้งานเพื่อการศึกษาเท่านั้น ไม่อนุญาตให้นำไปใช้ประโยชน์ด้านการค้า
ไม่ว่ากรณีใดๆทั้งสิ้น อีกทั้งห้ามมิให้คัดแปลงเนื้อหา และต้องอ้างอิงถึงเจ้าของเอกสารทุกครั้งที่มีการนำไปใช้



เอกสารนี้เป็นเอกสารที่สงวนไว้สำหรับการใช้งานในสถานศึกษาเท่านั้น ไม่อนุญาตให้นำไปใช้ประโยชน์ด้านการค้า
ไม่ว่ากรณีใดๆทั้งสิ้น อีกทั้งห้ามมิให้คัดลอกและต้องอ้างอิงถึงเจ้าของเอกสารทุกครั้งที่มีการนำไปใช้



เอกสารนี้เป็นเอกสารที่สงวนไว้สำหรับการใช้งานเท่านั้น ไม่อนุญาตให้นำไปใช้ประโยชน์ด้านการค้า
ไม่ว่ากรณีใดๆทั้งสิ้น อีกทั้งห้ามมิให้ดัดแปลงเนื้อหา และต้องอ้างอิงถึงเจ้าของเอกสารทุกครั้งที่มีการนำไปใช้



เอกสารนี้เป็นเอกสารที่สงวนไว้สำหรับการใช้งานเพื่อการศึกษาเท่านั้น ไม่อนุญาตให้นำไปใช้ประโยชน์ด้านการค้า
ไม่ว่ากรณีใดๆทั้งสิ้น อีกทั้งห้ามมิให้คัดแปลงเนื้อหา และต้องอ้างอิงถึงเจ้าของเอกสารทุกครั้งที่มีการนำไปใช้

บทที่ 5

บทวิจารณ์และสรุป

5.1 สรุปผลการทดลอง

จากการทดลองระบบปฏิบัติการโพรคลิฟท์อัจฉริยะ รถโพรคลิฟท์สามารถส่งสินค้าไปยังที่
ต้องการได้ แต่ยังต้องการการพัฒนากระบวนการสื่อสารเพื่อให้สามารถควบคุมรถได้ง่ายขึ้น ปัจจัยความ
ไม่เสถียรในการตรวจจับการเคลื่อนที่ไปยังจุดหมายของเซนเซอร์แสงยังมีข้อจำกัด ในเรื่องของแสง
สว่างในห้องซึ่ง ณ เวลาต่างๆ กันค่าที่ได้จากเซนเซอร์อาจมีค่าไม่เท่ากัน ทำให้การตรวจจับเสถียรมีความ
ผิดพลาดอยู่เล็กน้อย แต่เนื่องจากการแก้ไขเปลี่ยนไปใช้เซนเซอร์แม่เหล็กทำให้สามารถหยุด ณ จุดที่
ต้องการได้ จึงทำให้รถโพรคลิฟท์สามารถส่งของไปยังจุดที่ต้องการได้แม่นยำมากขึ้น

5.2 ปัญหาที่พบและแนวทางแก้ไข

จากการใช้ระบบเซนเซอร์แสง ตรวจจับเส้นทางบนพื้นเพื่อเดินไปยังตำแหน่งเป้าหมาย พบว่า
ระบบสามารถเคลื่อนที่ไปตามเส้นทางที่กำหนดได้จริง แต่มีความผิดพลาดของตำแหน่งที่จะหยุดที่
ตำแหน่งกำหนดอยู่บางครั้ง เนื่องจากปัจจัยทางความเร็ว และการตอบสนองทางตรรกะ ทำให้
เซนเซอร์แสงจะสามารถอยู่นอกเหนือตรรกะที่กำหนดได้ ส่งผลให้ไม่หยุดในตำแหน่งที่ควรหยุด
เนื่องจากสามารถเคลื่อนที่ไปตามเส้นทางที่กำหนดอย่างเสถียรแล้ว จึงใช้เซนเซอร์แม่เหล็กตรวจจับ
แม่เหล็กในตำแหน่งที่ควรหยุดแทน เพื่อลดปัญหาความซับซ้อนของโปรแกรม ลดข้อผิดพลาด แยก
หน้าที่ของอุปกรณ์

ในส่วนปัญหาที่พบและยังไม่ได้ปรับปรุงแก้ไข ได้แก่ ปัญหาระบบไฟฟ้าของระบบการสื่อสาร
แบบไร้สาย (Wifi) เนื่องจากไฟเลี้ยงของระบบการสื่อสารไร้สายและไฟเลี้ยงคอนโทรลเลอร์มีค่าไม่
เท่ากัน ทำให้เกิดปัญหาการส่งข้อมูลระหว่างคอนโทรลเลอร์และการสื่อสารไร้สาย ซึ่งการแก้ปัญหา
ดังกล่าวอาจจะต้องแก้ปัญหาที่ต้นเหตุ คือไฟเลี้ยงที่ตัวคอนโทรลเลอร์ จำเป็นต้องแก้ไขแผงวงจรและ
IC บางตัว

เอกสารนี้เป็นเอกสารที่สงวนไว้สำหรับการใช้งานเพื่อการศึกษาเท่านั้น ไม่อนุญาตให้นำไปใช้ประโยชน์ด้านการค้า
ไม่ว่ากรณีใดๆ ทั้งสิ้น อีกทั้งห้ามมิให้คัดแปลงเนื้อหา และต้องอ้างอิงถึงเจ้าของเอกสารทุกครั้งที่มีการนำไปใช้

5.3 ข้อเสนอแนะและแนวทางในการค้นคว้าพัฒนา

ในการควบคุมไฟร์คลิฟท์อัจฉริยะนั้น ควรจะสามารถส่งการผ่านระบบการสื่อสารแบบไร้สาย (Wifi) ได้เพื่อให้ง่ายต่อการส่งควบคุมส่งสินค้าไปเก็บที่ช่องไหน และสามารถควบคุมขณะอยู่หน้าจอสั่งการ และควรมีโปรแกรมจัดการสินค้าเพื่อตรวจจับว่าสินค้าที่ขนส่งโดยรถไฟร์คลิฟท์นั้นเก็บที่ช่องไหนชั้นไหนและเก็บสินค้า ณ วันไหนเพื่อง่ายต่อการค้นหาสินค้าที่ระบบไฟร์คลิฟท์เก็บสินค้าไว้

นอกจากนั้นไฟร์คลิฟท์ที่ทีมพัฒนาปัจจุบันนี้มีแค่คันเดียว ไม่ได้วางแผนเพื่อให้ใช้ได้หลายคัน ฉะนั้นจึงควรศึกษาแนวทางให้การพัฒนาให้ไฟร์คลิฟท์อัจฉริยะนั้นทำงานได้ในขณะที่มีหลายคัน โดยให้ระบบการสื่อสารไร้สาย (Wifi) สามารถควบคุมได้ทุกคันและมีโปรแกรมในการจัดการสินค้าของไฟร์คลิฟท์ที่ส่งสินค้าทุกคันเพื่อความสะดวกและรวดเร็วในการใช้งาน



เอกสารนี้เป็นเอกสารที่สงวนไว้สำหรับการใช้งานเพื่อการศึกษาเท่านั้น ไม่อนุญาตให้นำไปใช้ประโยชน์ด้านการค้าไม่ว่ากรณีใดๆทั้งสิ้น อีกทั้งห้ามมิให้คัดแปลงเนื้อหา และต้องอ้างอิงถึงเจ้าของเอกสารทุกครั้งที่มีการนำไปใช้

เอกสารอ้างอิง

[1] ทฤษฎีระบบการเคลื่อนที่ของรอก :วิระศักดิ์กรัยวิเชียร, "กลศาสตร์ วิศวกรรม ภาคพลศาสตร์"

[2] ทฤษฎี Four-Bar Linkage : Arthur G.Erdman/George N.Sandon, "Mechanism Design Analysis and Synthesis Volume 1"

[3] ทฤษฎี Center of Mass

[4] ทฤษฎีตรวจจับแบบความถี่เหนือเสียงและทฤษฎีตรวจจับแบบใช้แสง

Available :

<http://www.ind.cru.in.th/patanaphong/documents/วิชาการวัดและเครื่องมือวัด/บทที่3 เซนเซอร์และวงจรไฟฟ้า-2A.pdf>

[5] ทฤษฎี H-Bridge Switching

Available :

<http://www.cp.eng.chula.ac.th/~krerk/courses/2110262/2544/LabSheet/Lab5.htm>

<http://webcache.googleusercontent.com/search?q=cache:HiByrMyYyEJ:www.ee.buu.ac.th/~acitl/project/2009/Mobility%2520Design%2520For%2520Control%2520Robotic%2520System/Report%26Presentation/edite/10%2520%25BA%25B7%25B7%25D5%25F82.docx+&cd=1&hl=th&ct=clnk&gl=th>

[6] ทฤษฎี DC Motor : "PM DC Motor" Industrial Automation Control

[7] Datasheet ATMega32 by Atmel

เอกสารนี้เป็นเอกสารที่สงวนไว้สำหรับการใช้งานเพื่อการศึกษาเท่านั้น ไม่อนุญาตให้นำไปใช้ประโยชน์ด้านการค้า
ไม่ว่ากรณีใดๆทั้งสิ้น อีกทั้งห้ามมิให้ดัดแปลงเนื้อหา และต้องอ้างอิงถึงเจ้าของเอกสารทุกครั้งที่มีการนำไปใช้



ภาคผนวก

เอกสารนี้เป็นเอกสารที่สงวนไว้สำหรับการใช้งานเพื่อการศึกษาเท่านั้น ไม่อนุญาตให้นำไปใช้ประโยชน์ด้านการค้า
ไม่ว่ากรณีใดๆทั้งสิ้น อีกทั้งห้ามมิให้ดัดแปลงเนื้อหา และต้องอ้างอิงถึงเจ้าของเอกสารทุกครั้งที่มีการนำไปใช้

ภาคผนวก ก.

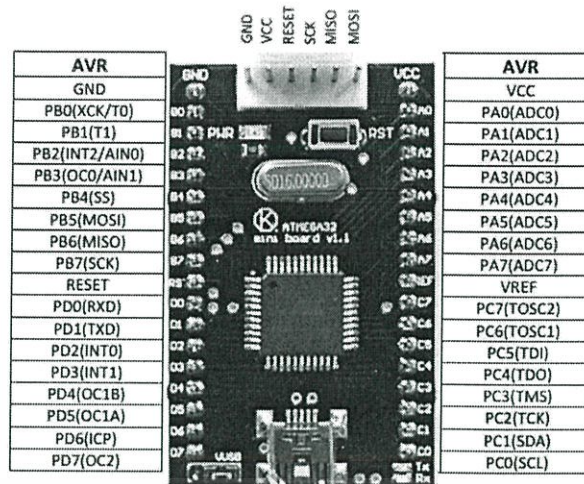
คุณสมบัติ Microcontroller

1. ATmega32 @ 16.00 MHz
2. 32Kbytes of Flash Program Memory
3. 1Kbytes of EEPROM 100000 write/erase
4. 2Kbytes Internal SRAM
5. 32 Programmable I/O lines
 - 8 channels of 10-bit ADC
 - 1 channels of SPI
 - 1 channels of I2C
 - 1 channels of USART

คุณสมบัติบอร์ด

1. เป็น MCU ตระกูล AVR เบอร์ ATmega32 ของ Atmel ซึ่งเป็น MCU ขนาด 8-bit.
2. ใช้สัญญาณนาฬิกาจาก Crystal ความเร็ว 16MHz
3. สามารถใช้แรงดันได้ตั้งแต่ 4.5 – 5.1V
4. มีหน่วยความจำโปรแกรม 32KB ในโหมดปกติ หรือ 30KB ในโหมด Bootloader
5. สามารถเลือกใช้แรงดัน 5V จาก USB ได้

เอกสารนี้เป็นทรัพย์สินทางปัญญาของมหาวิทยาลัยเทคโนโลยีพระจอมเกล้าเจ้าคุณทหารลาดกระบัง
 ไม่ว่ากรณีใดๆทั้งสิ้น อีกทั้งห้ามมิให้คัดแปลงเนื้อหา และต้องอ้างอิงถึงเจ้าของเอกสารทุกครั้งที่มีการนำไปใช้



พอร์ตต่างๆ ของ Microcontroller AVR ATmega32

PB0 = Available

PA0 = Right Optical Sensor

PB1 = Available

PA1 = Center Optical Sensor

PB2 = Available

PA2 = Left Optical Sensor

PB3 = Forward Motor A Switch

PA3 = Limit Switch

PB4 = Backward Motor A Switch

PA4 = Magnetic Sensor

PB5 = Upward Motor B Switch

PA5 = Control Servo C5 Variable Resistant

PB6 = Downward Motor B Switch

PA6 = Control Servo C4 Variable Resistant

PB7 = Available

PA7 = Encoder

PD0 = Uart Receive

PC7 = Available

PD1 = Uart Transmit

PC6 = Available

PD2 = Interrupt Manual System

PC5 = Swaying Servo Motor

PD3 = Right LED

PC4 = Wheeling Servo Motor

PD4 = Pulse Motor B

PC3 = Direction Motor B

PD5 = Pulse Motor A

PC2 = Direction Motor B

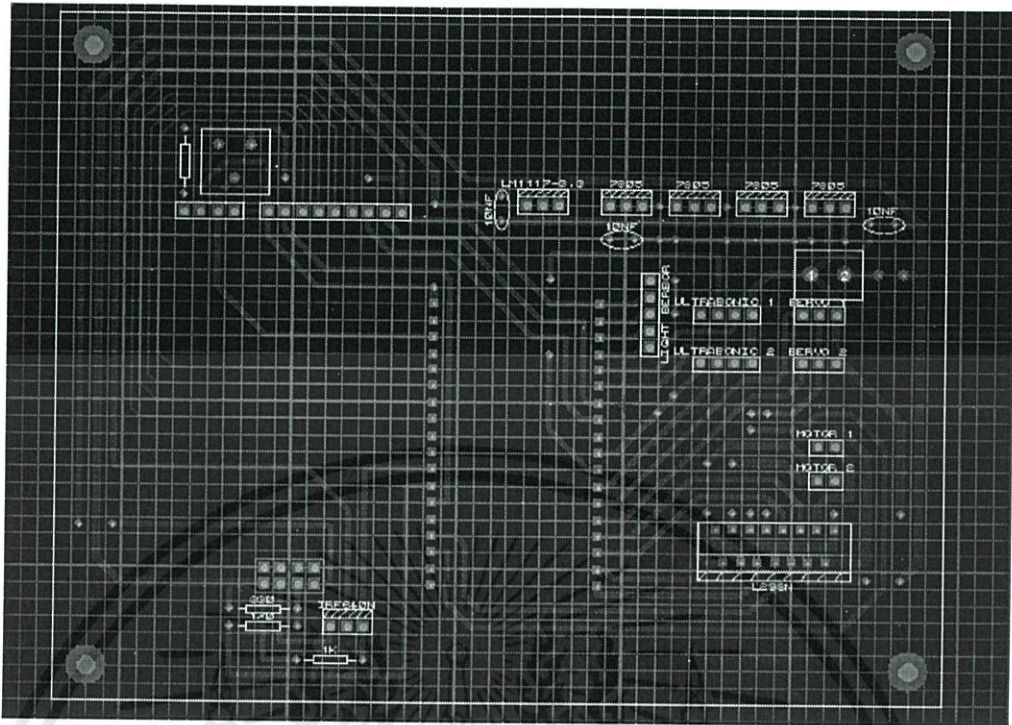
PD6 = Center LED

PC1 = Direction Motor A

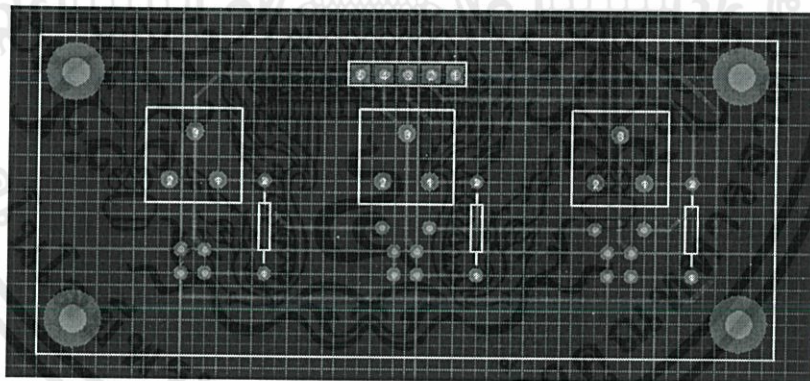
PD7 = Left LED

PC0 = Direction Motor A

ระบุพอร์ตที่ใช้ต่อกับอุปกรณ์ต่างๆ



แผนผังบอร์ด PCB ของวงจรหลัก (เต็ม) ที่ได้ออกแบบไว้ ด้วยโปรแกรม ARES Professional




แผนผังบอร์ด PCB ของวงจรเซนเซอร์แสง ที่ได้ออกแบบไว้ ด้วยโปรแกรม ARES Professional

เอกสารนี้เป็นเอกสารที่สงวนไว้สำหรับการใช้งานเพื่อการศึกษาเท่านั้น ไม่อนุญาตให้นำไปใช้ประโยชน์ด้านการค้า
ไม่ว่ากรณีใดๆทั้งสิ้น อีกทั้งห้ามมิให้คัดแปลงเนื้อหา และต้องอ้างอิงถึงเจ้าของเอกสารทุกครั้งที่มีการนำไปใช้

ภาคผนวก ข.

คู่มือการใช้งาน IC L298

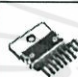

L298 เป็นอุปกรณ์แปลงแรงดันไฟฟ้าจากไมโครคอนโทรลเลอร์เป็นแรงดันไฟฟ้าที่สามารถใช้ควบคุมมอเตอร์ได้ มีรายละเอียดต่างๆ ดังนี้



L298

DUAL FULL-BRIDGE DRIVER

- OPERATING SUPPLY VOLTAGE UP TO 48 V
- TOTAL DC CURRENT UP TO 4 A
- LOW SATURATION VOLTAGE
- OVERTEMPERATURE PROTECTION
- LOGICAL "0" INPUT VOLTAGE UP TO 1.5 V (HIGH NOISE IMMUNITY)

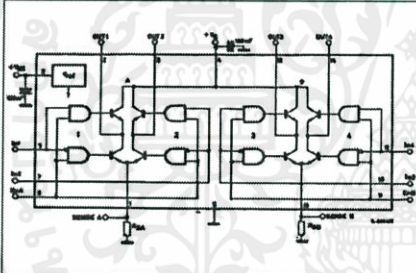



DESCRIPTION

The L298 is an integrated monolithic circuit in a 15-lead Multiwatt and PowerSO28 packages. It is a high voltage, high current dual full-bridge driver designed to accept standard TTL logic levels and drive inductive loads such as relays, solenoids, DC and stepping motors. Two enable inputs are provided to enable or disable the device independently of the input signals. The emitters of the lower transistors of each bridge are connected together and the corresponding external terminal can be used for the connection of an external sensing resistor. An additional supply input is provided so that the logic works at a lower voltage.

ORDERING NUMBERS : L298H (Multiwatt Ver.1)
L298H (Multiwatt Ver.1)
L298P (PowerSO28)

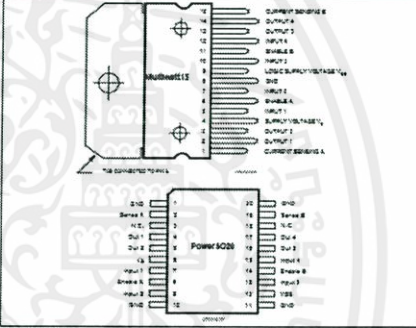
BLOCK DIAGRAM



ABSOLUTE MAXIMUM RATINGS

Symbol	Parameter	Value	Unit
V_{CC}	Power Supply (Logic Supply Voltage)	48	V
V_{EM}	Logic Supply Voltage	5	V
V_{OL}	Input and Output Voltage	± 3 B7	V
I_o	Peak Output Current (per Channel)	3	A
	-High Resistance ($\rho = 100\mu\Omega$)	2.5	A
	-Resistive ($\rho = 20\% \text{ off } \rho_o = 10m\Omega$)	3	A
V_{SEN}	Sensing Voltage	-1 to 2.3	V
P_{tot}	Total Dissipation (T _{amb} = 75°C)	25	W
T_{stg}	Junction Storage Temperature	-25 to 150	°C
T_{op}	Storage and Junction Temperature	-40 to 150	°C

PIN CONNECTIONS (top view)



THERMAL DATA

Symbol	Parameter	PowerSO28	Multiwatt15	Unit
$R_{\theta(jc)}$ <td>Thermal Resistance Junction-Case</td> <td>Max</td> <td>3</td> <td>°C/W</td>	Thermal Resistance Junction-Case	Max	3	°C/W
$R_{\theta(ja)}$ <td>Thermal Resistance Junction-Ambient</td> <td>Max</td> <td>33 (7)</td> <td>°C/W</td>	Thermal Resistance Junction-Ambient	Max	33 (7)	°C/W

January 2000

1/15

เอกสารนี้เป็นเอกสารที่สงวนไว้สำหรับการใช้งานเพื่อการศึกษาเท่านั้น ไม่อนุญาตให้นำไปใช้ประโยชน์ด้านการค้า ไม่ว่าจะกรณีใดๆทั้งสิ้น อีกทั้งห้ามมิให้คัดแปลงเนื้อหา และต้องอ้างอิงถึงเจ้าของเอกสารทุกครั้งที่มีการนำไปใช้

L298

PN FUNCTIONS (refer to the block diagram)

Min. Pin	Pin or QD	Name	Function
1,15	2,10	Sense A; Sense B	Between this pin and ground is connected the sense resistor to measure the current of the load.
2,3	4,5	Out 1; Out 2	Outputs of the Bridge A. The current that flows through the load is measured between these two pins is monitored at pin 1.
4	5	V _{cc}	Supply Voltage for the Power Output Stages. A non-inductive 100nF capacitor must be connected between this pin and ground.
8,7	7,9	Input 1; Input 2	TT1, Composite inputs of the Bridge A.
6,11	8,14	Enable A; Enable B	TT1, Composite enable input. The L-vise disables the bridge A (enable A) and/or the bridge B (enable B).
2	1,10,11,20	GNP	Ground
9	12	V _{SS}	Supply Voltage for the Logic Blocks. A 100nF capacitor must be connected between this pin and ground.
10,12	13,15	Input 3; Input 4	TT2, Composite inputs of the Bridge B.
13,14	14,17	Out 3; Out 4	Outputs of the Bridge B. The current that flows through the load is monitored between these two pins is monitored at pin 15.
—	3,16	N.C.	Not Connected

ELECTRICAL CHARACTERISTICS (V_{CC} = 42V, V_{SS} = 0V, T_j = 25°C, unless otherwise specified)

Symbol	Parameter	Test Conditions	Min.	Typ.	Max.	Unit
V _{CC}	Supply Voltage (pin 5)	Operative Condition	V _{CC} = 2.5	4.6	7	V
I _{CC}	Quiescent Supply Current (pin 5)	V _{CC} = V _{CC} , I _L = 0	V = L	13	22	mA
I _{CC}	Quiescent Current from V _{CC} (pin 5)	V _{CC} = L, I _L = 0	V = H	24	36	mA
V _{IL}	Input Low Voltage (pins 8, 7, 10, 11)	V _{CC} = L	V = L	-0.3	1.5	V
V _{IH}	Input High Voltage (pins 8, 7, 10, 11)	V _{CC} = L	V = L	2.3	V _{CC}	V
I _L	Low Voltage Input Current (pins 8, 7, 10, 11)	V _{CC} = L	V = L	-10		µA
I _{HL}	High Voltage Input Current (pins 8, 7, 10, 11)	V _{CC} = H, V _{IL} = 0.8V	V = H	30	100	µA
V _{OL}	Enable Low Voltage (pin 6, 11)	V _{CC} = L	V = L	-0.3	1.5	V
V _{OH}	Enable High Voltage (pin 6, 11)	V _{CC} = L	V = L	2.3	V _{CC}	V
I _{OL}	Low Voltage Enable Current (pin 6, 11)	V _{CC} = L	V = L	-10		µA
I _{OH}	High Voltage Enable Current (pin 6, 11)	V _{CC} = H, V _{OL} = 0.8V	V = H	30	100	µA
V _{DSAT}	Source Saturation Voltage	L = 1A L = 2A	0.95	1.05	1.7	V
V _{DSAT(S)}	Sink Saturation Voltage	L = 1A (S) L = 2A (S)	0.85	1.2	1.6	V
V _{DSAT(T)}	Total Drop	L = 1A (S) L = 2A (S)	1.80		3.3	V
V _{DSAT}	Driving Voltage (pins 1, 15)		-1 (L)		2	V

47 3/13

L298

ELECTRICAL CHARACTERISTICS (continued)

Symbol	Parameter	Test Conditions	Min.	Typ.	Max.	Unit
T _{1(V)}	Source Current Turn-Off Delay	0.1V _{CC} to 0.9V _{CC} (2), (4)		1.5		µs
T _{1(V)}	Source Current Fall Time	0.1V _{CC} to 0.1V _{CC} (2), (4)		0.3		µs
T _{2(V)}	Source Current Turn-On Delay	0.9V _{CC} to 0.1V _{CC} (2), (4)		2		µs
T _{2(V)}	Source Current Rise Time	0.1V _{CC} to 0.9V _{CC} (2), (4)		0.7		µs
T _{3(V)}	Sink Current Turn-Off Delay	0.9V _{CC} to 0.1V _{CC} (2), (4)		0.7		µs
T _{3(V)}	Sink Current Fall Time	0.1V _{CC} to 0.1V _{CC} (2), (4)		0.25		µs
T _{4(V)}	Sink Current Turn-On Delay	0.1V _{CC} to 0.9V _{CC} (2), (4)		1.6		µs
T _{4(V)}	Sink Current Rise Time	0.9V _{CC} to 0.9V _{CC} (2), (4)		0.2		µs
f _{SW}	Commutation Frequency	L = 2A		25	40	kHz
T _{1(N_{CC})}	Source Current Turn-Off Delay	0.1V _{CC} to 0.1V _{CC} (2), (4)		1		µs
T _{1(N_{CC})}	Source Current Fall Time	0.1V _{CC} to 0.1V _{CC} (2), (4)		0.3		µs
T _{2(N_{CC})}	Source Current Turn-On Delay	0.9V _{CC} to 0.1V _{CC} (2), (4)		0.4		µs
T _{2(N_{CC})}	Source Current Rise Time	0.1V _{CC} to 0.9V _{CC} (2), (4)		0.25		µs
T _{3(N_{CC})}	Sink Current Turn-Off Delay	0.9V _{CC} to 0.1V _{CC} (2), (4)		2.2		µs
T _{3(N_{CC})}	Sink Current Fall Time	0.1V _{CC} to 0.1V _{CC} (2), (4)		0.38		µs
T _{4(N_{CC})}	Sink Current Turn-On Delay	0.1V _{CC} to 0.9V _{CC} (2), (4)		0.4		µs
T _{4(N_{CC})}	Sink Current Rise Time	0.9V _{CC} to 0.9V _{CC} (2), (4)		0.1		µs

1) Filtering capacitor can be 1 µF for 1.50 A and 0.1 µF for 2.0 A.
2) See Fig 1.
3) See Fig 4.
4) The load must be a pure resistor.

Figure 1: Typical Saturation Voltage vs. Output Current

Figure 2: Switching Times Test Circuits

47 4/13

L298

Figure 3: Source Current Delay Times vs. Input or Enable Switching

Figure 4: Switching Times Test Circuits

Note: 1) For HPLC switching, set SW = H.
2) For DVLB switching, set SW = L.

47 5/13

L298

Figure 5: Sink Current Delay Times vs. Input or Enable Switching

Figure 6: Bidirectional DC Motor Control

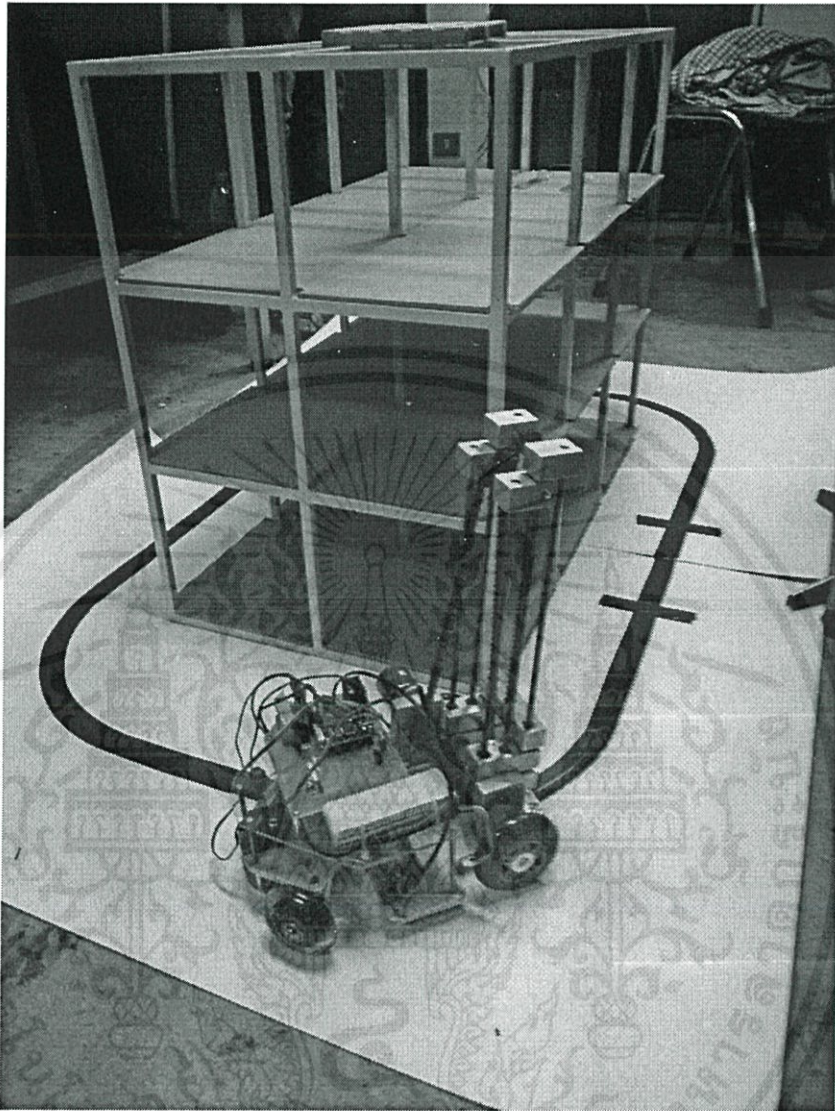
Inputs	Function
V _{CC} = H	C = H, D = L Forward
C = L, D = H	Reverse
C = 0	Free Motor Stop
V _{CC} = L	C = X, D = X Free Running Motor Stop

L = Logic H, H = High, X = Don't care

47 6/13

เอกสารนี้เป็นเอกสารที่สงวนไว้สำหรับการใช้งานเพื่อการศึกษาเท่านั้น ไม่อนุญาตให้นำไปใช้ประโยชน์ด้านการค้า ไม่ว่าจะกรณีใดๆทั้งสิ้น อีกทั้งห้ามมิให้คัดแปลงเนื้อหา และต้องอ้างอิงถึงเจ้าของเอกสารทุกครั้งที่มีการนำไปใช้

ภาคผนวก ค.



รูปสนามและชั้นวางของ

เอกสารนี้เป็นเอกสารที่สงวนไว้สำหรับการใช้งานเพื่อการศึกษาเท่านั้น ไม่อนุญาตให้นำไปใช้ประโยชน์ด้านการค้า
ไม่ว่ากรณีใดๆทั้งสิ้น อีกทั้งห้ามมิให้คัดแปลงเนื้อหา และต้องอ้างอิงถึงเจ้าของเอกสารทุกครั้งที่มีการนำไปใช้

ภาคผนวก ง.

โปรแกรมทดสอบการรับส่งข้อมูลผ่าน Uart

```

#include<avr/io.h>
#include<util/delay.h>
void USART_Init( unsigned int baud )
{
    UBRRH = (unsigned char)(baud>>8);
    UBRRL = (unsigned char)baud;
    UCSRB = (1<<RXEN)|(1<<TXEN)|(1<<RXCIE);
    UCSRC = (1<<URSEL)|(1<<USBS)|(3<<UCSZ0);
}

void USART_Transmit( unsigned char data )
{
    /* Wait for empty transmit buffer */
    while ( !( UCSRA & (1<<UDRE)) );
    /* Put data into buffer, sends the data */
    UDR = data;
}

unsigned char USART_Receive( void )
{
    /* Wait for data to be received */
    while ( !(UCSRA & (1<<RXIF)) );
    /* Get and return received data from buffer */
    return UDR;
}

void main()
{
    DDRD = 0x02;
    USART_Init(0x67);

    unsigned char data;
    while(1)
    {
        data = USART_Receive();
        _delay_ms(1);
        USART_Transmit(data);
    }
}

```

เอกสารนี้เป็นเอกสารที่สงวนไว้สำหรับการใช้งานเพื่อการศึกษาเท่านั้น ไม่อนุญาตให้นำไปใช้ประโยชน์ด้านการค้า
ไม่ว่ากรณีใดๆทั้งสิ้น อีกทั้งห้ามมิให้ดัดแปลงเนื้อหา และต้องอ้างอิงถึงเจ้าของเอกสารทุกครั้งที่มีการนำไปใช้

โปรแกรมบังคับด้วยมือ (Manual control)

```

#include<avr/io.h>
#include<util/delay.h>
#include<compat/deprecated.h>
#include<avr/interrupt.h>

#define TOP 2000
#define ADC_VREF_TYPE 0x60

volatile unsigned int tcnt=0;
volatile unsigned int ocr5=0;
volatile unsigned int ocr6=0;

// Read the 8 most significant bits
// of the AD conversion result
unsigned char read_adc(unsigned char adc_input)
{
  ADMUX=adc_input | (ADC_VREF_TYPE & 0xff);
  // Delay needed for the stabilization of the ADC input voltage
  _delay_us(10);
  // Start the AD conversion
  ADCSRA|=0x40;
  // Wait for the AD conversion to complete
  while ((ADCSRA & 0x10)!=0);
  ADCSRA|=0x10;
  return ADCH;
}

void main()
{
  DDRA = 0b00000000;
  DDRB = 0b00000000;
  DDRC = 0b11111111;
  DDRD = 0b11111100;

  // Timer/Counter 0 initialization
  // Clock source: System Clock
  // Clock value: 2000.000 kHz
  // Mode: Fast PWM top=FFh
  // OCO output: Non-Inverted PWM
  TCCR0=0x6A;
  TCNT0=0x00;
  OCR0=0x00;

```

เอกสารนี้เป็นเอกสารที่สงวนไว้สำหรับการใช้งานเพื่อการศึกษาเท่านั้น ไม่อนุญาตให้นำไปใช้ประโยชน์ด้านการค้า
ไม่ว่ากรณีใดๆทั้งสิ้น อีกทั้งห้ามมิให้ดัดแปลงเนื้อหา และต้องอ้างอิงถึงเจ้าของเอกสารทุกครั้งที่มีการนำไปใช้

```

// Timer/Counter 1 initialization
// Clock source: System Clock
// Clock value: 250.000 kHz
// Mode: Fast PWM top=ICR1
// OC1A output: Non-Inv.
// OC1B output: Non-Inv.
// Noise Canceler: Off
// Input Capture on Falling Edge
// Timer1 Overflow Interrupt: Off
// Input Capture Interrupt: Off
// Compare A Match Interrupt: Off
// Compare B Match Interrupt: Off
TCCR1A=0xA2;
TCCR1B=0x1B;
TCNT1H=0x00;
TCNT1L=0x00;
ICR1H=0x00;
ICR1L=100;
OCR1AH=0x00;
OCR1AL=0x00;
OCR1BH=0x00;
OCR1BL=0x00;

TIMSK=0x01;

sei();

// ADC initialization
// ADC Clock frequency: 1000.000 kHz
// ADC Voltage Reference: AVCC pin
// Only the 8 most significant bits of
// the AD conversion result are used
ADMUX=ADC_VREF_TYPE & 0xff;
ADCSRA=0x84;

while(1)
{
//***** adc---->servo *****
ocr5 = (read_adc(5)>>1)+90;
ocr6 = (read_adc(6)>>1)+90;
_delay_ms(10);

//***** button---->motorA *****

//if button B3 is set motorA go forward
if(bit_is_set(PINB,3) && bit_is_clear(PINB,4))
{
OCR1AL = 100;
sbi(PORTC,0);
cbi(PORTC,1);
}

//if button B4 is set motorA go backward
else if(bit_is_clear(PINB,3) && bit_is_set(PINB,4))
{
OCR1AL = 100;
cbi(PORTC,0);
sbi(PORTC,1);
}
}

```

เอกสารนี้เป็นเอกสารที่สงวนไว้สำหรับการใช้งานเพื่อการศึกษาเท่านั้น ไม่อนุญาตให้นำไปใช้ประโยชน์ด้านการค้า
ไม่ว่ากรณีใดๆทั้งสิ้น อีกทั้งห้ามมิให้คัดแปลงเนื้อหา และต้องอ้างอิงถึงเจ้าของเอกสารทุกครั้งที่มีการนำไปใช้

```

//if button B3&B4 is set motorA break
else if(bit_is_set(PINB,3) && bit_is_set(PINB,4))
{
    OCR1AL = 0;
    sbi(PORTC,0);
    sbi(PORTC,1);
}

else if(bit_is_clear(PINB,3) && bit_is_clear(PINB,4))
{
    OCR1AL = 0;
    cbi(PORTC,0);
    cbi(PORTC,1);
}

//***** button--->motorB *****

//if button B5 is set motorB go forward
if(bit_is_set(PINB,5) && bit_is_clear(PINB,6))
{
    OCR1BL = 100;
    sbi(PORTC,2);
    cbi(PORTC,3);
}

//if button B6 is set motorB go backward
else if(bit_is_clear(PINB,5) && bit_is_set(PINB,6))
{
    OCR1BL = 100;
    cbi(PORTC,2);
    sbi(PORTC,3);
}

//if button B5&B6 is set motorB break
else if(bit_is_set(PINB,5) && bit_is_set(PINB,6))
{
    OCR1BL = 0;
    sbi(PORTC,2);
    sbi(PORTC,3);
}

//settling motorA,B
else if(bit_is_clear(PINB,5) && bit_is_clear(PINB,6))
{
    OCR1BL = 0;
    cbi(PORTC,2);
    cbi(PORTC,3);
}
}

}

//***** interrupt_servo1,2 *****
ISR (TIMER0_OVF_vect)
{
    TCNT0 = 239;
    //if tcnt = TOP ,set C4 and C5 to 1,set tcnt = 0
    if(++tcnt > TOP)
    {
        tcnt = 0;
        sbi(PORTC,4);
        sbi(PORTC,5);
    }
    //if tcnt equal ocr5 clear bit to 0
    if(tcnt >= ocr5)
    {
        cbi(PORTC,5);
    }
    //if tcnt equal ocr6 clear bit to 0
    if(tcnt >= ocr6)
    {
        cbi(PORTC,4);
    }
}
}

```

เอกสารนี้เป็นเอกสารลิขสิทธิ์ของมหาวิทยาลัยเทคโนโลยีพระจอมเกล้าธนบุรี การนำเอกสารนี้ไปใช้โดยไม่ได้รับอนุญาตให้ทำซ้ำหรือดัดแปลงเนื้อหา และต้องอ้างอิงถึงเจ้าของเอกสารทุกครั้งที่มีการนำไปใช้

โปรแกรมเดินตามเส้น (Tracking)

```

#include<avr/io.h>
#include<util/delay.h>
#include<compat/deprecated.h>
#include<avr/interrupt.h>

#define TOP 2000
#define ADC_VREF_TYPE 0x60

volatile unsigned int tcnt=0,x=0,t1=0,t[2],A[2],L,R;
volatile unsigned char a0=0,a1=0,a2=0;
volatile unsigned int ocr5=0,ocr4=0;

// Read the 8 most significant bits
// of the AD conversion result
unsigned char read_adc(unsigned char adc_input)
{
  ADMUX=adc_input | (ADC_VREF_TYPE & 0xff);
  // Delay needed for the stabilization of the ADC input voltage
  _delay_us(10);
  // Start the AD conversion
  ADCSRA|=0x40;
  // Wait for the AD conversion to complete
  while ((ADCSRA & 0x10)!=0);
  ADCSRA|=0x10;
  return ADCH;
}

void Start_A()
{
  OCR1AL=80;
  cbi(PORTC,0);
  sbi(PORTC,1);
}

void Start_B()
{
  OCR1BL=100;
  cbi(PORTC,2);
  sbi(PORTC,3);
}

void Break_A()
{
  OCR1AL=0;
  sbi(PORTC,0);
  sbi(PORTC,1);
}

void read()
{
  a0=(read_adc(0)>>1)+90;
  a1=(read_adc(1)>>1)+90;
  a2=(read_adc(2)>>1)+90;
  if(a0<120)
    A[0]=0;
  else if(a0>=120)
    A[0]=1;
  if(a1<120)
    A[1]=0;
  else if(a1>=120)
    A[1]=1;
  if(a2<120)
    A[2]=0;
  else if(a2>=120)
    A[2]=1;
  _delay_ms(10);
}

```

เอกสารนี้เป็นเอกสารที่สงวนไว้สำหรับการใช้งานเพื่อการศึกษาเท่านั้น ไม่อนุญาตให้นำไปใช้ประโยชน์ด้านการค้า
ไม่ว่ากรณีใดๆทั้งสิ้น อีกทั้งห้ามมิให้คัดแปลงเนื้อหา และต้องอ้างอิงถึงเจ้าของเอกสารทุกครั้งที่มีการนำไปใช้

```

void Show_counting()
{
    if(x==1)          //001
    {
        cbi(PORTD,3);
        cbi(PORTD,6);
        sbi(PORTD,7);
    }
    else if(x==2)    //010
    {
        cbi(PORTD,3);
        sbi(PORTD,6);
        cbi(PORTD,7);
    }
    else if(x==3)    //011
    {
        cbi(PORTD,3);
        sbi(PORTD,6);
        sbi(PORTD,7);
    }
    else if(x==4)    //100
    {
        sbi(PORTD,3);
        cbi(PORTD,6);
        cbi(PORTD,7);
    }

    else if(x==5)    //101
    {
        sbi(PORTD,3);
        cbi(PORTD,6);
        sbi(PORTD,7);
    }
    else if(x==6)    //110
    {
        sbi(PORTD,3);
        sbi(PORTD,6);
        cbi(PORTD,7);
    }
    else              //000
    {
        cbi(PORTD,3);
        cbi(PORTD,6);
        cbi(PORTD,7);
    }
    _delay_ms(10);
}
...
void main()
{
    DDRA = 0b00000000;
    DDRB = 0b00000000;
    DDRC = 0b11111111;
    DDRD = 0b11111100;

    // Timer/Counter 0 initialization
    // Clock source: System Clock
    // Clock value: 2000.000 kHz
    // Mode: Fast PWM top=FFh
    // OCO output: Non-Inverted PWM
    TCCR0=0x6A;
    TCNT0=0x00;
    OCR0=0x00;
}

```

เอกสารนี้เป็นเอกสารที่สงวนไว้สำหรับการใช้งานเพื่อการศึกษาเท่านั้น ไม่อนุญาตให้นำไปใช้ประโยชน์ด้านการค้า
ไม่ว่ากรณีใดๆทั้งสิ้น อีกทั้งห้ามมิให้ดัดแปลงเนื้อหา และต้องอ้างอิงถึงเจ้าของเอกสารทุกครั้งที่มีการนำไปใช้

```

// Timer/Counter 1 initialization
// Clock source: System Clock
// Clock value: 250.000 kHz
// Mode: Fast PWM top=ICR1
// OC1A output: Non-Inv.
// OC1B output: Non-Inv.
// Noise Canceler: Off
// Input Capture on Falling Edge
// Timer1 Overflow Interrupt: Off
// Input Capture Interrupt: Off
// Compare A Match Interrupt: Off
// Compare B Match Interrupt: Off
TCCR1A=0xA2;
TCCR1B=0x1B;
TCNT1H=0x00;
TCNT1L=0x00;
ICR1H=0x00;
ICR1L=100;
OCR1AH=0x00;
OCR1AL=0x00;
OCR1BH=0x00;
OCR1BL=0x00;

TIMSK=0x01;

sei();

// ADC initialization
// ADC Clock frequency: 1000.000 kHz
// ADC Voltage Reference: AVCC pin
// Only the 8 most significant bits of
// the AD conversion result are used
ADMUX=ADC_VREF_TYPE & 0xff;
ADCSRA=0x84;

ocr4=150;
ocr5=150;

read();

while(1)
{
    Start_A();

    //make sure middle_sensor(a1) run on the line
    while(A[1]==1) //detected black line
    {
        R=A[0];
        t[1]=A[1];
        L=A[2];

        read();

        //Check Left_sensor(a2) and Right_sensor(a0) detected white line
        // * |* | *
        if(A[2]==0 && A[0]==0)
        {
            Start_A();
            ocr4=150;
        }
    }
}

```

เอกสารนี้เป็นเอกสารที่สงวนไว้สำหรับการใช้งานเพื่อการศึกษาเท่านั้น ไม่อนุญาตให้นำไปใช้ประโยชน์ด้านการค้า
ไม่ว่ากรณีใดๆทั้งสิ้น อีกทั้งห้ามมิให้คัดแปลงเนื้อหา และต้องอ้างอิงถึงเจ้าของเอกสารทุกครั้งที่มีการนำไปใช้

```

//Check Left_sensor(a2) detected black line
//      |**| *
else if(A[2]==1 && A[0]==0)
{
    Start_A();
    ocr4=110; //TurnRight
}
//Check Right_sensor(a0) detected black line
//      *|**|
else if(A[2]==0 && A[0]==1 )
{
    Start_A();
    ocr4=190; //TurnLeft
}
//      |* * *|
else if(A[2]==1 && A[0]==1) //Counter
{

    if(bit_is_clear(PINA,4)) //Counter Position
    {
        x++;
        if(x>6)
            x=0;
    }

    _delay_ms(50);
    Show_counting();
}
}
}

ISR (TIMER0_OVF_vect)
{
    TCNT0 = 239;
    //if tcnt = TOP ,set C4 and C5 to 1,set tcnt = 0
    if(++tcnt > TOP)
    {
        tcnt = 0;
        sbi(PORTC,4);
        sbi(PORTC,5);
    }
    //if tcnt equal ocr5 clear bit to 0
    if(tcnt >= ocr5)
    {
        cbi(PORTC,5);
    }
    //if tcnt equal ocr4 clear bit to 0
    if(tcnt >= ocr4)
    {
        cbi(PORTC,4);
    }
}
}

```

เอกสารนี้เป็นเอกสารที่สงวนไว้สำหรับการใช้งานเพื่อการศึกษาเท่านั้น ไม่อนุญาตให้นำไปใช้ประโยชน์ด้านการค้า
ไม่ว่ากรณีใดๆทั้งสิ้น อีกทั้งห้ามมิให้ดัดแปลงเนื้อหา และต้องอ้างอิงถึงเจ้าของเอกสารทุกครั้งที่มีการนำไปใช้

โปรแกรมรับข้อมูลผ่าน Uart และการใช้ข้อมูล

```

#include<avr/io.h>
#include<util/delay.h>
#include<compat/deprecated.h>
#include<avr/interrupt.h>

#define TOP 2000
#define ADC_VREF_TYPE 0x60

volatile unsigned int j=0,i,f,h=0,y=0,E=0,E1=0;
volatile unsigned int tcnt=0,ocr4=150,ocr5=0;
volatile unsigned char x,e=0;
volatile char ask[]="Position",go[]="Go",up[]="Up";

// Read the 8 most significant bits
// of the AD conversion result
unsigned char read_adc(unsigned char adc_input)
{
  ADMUX=adc_input | (ADC_VREF_TYPE & 0xff);
  // Delay needed for the stabilization of the ADC input voltage
  _delay_us(10);
  // Start the AD conversion
  ADCSRA|=0x40;
  // Wait for the AD conversion to complete
  while ((ADCSRA & 0x10)!=0);
  ADCSRA|=0x10;
  return ADCH;
}

void USART_Init( unsigned int baud )
{
  UBRRH = (unsigned char)(baud>>8);
  UBRRL = (unsigned char)baud;
  UCSRB = (1<<RXEN)|(1<<TXEN)|(1<<RXCIE);
  UCSRC = (1<<URSEL)|(1<<USBS)|(3<<UCSZ0);
}

void USART_Transmit( unsigned char data )
{
  // Wait for empty transmit buffer
  while ( !( UCSRA & (1<<UDRE)) );
  // Put data into buffer, sends the data
  UDR = data;
}

unsigned char USART_Receive( void )
{
  // Wait for data to be received
  while ( !(UCSRA & (1<<RXC)) );
  // Get and return received data from buffer
  return UDR;
}

```

เอกสารนี้เป็นเอกสารที่สงวนไว้สำหรับการใช้งานเพื่อการศึกษาเท่านั้น ไม่อนุญาตให้นำไปใช้ประโยชน์ด้านการค้า
ไม่ว่ากรณีใดๆทั้งสิ้น อีกทั้งห้ามมิให้ดัดแปลงเนื้อหา และต้องอ้างอิงถึงเจ้าของเอกสารทุกครั้งที่มีการนำไปใช้

```

void Read_Encoder()
{
    e=(read_adc(7)>>1)+90;
    if(e<120)
        E=0;
    else if(e>=120)
        E=1;
}

void Start_A()
{
    OCR1AL=80;
    cbi(PORTC,0);
    sbi(PORTC,1);
}

void Backward_A()
{
    OCR1AL=80;
    sbi(PORTC,0);
    cbi(PORTC,1);
}

void Start_B()
{
    OCR1BL=80;
    cbi(PORTC,2);
    sbi(PORTC,3);
}

void Backward_B()
{
    OCR1BL=80;
    sbi(PORTC,2);
    cbi(PORTC,3);
}

void Break_A()
{
    OCR1AL=0;
    sbi(PORTC,0);
    sbi(PORTC,1);
}

void Break_B()
{
    OCR1BL=0;
    sbi(PORTC,2);
    sbi(PORTC,3);
}

void Limit_sw()
{
    while(bit_is_set(PINA,3))
    {
    }
    y=0;
    Break_B();
}

void main()
{
    unsigned char data[4];

    DDRA = 0b00000000;
    DDRC = 0b11111111;
    DDRD = 0b11111110;
    cbi(DDRB,1);

    USART_Init(0x67);

    // Timer/Counter 0 initialization
    // Clock source: System Clock
    // Clock value: 2000.000 kHz
    // Mode: Fast PWM top=FFh
    // OCO output: Non-Inverted PWM
    TCCR0=0x6A;
    TCNT0=0x00;
    OCR0=0x00;

```

เอกสารนี้เป็นเอกสารลิขสิทธิ์ของมหาวิทยาลัยเทคโนโลยีพระจอมเกล้าเจ้าคุณทหารลาดกระบัง ไม่อนุญาตให้นำไปใช้ประโยชน์ด้านการค้า
ไม่ว่ากรณีใดๆทั้งสิ้น อีกทั้งห้ามมิให้ดัดแปลงเนื้อหา และต้องอ้างอิงถึงเจ้าของเอกสารทุกครั้งที่มีการนำไปใช้

```

// Timer/Counter 1 initialization
// Clock source: System Clock
// Clock value: 250.000 kHz
// Mode: Fast PWM top=ICR1
// OC1A output: Non-Inv.
// OC1B output: Non-Inv.
// Noise Canceler: Off
// Input Capture on Falling Edge
// Timer1 Overflow Interrupt: Off
// Input Capture Interrupt: Off
// Compare A Match Interrupt: Off
// Compare B Match Interrupt: Off
TCCR1A=0xA2;
TCCR1B=0x1B;
TCNT1H=0x00;
TCNT1L=0x00;
ICR1H=0x00;
ICR1L=100;
OCR1AH=0x00;
OCR1AL=0x00;
OCR1BH=0x00;
OCR1BL=0x00;

_delay_ms(20);

TIMSK=0x01;

cli(); // sei();

// ADC initialization
// ADC Clock frequency: 1000.000 kHz
// ADC Voltage Reference: AVCC pin
// Only the 8 most significant bits of
// the AD conversion result are used
ADMUX=ADC_VREF_TYPE & 0xff;
ADCSRA=0x84;

USART_Transmit('P'); //print"Position"
USART_Transmit('o');
USART_Transmit('s');
USART_Transmit('i');
USART_Transmit('t');
USART_Transmit('i');
USART_Transmit('o');
USART_Transmit('n');

data[0] = USART_Receive(); //receive Rack_roll
_delay_ms(1);
data[1] = USART_Receive(); //receive Rack_floor
_delay_ms(1);

USART_Transmit('G'); //print"Go"
USART_Transmit('O');

switch(data[0]) //choose the roll
{
    case 'A' : ocr5=125; //data[2]='1';
              break;
    case 'B' : ocr5=130; //data[2]='2';
              break;
    case 'C' : ocr5=135; //data[2]='3';
              break;
}
USART_Transmit(data[2]);

USART_Transmit('U'); //print"Up"
USART_Transmit('P');

switch(data[1]) //choose the floor
{
    case '1' : h=10; //1st floor
              break;
    case '2' : h=90; //2nd floor
              break;
    case '3' : h=185; //3rd floor
              break;
    default: h=0;
}
USART_Transmit(data[1]);
USART_Transmit('\n');
sei();

```

เอกสารนี้เป็นเอกสารที่สงวนไว้สำหรับการใช้งานเพื่อการศึกษาเท่านั้น ไม่อนุญาตให้นำไปใช้ประโยชน์ด้านการค้า

ไม่ว่ากรณีใดๆทั้งสิ้น อีกทั้งห้ามมิให้คัดแปลงเนื้อหา และต้องอ้างอิงถึงเจ้าของเอกสารทุกครั้งที่มีการนำไปใช้

```

// Timer/Counter 1 initialization
// Clock source: System Clock
// Clock value: 250.000 kHz
// Mode: Fast PWM top=ICR1
// OC1A output: Non-Inv.
// OC1B output: Non-Inv.
// Noise Canceler: Off
// Input Capture on Falling Edge
// Timer1 Overflow Interrupt: Off
// Input Capture Interrupt: Off
// Compare A Match Interrupt: Off
// Compare B Match Interrupt: Off
TCCR1A=0xA2;
TCCR1B=0x1B;
TCNT1H=0x00;
TCNT1L=0x00;
ICR1H=0x00;
ICR1L=100;
OCR1AH=0x00;
OCR1AL=0x00;
OCR1BH=0x00;
OCR1BL=0x00;

_delay_ms(20);

TIMSK=0x01;

cli(); // sei();

// ADC initialization
// ADC Clock frequency: 1000.000 kHz
// ADC Voltage Reference: AVCC pin
// Only the 8 most significant bits of
// the AD conversion result are used
ADMUX=ADC_VREF_TYPE & 0xff;
ADCSRA=0x84;

USART_Transmit('P'); //print "Position"
USART_Transmit('o');
USART_Transmit('s');
USART_Transmit('i');
USART_Transmit('t');
USART_Transmit('i');
USART_Transmit('o');
USART_Transmit('n');

data[0] = USART_Receive(); //receive Rack_roll
_delay_ms(1);
data[1] = USART_Receive(); //receive Rack_floor
_delay_ms(1);

USART_Transmit('G'); //print "Go"
USART_Transmit('O');

switch(data[0]) //choose the roll
{
    case 'A' : ocr5=125; //data[2]='1';
              break;
    case 'B' : ocr5=130; //data[2]='2';
              break;
    case 'C' : ocr5=135; //data[2]='3';
              break;
}
USART_Transmit(data[2]);

USART_Transmit('U'); //print "Up"
USART_Transmit('P');

switch(data[1]) //choose the floor
{
    case '1' : h=10; //1st floor
              break;
    case '2' : h=90; //2nd floor
              break;
    case '3' : h=185; //3rd floor
              break;
    default: h=0;
}
USART_Transmit(data[1]);
USART_Transmit('\n');
sei();

```

เอกสารนี้เป็นเอกสารที่สงวนลิขสิทธิ์ของบริษัทฯ ใช้งานเพื่อการศึกษาเท่านั้น ไม่อนุญาตให้นำไปใช้ประโยชน์ด้านการค้า

ไม่ว่ากรณีใดๆทั้งสิ้น อีกทั้งห้ามมิให้คัดแปลงเนื้อหา และต้องอ้างอิงถึงเจ้าของเอกสารทุกครั้งที่มีการนำไปใช้

```

Read_Encoder();
Start_B();
sbi(PORTD,3);
for(y=0;y<h;y++)                                //Loop count Encoder
{
    do
    {
        E1=E;
        Read_Encoder();
    }
    while(E1==E);
}
Break_B();
cbi(PORTD,3);
sbi(PORTD,6);
do
{
    Start_A();
    j++;
}while(bit_is_set(PINA,4));
cbi(PORTD,6);

    Break_A();
    _delay_ms(2000*8*2);

sbi(PORTD,6);

    Backward_A();
    _delay_ms(40000);

cbi(PORTD,6);

    Break_A();

sbi(PORTD,7);
Read_Encoder();
Backward_B();

Limit_sw();                                //check when lifting lowest
cbi(PORTD,7);
}
ISR (TIMER0_OVF_vect)
{
    TCNT0 = 239;
    //if tcnt = TOP ,set C4 and C5 to 1,set tcnt = 0
    if(++tcnt > TOP)
    {
        tcnt = 0;
        sbi(PORTC,4);
        sbi(PORTC,5);
    }
    //if tcnt eqal ocr5 clear bit to 0
    if(tcnt >= ocr5)
    {
        cbi(PORTC,5);
    }
    //if tcnt eqal ocr4 clear bit to 0
    if(tcnt >= ocr4)
    {
        cbi(PORTC,4);
    }
}
}

```

เอกสารนี้เป็นเอกสารที่สงวนไว้สำหรับการใช้งานเพื่อการศึกษาเท่านั้น ไม่อนุญาตให้นำไปใช้ประโยชน์ด้านการค้า
ไม่ว่ากรณีใดๆทั้งสิ้น อีกทั้งห้ามมิให้คัดแปลงเนื้อหา และต้องอ้างอิงถึงเจ้าของเอกสารทุกครั้งที่มีการนำไปใช้

โปรแกรมเมื่อรถเลี้ยวเข้ามาเก็บของ

```

#include<avr/io.h>
#include<util/delay.h>
#include<compat/deprecated.h>
#include<avr/interrupt.h>

#define TOP 2000
#define ADC_VREF_TYPE 0x60

volatile unsigned int tcnt=0,x=0,t1=0,t[2],A[2];
volatile unsigned char a0=0,a1=0,a2=0;
volatile unsigned int ocr5=0,ocr4=0;

// Read the 8 most significant bits
// of the AD conversion result
unsigned char read_adc(unsigned char adc_input)
{
  ADMUX=adc_input | (ADC_VREF_TYPE & 0xff);
  // Delay needed for the stabilization of the ADC input voltage
  _delay_us(10);
  // Start the AD conversion
  ADCSRA|=0x40;
  // Wait for the AD conversion to complete
  while ((ADCSRA & 0x10)==0);
  ADCSRA|=0x10;
  return ADCH;
}

void Start_A()
{
  OCR1AL=80;
  cbi(PORTC,0);
  sbi(PORTC,1);
}

void Start_B()
{
  OCR1BL=100;
  cbi(PORTC,3);
  sbi(PORTC,4);
}

void Break_A()
{
  OCR1AL=0;
  sbi(PORTC,0);
  sbi(PORTC,1);
}

void read()
{
  a0=(read_adc(0)>>1)+90;
  a1=(read_adc(1)>>1)+90;
  a2=(read_adc(2)>>1)+90;
  if(a0<120)
    A[0]=0;
  else if(a0>=120)
    A[0]=1;
  if(a1<120)
    A[1]=0;
  else if(a1>=120)
    A[1]=1;
  if(a2<120)
    A[2]=0;
  else if(a2>=120)
    A[2]=1;
  // _delay_ms(10);
}

```

เอกสารนี้เป็นเอกสารที่สงวนไว้สำหรับการใช้งานเพื่อการศึกษาเท่านั้น ไม่อนุญาตให้นำไปใช้ประโยชน์ด้านการค้า
ไม่ว่ากรณีใดๆทั้งสิ้น อีกทั้งห้ามมิให้คัดแปลงเนื้อหา และต้องอ้างอิงถึงเจ้าของเอกสารทุกครั้งที่มีการนำไปใช้

```

void main()
{
    DDRA = 0b00000000;
    DDRB = 0b00000000;
    DDRC = 0b11111111;
    DDRD = 0b11111100;

    // Timer/Counter 0 initialization
    // Clock source: System Clock
    // Clock value: 2000.000 kHz
    // Mode: Fast PWM top=FFh
    // OCO output: Non-Inverted PWM
    TCCR0=0x6A;
    TCNT0=0x00;
    OCR0=0x00;

    // Timer/Counter 1 initialization
    // Clock source: System Clock
    // Clock value: 250.000 kHz
    // Mode: Fast PWM top=ICR1
    // OC1A output: Non-Inv.
    // OC1B output: Non-Inv.
    // Noise Canceler: Off
    // Input Capture on Falling Edge
    // Timer1 Overflow Interrupt: Off
    // Input Capture Interrupt: Off
    // Compare A Match Interrupt: Off
    // Compare B Match Interrupt: Off
    TCCR1A=0xA2;
    TCCR1B=0x1B;
    TCNT1H=0x00;
    TCNT1L=0x00;
    ICR1H=0x00;
    ICR1L=100;
    OCR1AH=0x00;
    OCR1AL=0x00;
    OCR1BH=0x00;
    OCR1BL=0x00;

    TIMSK=0x01;

    sei();

    // ADC initialization
    // ADC Clock frequency: 1000.000 kHz
    // ADC Voltage Reference: AVCC pin
    // Only the 8 most significant bits of
    // the AD conversion result are used
    ADMUX=ADC_VREF_TYPE & 0xff;
    ADCSRA=0x84;

    ocr4=150;
    ocr5=150;

    read();

    while(1)
    {
        Start_A();
    }
}

```

เอกสารนี้เป็นเอกสารที่สงวนไว้สำหรับการใช้งานเพื่อการศึกษาเท่านั้น ไม่อนุญาตให้นำไปใช้ประโยชน์ด้านการค้า
ไม่ว่ากรณีใดๆทั้งสิ้น อีกทั้งห้ามมิให้ดัดแปลงเนื้อหา และต้องอ้างอิงถึงเจ้าของเอกสารทุกครั้งที่มีการนำไปใช้

```

//make sure middle_sensor(a1) run on the line
while(A[1]==1) //detected black line
{
  R=A[0];
  t[1]=A[1];
  L=A[2];

  read();

  //Check Left_sensor(a2) and Right_sensor(a0) detected white line
  // *|*|*
  if(A[2]==0 && A[0]==0)
  {
    Start_A();
    ocr4=150;
  }

  //Check Left_sensor(a2) detected black line
  // |**|*
  else if(A[2]==1 && A[0]==0)
  {
    Start_A();
    ocr4=110; //TurnRight
  }
  //Check Right_sensor(a0) detected black line
  // *|**|
  else if(A[2]==0 && A[0]==1 )
  {
    Start_A();
    ocr4=190; //TurnLeft
  }
  // |* * *|
  else if(A[2]==1 && A[0]==1) //Counter
  {
    // detected magnetic sensor
    if(bit_is_clear(PINA,4))
    {
      while(x<=147) //turn Right to the rack in x time
      {
        Start_A(); //we can adjust angle in x value
        ocr4=195;
        _delay_ms(x++);
      }
      x=0;
      do
      {
        read();
        ocr4=150;
      }while(!(A[2]==1 && A[1]==1 && A[0]==1));

      while(1)
      {
        Break_A();
      }
    }
    _delay_ms(50);
  }
}
}
}

```

เอกสารนี้เป็นเอกสารที่สงวนไว้สำหรับการใช้งานเพื่อการศึกษาเท่านั้น ไม่อนุญาตให้นำไปใช้ประโยชน์ด้านการค้า
ไม่ว่ากรณีใดๆทั้งสิ้น อีกทั้งห้ามมิให้คัดแปลงเนื้อหา และต้องอ้างอิงถึงเจ้าของเอกสารทุกครั้งที่มีการนำไปใช้

```

ISR (TIMER0_OVF_vect)
{
    TCNT0 = 239;
    //if tcnt = TOP ,set C4 and C5 to 1,set tcnt = 0
    if(++tcnt > TOP)
    {
        tcnt = 0;
        sbi(PORTC,4);
        sbi(PORTC,5);
    }
    //if tcnt equal ocr5 clear bit to 0
    if(tcnt >= ocr5)
    {
        cbi(PORTC,5);
    }
    //if tcnt equal ocr4 clear bit to 0
    if(tcnt >= ocr4)
    {
        cbi(PORTC,4);
    }
}

```



เอกสารนี้เป็นเอกสารที่สงวนไว้สำหรับการใช้งานเพื่อการศึกษาเท่านั้น ไม่อนุญาตให้นำไปใช้ประโยชน์ด้านการค้า
ไม่ว่ากรณีใดๆทั้งสิ้น อีกทั้งห้ามมิให้ดัดแปลงเนื้อหา และต้องอ้างอิงถึงเจ้าของเอกสารทุกครั้งที่มีการนำไปใช้

การทำงานโดยรวม

```

//*****< Heading >*****
#include<avr/io.h>
#include<util/delay.h>
#include<compat/deprecated.h>
#include<avr/interrupt.h>

//*****< Define variable >*****

#define TOP 2000
#define ADC_VREF_TYPE 0x60

volatile unsigned int ocr5,ocr4,tcnt=0,x=0,A[2],z,h,e,E,E1,Point,Station,Count=0,T;
volatile unsigned char a0,a1,a2,X,Y,Z;

//*****< Functions and Sub Programs >*****

// *****[ADC]*****
// Read the 8 most significant bits
// of the AD conversion result
unsigned char read_adc(unsigned char adc_input)
{
  ADMUX=adc_input | (ADC_VREF_TYPE & 0xff);
  // Delay needed for the stabilization of the ADC input voltage
  _delay_us(10);
  // Start the AD conversion
  ADCSRA|=0x40;
  // Wait for the AD conversion to complete
  while ((ADCSRA & 0x10)!=0);
  ADCSRA|=0x10;
  return ADCH;
}

// *****[Reading sensor]*****
void read()
{
  a0=(read_adc(0)>>1)+90;
  a1=(read_adc(1)>>1)+90;
  a2=(read_adc(2)>>1)+90;
  if(a0<120)
    A[0]=0;
  else if(a0>=120)
    A[0]=1;
  if(a1<120)
    A[1]=0;
  else if(a1>=120)
    A[1]=1;
  if(a2<120)
    A[2]=0;
  else if(a2>=120)
    A[2]=1;
  _delay_ms(10);
}

void Read_Encoder()
{
  e=(read_adc(7)>>1)+90;
  if(e<120)
    E=0;
  else if(e>=120)
    E=1;
}

// *****[Functions Uart]*****
void USART_Init( unsigned int baud )
{
  UBRRH = (unsigned char)(baud>>8);
  UBRL = (unsigned char)baud;
  UCSRB = (1<<RXEN)|(1<<TXEN)|(1<<RXCIE);
  UCSRC = (1<<URSEL)|(1<<USBS)|(3<<UCSZ0);
}

void USART_Transmit( unsigned char data )
{
  // Wait for empty transmit buffer
  while ( !( UCSRA & (1<<UDRE) ) );
  // Put data into buffer, sends the data
  UDR = data;
}

unsigned char USART_Receive( void )
{
  // Wait for data to be received
  while ( !(UCSRA & (1<<RXC)) );
  // Get and return received data from buffer
  return UDR;
}

```

เอกสารนี้เป็นเอกสารสงวนลิขสิทธิ์ไว้สำหรับการใช้งานเพื่อการศึกษาเท่านั้น ไม่อนุญาตให้นำไปใช้ประโยชน์ด้านการค้า

ไม่ว่ากรณีใดๆทั้งสิ้น อีกทั้งห้ามมิให้คัดแปลงเนื้อหา และต้องอ้างอิงถึงเจ้าของเอกสารทุกครั้งที่มีการนำไปใช้

```

// void Print(unsigned int T) *****[Print "Position"]*****
{
    if(T==0)
    {
        USART_Transmit('P'); //print "Position"
        USART_Transmit('o');
        USART_Transmit('s');
        USART_Transmit('i');
        USART_Transmit('t');
        USART_Transmit('i');
        USART_Transmit('o');
        USART_Transmit('n');
    }

    if(T==1)
    { USART_Transmit('\t'); //print "Wrong Press again"
      USART_Transmit('W');
      USART_Transmit('r');
      USART_Transmit('o');
      USART_Transmit('n');
      USART_Transmit('g');
      USART_Transmit(' ');
      USART_Transmit('P');
      USART_Transmit('r');
      USART_Transmit('e');
      USART_Transmit('s');
      USART_Transmit('s');
      USART_Transmit(' ');
      USART_Transmit('a');
      USART_Transmit('g');
      USART_Transmit('a');
      USART_Transmit('i');
      USART_Transmit('n');
      USART_Transmit('\n');
    }
}

// *****[Receive Uart]*****
void Receive_XYZ()
{
    X = USART_Receive(); //receive X (1,2,3)
    delay_ms(1);
    Y = USART_Receive(); //receive Y (1,2)
    delay_ms(1);
    Z = USART_Receive(); //receive Z (1,2,3)
    delay_ms(1);
    USART_Transmit('G');
    USART_Transmit('o');
}

// *****[Control DC motor]*****
void Start_A()
{
    OCR1AL=70;
    cbi(PORTC,0);
    sbi(PORTC,1);
}

void Backward_A()
{
    OCR1AL=70;
    sbi(PORTC,0);
    cbi(PORTC,1);
}

void Break_A()
{
    OCR1AL=0;
    sbi(PORTC,0);
    sbi(PORTC,1);
}

void Start_B()
{
    OCR1BL=100;
    cbi(PORTC,2);
    sbi(PORTC,3);
}

void Backward_B()
{
    OCR1BL=100;
    sbi(PORTC,2);
    cbi(PORTC,3);
}

void Break_B()
{
    OCR1BL=0;
    sbi(PORTC,2);
    sbi(PORTC,3);
}

```

เอกสารนี้เป็นเอกสารลิขสิทธิ์สงวนไว้สำหรับการใช้งานเพื่อการศึกษาเท่านั้น ไม่อนุญาตให้นำไปใช้ประโยชน์ด้านการค้า
ไม่ว่ากรณีใดๆทั้งสิ้น อีกทั้งห้ามมิให้คัดแปลงเนื้อหา และต้องอ้างอิงถึงเจ้าของเอกสารทุกครั้งที่มีการนำไปใช้

```

// *****[Choose Point]*****
void Select_P()
{
  T=0;
  if(X=='1' && Y=='2' && Z=='1')
  {
    Point=1;
    h=0;
  }
  else if(X=='2' && Y=='2' && Z=='1')
  {
    Point=2;
    h=0;
  }
  else if(X=='3' && Y=='2' && Z=='1')
  {
    Point=3;
    h=0;
  }
  else if(X=='3' && Y=='1' && Z=='1')
  {
    Point=4;
    h=0;
  }
  else if(X=='2' && Y=='1' && Z=='1')
  {
    Point=5;
    h=0;
  }
  else if(X=='1' && Y=='1' && Z=='1')
  {
    Point=6;
    h=0;
  }

  else if(X=='1' && Y=='2' && Z=='2')
  {
    Point=1;
    h=92;
  }
  else if(X=='2' && Y=='2' && Z=='2')
  {
    Point=2;
    h=92;
  }
  else if(X=='3' && Y=='2' && Z=='2')
  {
    Point=3;
    h=92;
  }
  else if(X=='3' && Y=='1' && Z=='2')
  {
    Point=4;
    h=92;
  }
  else if(X=='2' && Y=='1' && Z=='2')
  {
    Point=5;
    h=92;
  }
  else if(X=='1' && Y=='1' && Z=='2')
  {
    Point=6;
    h=92;
  }

  else if(X=='1' && Y=='2' && Z=='3')
  {
    Point=1;
    h=185;
  }
  else if(X=='2' && Y=='2' && Z=='3')
  {
    Point=2;
    h=185;
  }
  else if(X=='3' && Y=='2' && Z=='3')
  {
    Point=3;
    h=185;
  }
  else if(X=='3' && Y=='1' && Z=='3')
  {
    Point=4;
    h=185;
  }
  else if(X=='2' && Y=='1' && Z=='3')
  {
    Point=5;
    h=185;
  }
  else if(X=='1' && Y=='1' && Z=='3')
  {
    Point=6;
    h=185;
  }

  else
  {
    T=1;
    Print(1);
  }
  Station=7;
  Station=Station<<1;
  Point=Point<<1;
  Point++;
}

void Turn(unsigned char D)
{
  if(D=='L')
  ocr4=105; //turn Left to pallet in x time
  else if(D=='R')
  ocr4=195; //turn Right to pallet in x time
  while(x<=147)
  {
    Start_A();
    _delay_ms(x++);
  }
  x=0;
}

```

	Y	
//	6	1
//	5	2
//	4	3
//	X	

Z=1 , h=10 times (Encoder)

	Y	
//	6	1
//	5	2
//	4	3
//	X	

Z=2 , h=90 times (Encoder)

	Y	
//	6	1
//	5	2
//	4	3
//	X	

Z=3 , h=185 times (Encoder)

เอกสารนี้เป็นเอกสารที่สงวนไว้สำหรับการใช้งานเพื่อการศึกษาเท่านั้น ไม่อนุญาตให้นำไปใช้ประโยชน์ด้านการค้า
ไม่ว่ากรณีใดๆทั้งสิ้น อีกทั้งห้ามมิให้คัดแปลงเนื้อหา และต้องอ้างอิงถึงเจ้าของเอกสารทุกครั้งที่มีการนำไปใช้

```

void Raise_up(unsigned int H)
{
  Read_Encoder();
  Start_B();
  for(z=0;z<H;z++)          //Loop count Encoder
  {
    do
    {
      E1=E;
      Read_Encoder();
    }
    while(E1==E);
  }
  Break_B();
}

void Raise_down(unsigned int H)
{
  Read_Encoder();
  Backward_B();
  for(z=0;z<H;z++)          //Loop count Encoder
  {
    do
    {
      E1=E;
      Read_Encoder();
    }
    while(E1==E);
  }
  Break_B();
}

// void Limit_sw()          *****[Limit Switch]*****
{
  while(bit_is_set(PINA.3))
  {
  }
  z=0;
  Break_B();
}

// void Manual_Control()   *****[Remote Control]*****
{
  while(1)
  {
    //***** adc---->servo *****
    ocr5 = (read_adc(5)>>1)+90;
    ocr4 = (read_adc(6)>>1)+90;
    _delay_ms(10);

    //***** button---->motorA *****

    //if button B3 is set motorA go forward
    if(bit_is_set(PINB.3) && bit_is_clear(PINB.4))
    {
      OCR1AL = 100;
      sbi(PORTC.0);
      cbi(PORTC.1);
    }

    //if button B4 is set motorA go backward
    else if(bit_is_clear(PINB.3) && bit_is_set(PINB.4))
    {
      OCR1AL = 100;
      cbi(PORTC.0);
      sbi(PORTC.1);
    }

    //if button B3&B4 is set motorA break
    else if(bit_is_set(PINB.3) && bit_is_set(PINB.4))
    {
      OCR1AL = 0;
      sbi(PORTC.0);
      sbi(PORTC.1);
    }

    else if(bit_is_clear(PINB.3) && bit_is_clear(PINB.4))
    {
      OCR1AL = 0;
      cbi(PORTC.0);
      cbi(PORTC.1);
    }

    //***** button---->motorB *****

    //if button B5 is set motorB go forward
    if(bit_is_set(PINB.5) && bit_is_clear(PINB.6))
    {
      OCR1BL = 100;
      sbi(PORTC.2);
      cbi(PORTC.3);
    }

    //if button B6 is set motorB go backward
    else if(bit_is_clear(PINB.5) && bit_is_set(PINB.6))
    {
      OCR1BL = 100;
      cbi(PORTC.2);
      sbi(PORTC.3);
    }
  }
}

```

เอกสารนี้เป็นเอกสารที่สงวนลิขสิทธิ์การใช้งานเพื่อการศึกษาเท่านั้น ไม่อนุญาตให้นำไปใช้ประโยชน์ด้านการค้า
ไม่ว่ากรณีใดๆทั้งสิ้น อีกทั้งห้ามมิให้ดัดแปลงเนื้อหา และต้องอ้างอิงถึงเจ้าของเอกสารทุกครั้งที่มีการนำไปใช้


```

while(1)
{
//          *****[Hold a pallet]*****
do
{
    read();
}while(bit_is_set(PINA,4));
// Raise_down(7);
ocr4=150;
ocr5=140;
do
{
    read();
    ocr4=150;
}while(!(A[2]==1 && A[1]==1 && A[0]==1)); //out loop if |***|

Break_A();

ocr5=145;
Raise_up(12);
//-----Go to pallet
Backward_A();
ocr4=150; //hold a pallet
while(bit_is_set(PINA,4))
{
}
ocr5=140;

//          *****[Go to the line]*****

//make sure middle_sensor(a1) run on the line
while(1) //detected black line
{
    read();

    //Check Left_sensor(a2) and Right_sensor(a0) detected white line
    // * |*| *
    if(A[2]==0 && A[0]==0)
    {
        Start_A();
        ocr4=150;
    }

    //Check Left_sensor(a2) detected black line
    // |**| *
    else if(A[2]==1 && A[0]==0)
    {
        Start_A();
        ocr4=105; //TurnRight
    }

    //Check Right_sensor(a0) detected black line
    // * |**|
    else if(A[2]==0 && A[0]==1)
    {
        Start_A();
        ocr4=195; //TurnLeft
    }

    //
    if(bit_is_clear(PINA,4)) //Counter Position
    {
        USART_Transmit('d');
        while(!bit_is_set(PINA,4))
        {
            ocr4=150;
        }
        Count++;
    }
    if(Count==Point)
    {
        Turn('R');
        ocr5=135;
        do
        {
            read();
            ocr4=150;
        }while(!(A[2]==1 && A[1]==1 && A[0]==1)); //out loop if |***|
        Break_A();

        //-----Raise a pallet
        ocr5=140;

        Raise_up(h);
    }
}
}

```

เอกสารนี้เป็นเอกสารที่สงวนไว้สำหรับการใช้งานเพื่อการศึกษาเท่านั้น ไม่อนุญาตให้นำไปใช้ประโยชน์ด้านการค้า
ไม่ว่ากรณีใดๆทั้งสิ้น อีกทั้งห้ามมิให้คัดแปลงเนื้อหา และต้องอ้างอิงถึงเจ้าของเอกสารทุกครั้งที่มีการนำไปใช้

```

Start_A();
OCR1AL=55;
read();
do
{
  //      |***|
  if(A[2]==1 && A[1]==1 && A[0]==1)
    ocr4=150;

  //      |**| *
  else if(A[2]==1 && A[0]==0)
    ocr4=120; //TurnRight

  //      * |**|
  else if(A[2]==0 && A[0]==1 )
    ocr4=180; //TurnLeft
  read();
}
while(!(A[2]==0 && A[1]==0 && A[0]==0)); //out loop if | |
//_delay_ms(48000);

Break_A();
//-----Put a pallet
ocr5=145;
Raise_down(10);
ocr5=155;
_delay_ms(5000);
_delay_ms(5000);
//-----
Backward_A();
OCR1AL=65;
ocr4=150;
do
{
  read();
  USART_Transmit('k');
}while(!(A[2]==1 && A[1]==1 && A[0]==1));
_delay_ms(4000);
_delay_ms(4000);
Break_A();

Backward_B();
Limit_sw();
//-----Go Back
Backward_A();
ocr4=150;

while(x<=160) //Go back in x time
{
  Backward_A(); //we can adjust angle in x value
  ocr4=195;
  _delay_ms(x++);
}
x=0;
Break_A();
}
if(Count==Station)
{
  Break_A();
  while(1);
}
}
_delay_ms(50);
} Break_A();
}
}

/*****< Function interrupt servo with PWM *****/
ISR (TIMER0_OVF_vect)
{
  TCNT0 = 239;
  //if tcnt = TOP ,set C4 and C5 to 1,set tcnt = 0
  if(++tcnt > TOP)
  {
    tcnt = 0;
    sbi(PORTC,4);
    sbi(PORTC,5);
  }
  //if tcnt equal ocr5 clear bit to 0
  if(tcnt >= ocr5)
  {
    cbi(PORTC,5);
  }
  //if tcnt equal ocr4 clear bit to 0
  if(tcnt >= ocr4)
  {
    cbi(PORTC,4);
  }
}
}

```

เอกสารนี้เป็นเอกสารที่สงวนไว้สำหรับการใช้งานเพื่อการศึกษาเท่านั้น ไม่อนุญาตให้นำไปใช้ประโยชน์ด้านการค้า
ไม่ว่ากรณีใดๆทั้งสิ้น อีกทั้งห้ามมิให้คัดแปลงเนื้อหา และต้องอ้างอิงถึงเจ้าของเอกสารทุกครั้งที่มีการนำไปใช้